

Сборник научных статей  
по итогам работы  
Международного научного форума

# НАУЧНЫЙ ДИАЛОГ: ТЕОРИЯ И ПРАКТИКА

Москва 2025





Коллектив авторов

*Сборник научных статей  
по итогам работы  
Международного научного форума  
**НАУЧНЫЙ ДИАЛОГ:  
ТЕОРИЯ И ПРАКТИКА***

Том 2

Москва, 2025

УДК 330

ББК 65

С56

A standard barcode is positioned vertically. Below the barcode, the number '9 785905' is printed on the left, and '695780 >' is printed on the right, separated by a short vertical line.

Сборник научных статей по итогам работы Международного научного форума НАУЧНЫЙ ДИАЛОГ: ТЕОРИЯ И ПРАКТИКА (г. Москва, 6 ноября 2025 г.). Том 2 / Отв. ред. Д.Р. Хисматуллин. – Москва: Издательство Инфинити, 2025. – 136 с.

У67

DOI 10.34660/conf.2025.12.26.022

Сборник материалов включает в себя доклады российских и зарубежных участников, предметом обсуждения которых стали научные тенденции развития, новые научные и прикладные решения в различных областях науки.

Предназначено для научных работников, преподавателей, студентов и аспирантов вузов, государственных и муниципальных служащих.

DOI 10.34660/conf.2025.12.26.022

УДК 330

ББК 65

© Издательство Инфинити, 2025  
© Коллектив авторов, 2025

## Содержание

### МЕДИЦИНСКИЕ НАУКИ

Патоморфология щитовидной железы при остром экспериментальном эндо-токсикозе	
Печникова Татьяна Аркадьевна, Кирьянов Николай Александрович, Иванова Галина Семеновна.....	7
Перспективы клинического применения цифровой модели пациента в кардиологии	
Шамилов Марк Дамирович, Вишнева Ксения Алексеевна, Айрапетов Максим Дмитриевич, Хабибулина Марина Михайловна .....	11
Эпидемиологическая характеристика инфекций, связанных с оказанием медицинской помощи (ИСМП)	
Миронова Мария Сергеевна, Файзуллина Диана Рафаэлевна, Юскаева Гульсем Исакандяровна .....	16
Комплексный анализ этиологии и смертности при сахарном диабете 1-го типа Пензенской области	
Пронина Екатерина Александровна, Юнякина Нина Сергеевна, Балаева Светлана Сергеевна, Захматова Дарья Алексеевна, Юскаева Гульсем Исакандяровна .....	25
Вирус папилломы человека у подростков	
Иванчикова Ольга Сергеевна, Тимошина Наталья Сергеевна, Корсакова Мария Александровна, Чернышкова Дарья Романовна, Юскаева Гульсем Исакандяровна .....	30
Impaired dental health in children exposed to passive smoking and the role of this condition in the development of non-communicable diseases that adversely affect metabolic processes in the child's body	
Babayev Parviz Nizami, Mamedov Fuad Fakhraddin, Mirgadi Samira Faik, Gabibova Kamala Gumbat .....	38

## **ТЕХНИЧЕСКИЕ НАУКИ**

Обзор инструментов и платформ для внедрения ИИ в систему кибербезопасности

*Камара Амаду Сара*.....49

Метаразум: архитектура, реализация и экспериментальное исследование системы создания нового разума с помощью искусственного разума

*Хорунжий Михаил Дмитриевич*.....56

Нейросетевой метаагент, адаптирующий агентов управления на основе визуальных признаков и обучаемый эволюционной стратегией

*Хорунжий Михаил Дмитриевич*.....78

Интеграция машинного обучения, нейронных сетей, интернета вещей и блокчейна в университетское образование

*Мельник Анастасия Александровна, Рыбак Виктор Александрович*.....92

Особенности разработки систем отопления для высотных жилых комплексов

*Кирпичева Екатерина Михайловна, Каратаяев Оскар Робиндарович,*

*Медведева Галина Александровна*.....95

Технические инновационные решения в повышении эффективности систем отопления

*Кирпичева Екатерина Михайловна, Каратаяев Оскар Робиндарович,*

*Медведева Галина Александровна*.....103

## **НАУКИ О ЗЕМЛЕ**

Обоснование требований к поглощающим скважинам и условиям безопасного захоронения жидкостей и газов в пластах

*Аксенова Наталья Александровна, Корабельников Михаил Иванович*.....109

Variation of slope stability in Ha Tinh Province (Vietnam) under dry and saturated conditions: a comparative GeoStudio analysis

*Cam Vu Thi Hong, Giang Nguyen Khac Hoang*.....113

## **СЕЛЬСКОХОЗЯЙСТВЕННЫЕ НАУКИ**

Оценка баранов создаваемого внутрипородного типа «Шахринау – Регарский» по качеству потомство

*Джусураева Улугой Шаймардановна, Шошина Юлия Васильевна* .....121

## **ФАРМАЦЕВТИЧЕСКИЕ НАУКИ**

Современные стратегии преодоления антибиотикорезистентности: комплексный подход

*Черняховский Олег Борисович, Черняховский Никита Олегович*.....127

## **ПАТОМОРФОЛОГИЯ ЩИТОВИДНОЙ ЖЕЛЕЗЫ ПРИ ОСТРОМ ЭКСПЕРИМЕНТАЛЬНОМ ЭНДОТОКСИКОЗЕ**

**Печникова Татьяна Аркадьевна**

*ассистент*

*Ижевская государственная медицинская академия МЗ РФ*

**Кирьянов Николай Александрович**

*доктор медицинских наук, профессор, заведующий кафедрой*

*Ижевская государственная медицинская академия МЗ РФ*

**Иванова Галина Семеновна**

*кандидат медицинских наук, доцент*

*Ижевская государственная медицинская академия МЗ РФ*

**Аннотация.** Эндотоксикоз остается серьезной проблемой медицины. Патогенез и морфогенез этого патологического процесса изучен недостаточно. В работе поставлена цель изучить причины поражения щитовидной железы при экспериментальном перитоните. Показано, что уже с первых часов перитонита в железе развиваются выраженные сосудистые расстройства и процессы повреждение в виде дистрофии тиреоцитов вплоть до некроза. Развитие альтерации тиреоцитов связано с сосудистыми расстройствами и прямым действием токсических продуктов.

**Ключевые слова:** эндотоксикоз, перитонит, щитовидная железа.

**Актуальность.** Эндотоксикоз является серьёзной проблемой медицины и дальнейшее изучение этой патологии представляется весьма актуальным. [1-4]. В пато- и морфогенезе ЭТ важно выделить два взаимосвязанных между собой звена: собственно токсическое воздействие на эндотелий сосудов, клетки паренхиматозных органов и внеклеточный матрикс, где доминирует эндотоксиновая агрессия как результат увеличения количества токсических продуктов и процессы, направленные на восстановление повреждённых тканей [1,6]. Большое значение при этом придается эндокринной дисрегуляции в виде гормонального дисбаланса. Особое место в эндокринной системе при эндотоксикозе отводится дисфункции щитовидной железы, сопровождае-

мой снижением выработки Т3 и Т4. Однако патогенез и морфогенез этого явления изучен недостаточно. Поэтому дальнейшее изучение патологии щитовидной железы при эндотоксикозе является актуальным [6,7].

**Цель работы.** Изучить морфологию, морфогенетические механизмы поражение щитовидной железы при экспериментальном эндотоксикозе в ранние сроки его развития.

**Материал и методы.** Экспериментальный эндотоксикоз воспроизводили на 30 беспородных белых крысах путем введения 3% каловой взвеси в брюшную полость в объеме 0,75 см на 100 г массы животных, контрольной группе в брюшную полость вводили физиологический раствор в том же объеме. Животных выводили из эксперимента под хлороформным наркозом через 3, 6, 12, 24 часа, 3 сут. Щитовидную железу фиксировали 10% нейтральным формалином и заливали в парафин. Серийные депарафинированные срезы окрашивали гематоксилином-зозином, пикрофуксином и Пифф-йодной кислотой, при помощи объект-микрометра измеряли диаметр фолликулов и высоту тиреоидного эпителия. Кусочки щитовидной железы от 7-и животных были фиксированы в 3% глютаральдегиде на буфере Хенкса (Ph 7,3), постфиксировали в 1% растворе четырехокиси осмия и заключали в смесь «эпон-аралдит». Полутонкие и ультратонкие срезы готовили на ультратоме LKB-8800, контрастировали уранилацетатом и цитратом свинца. Ультратонкие срезы исследовали в электронном микроскопе JEM-100B. Растворовую электронную микроскопию проводили в сканирующем электронном микроскопе JSM-840.

**Полученные результаты.** В первые 3-6 часов в строме щитовидной железы регистрируются сосудистые расстройства в виде стаза, и микротромбоза. Эти изменения усиливаются и в течение 1-2 суток достигают максимальных проявлений вплоть до фибринOIDного некроза стенок сосудов. При электронномикроскопическом изучении стенок сосудов обнаруживаются процессы повреждения эндотелиоцитов в виде усиления пиноцитоза, разрушения митохондрий, конденсации хроматина в ядре, расширения межэндотелиальных щелей. Эти процессы сопровождаются выраженным отеком стромы органа. Параллельно сосудистым расстройствам в щитовидной железе происходит уменьшение среднего диаметра фолликулов, достигая соответственно на 12-и час и 3 сутки эксперимента показателей 34,59+0,75 и 30,28+0,62 мкм ( $P<0,001$ ; контроль - 42,430,83 мкм). Высота тиреоидного эпителия напротив увеличивается, преимущественно на 3-й час и 3-и сутки и достигает 8,38+0,12 и 8,5240,14 мкм (контрольные животные 7,9530,11 мкм;  $P<0,05$ ).

Электронномикроскопически обнаруживаются особенности строения тиреоцитов. Так, наблюдается сглаженность апикальных и базальных отделов тиреоцитов, уменьшается количество пероксисом и первичных лизосом как у плазмалеммы, так и вокруг пластинчатого комплекса. Компоненты эндоплазматической сети расширяются. Митохондрии становятся удлиненной формой, а в концевых отделах крист образуются булавовидные расширения концевых отделов вплоть до разрушения крист и образования миелиноподобных структур. В течение 1-2 суток отдельные тиреоциты подвергаются колликовационному некрозу и слущиваются в просвет фолликулов.

**Заключение.** Приведенные данные раскрывают морфо-функциональные механизмы поражения щитовидной железы в условиях эндотоксикоза. Токсические продукты, образующиеся в брюшной полости при перитоните попадая в кровь, вызывают во многих органах и системах повреждение, связанные двумя механизмами - во-первых, повреждение сосудистого русла приводит к гипоксии и, во-вторых, непосредственное действие токсических продуктов на паренхиматозные элементы органов, в том числе и щитовидной железы, вызывает процессы альтерации вплоть до некроза. Это в конечном итоге и приводит к функциональной недостаточности этого органа. Таким образом, представленные данные показывают морфогенез процессов, происходящих в щитовидной железе при эндотоксикозе, что свидетельствуют о системном механизме их развития.

### **Список литературы**

1. Прогнозирование течения ургентных хирургических болезней: монография / А. П. Власов, А. А. Соломаха, В. Е. Рязанцев [и др.]. — Саранск : МГУ им. Н.П. Огарева, 2022. — 272 с.
2. Калашникова С.А. Морфологическая характеристика эндокринных органов при хронической эндогенной интоксикации// С.А. Калашникова, П.В. Полякова, А.Н. Щёголев // Бюл. эксперим.биологии и медицины. -2011. - Т. 151, № 2. - С.211- 214.
3. Чукарев В. С. Диагностика и коррекция эндотоксикоза у больных с перитонитом (экспериментально-клиническое исследование): автореф. дис....канд.меднаук:3.1.9/ Чукарев Владислав Сергеевич. – Астрахань. – 2023. – 24 с.
4. Яглова Н.В. Синдром нетиреоидных заболеваний при остром бактериальном эндотоксикозе: патогенетические механизмы и методы коррекции// Вестник РАМН /2013/ № 3. – С.24-32

5. Сараев А.Р., Назаров Ш.К. Патогенез и классификация распространенного перитонита. Хирургия. Журнал им. Н.И. Пирогова. 2019;(12):106-110.

6. Болотских В.А., Обоснование нового подхода в коррекции хирургического эндотоксикоза различного происхождения/В.А. Болотских, А.П. Власов, В.В. Васильев [и др.]// Журнал «Современные проблемы науки и образования». - 2019. - № 1

7. Wenzek C., Boelen A., Westendorf A.M. et.all. The interplay of thyroid hormones and the immune system - where we stand and why we need to know about it. Eur J Endocrinol 2022 Mar 23;186(5):R65-R77. doi: 10.1530/EJE-21-1171.

## ПЕРСПЕКТИВЫ КЛИНИЧЕСКОГО ПРИМЕНЕНИЯ ЦИФРОВОЙ МОДЕЛИ ПАЦИЕНТА В КАРДИОЛОГИИ

**Шамилов Марк Дамирович**

*студент*

*Уральский государственный медицинский университет  
Минздрава России,  
Екатеринбург, Россия*

**Вишнева Ксения Алексеевна**

*студент*

*Уральский государственный медицинский университет  
Минздрава России,  
Екатеринбург, Россия*

**Айрапетов Максим Дмитриевич**

*студент*

*Уральский государственный медицинский университет  
Минздрава России,  
Екатеринбург, Россия*

**Хабибулина Марина Михайловна**

*кандидат медицинских наук, доцент,*

*Уральский государственный медицинский университет  
Минздрава России,  
Екатеринбург, Россия*

**Аннотация.** Цифровая модель пациента – это компьютерная модель, включающая медицинские характеристики конкретного человека. Медицинские данные больного в динамике загружаются в данную модель, а полученные выводы могут применяться для коррекции терапии. Так, электронная медицинская карта превращается в интерактивный инструмент, который может прогнозировать течение и развитие болезни и реакцию пациента на различные медицинские вмешательства [1,2,4].

**Ключевые слова:** цифровая модель пациента (ЦМ), искусственный интеллект, персонифицированная медицина.

Цифровая модель пациента выполняет функцию персонализированной «тестовой площадки» для врача, поскольку позволяет безопасно моделировать течение заболевания, предложить и опробовать различные схемы лечения, а также предсказать исходы, не подвергая риску самого пациента [5]. Современные достижения последних лет в области больших данных и искусственного интеллекта (ИИ) стимулировали внедрение ЦМ в здравоохранение. Так, накопленный опыт, огромные объемы клинических данных и рост вычислительных мощностей делают возможным создание точной и комплексной модели пациента [6]. Ожидается, что технология ЦМ поможет преобразовать медицину, сделав ее более точной на всех этапах – от диагностики и подбора терапии до реабилитации и профилактики [4]. Уже сегодня есть примеры, когда цифровые модели улучшают понимание патогенеза заболеваний и позволяют подбирать оптимальное лечение под конкретного пациента, воплощая принципы персонализированной медицины [2, 7]. Тем не менее, ЦМ в здравоохранении остаются новой, активно развивающейся областью, несмотря на бурный рост интереса к ним. Бессспорно, что технология находится на ранней стадии внедрения и требует дальнейших исследований, стандартизации и формирования доказательной базы по эффективности [4].

За последние 5 лет в научной литературе накопилось множество научных работ, посвященных применению ЦМ в медицине. Исследования по ЦМ охватывают разнообразные клинические области. Одним из драйверов стала кардиология, где потенциальная выгода от персонализированного подхода особенно очевидна. Например, G. Coorey и соавт. (2022) предлагают концепцию «здорового цифрового двойника» для кардиологического пациента, в которой виртуальная модель сердца, регулярно получающая данные обследований, предсказывает риск осложнений и помогает оптимизировать выбор терапии при сердечно-сосудистых заболеваниях [3]. Конкретное подтверждение этому появилось в 2024 г., когда голландские исследователи продемонстрировали, что ЦМ сердца способна с высокой точностью спрогнозировать эффективность имплантации кардиостимулятора у пациентов с сердечной недостаточностью [8]. В рамках данного исследования для 50 пациентов была создана индивидуальная компьютерная модель сердечно-сосудистой системы, на которой виртуально протестирували ресинхронизирующую терапию. Полученные прогнозы совпали с реальными исходами, что позволит обеспечить персонифицированный отбор кандидатов на дорогостоящие процедуры [8].

Виртуальное сердце пациента – является одним из наиболее показательных клинических примеров ЦМ. Кардиологи одними из первых начали создавать детальные математические модели сердца – «цифровые сердца» – для прогнозирования исходов вмешательств. В 2024 г. опубликованы результаты клинического исследования, в котором у группы пациентов с хронической

сердечной недостаточностью перед имплантацией кардиоресинхронизирующих устройств (кардиостимуляторов) создали персональные цифровые двойники их сердечно-сосудистой системы [8]. Эта цифровая модель сердца представляла собой сложную модель гемодинамики, построенную на базе платформы CircAdapt, настроенную под анатомию и функции каждого пациента. Затем виртуально симулировали работу кардиостимулятора при различных настройках для каждого больного. Модель предсказала, у каких пациентов произойдет улучшение насосной функции, обратное ремоделирование левого желудочка при определенной оптимальной настройке устройства. Фактические клинические результаты подтвердили точность таких прогнозов, что демонстрирует ценность ЦМ. Так, врач смог заранее выявить пациентов, у которых действительно будет положительная динамика от проводимой терапии, и подобрать им оптимальный режим стимуляции [8]. Этот пример персонифицированной кардиологии наглядно демонстрирует принятие решения о выборе терапии с помощью цифрового эксперимента, проведенного на «виртуальном пациенте» с положительным результатом.

Другой кардиологический пример модели сердца для оценки риска осложнений представлен компанией Siemens Healthineers, разрабатывающей ЦМ сердца для пациентов с различными сердечно-сосудистыми патологиями, который позволяет прогнозировать риск аритмий или сердечной недостаточности в зависимости от тактики лечения [5]. Такой двойник интегрирует данные визуализации (магнитно-резонансная томография сердца, компьютерная томография (КТ) коронарных артерий и результаты нагрузочных тестов и др.) и строит персонифицированную 3D-модель сердца, виртуально «прогоняя» на ней разные сценарии (например, проведение операции, установка клапана или изменение схемы терапии). Врачи могут оценить вероятность осложнений, таких как инфаркт, тромбообразование, прогрессирование сердечной недостаточности [5]. Это помогает принять превентивные меры или изменить план лечения до того, как нежелательное событие произойдет в реальности. Подобные решения находятся в стадии клинических испытаний, но перспективы их применения обнадеживают. С их помощью можно значительно повысить безопасность инвазивных вмешательств и лекарственной терапии в кардиологии за счет тщательной виртуальной проработки.

Уже сегодня в опубликованных пилотных проектах продемонстрированы значительные результаты от внедрения элементов цифрового моделирования. По данным испытаний, в клиниках, опробовавших технологии ЦД, время, необходимое для установки диагноза, сократилось на 30–35%, а точность прогнозирования клинического течения болезни улучшилась на 20% [5]. Также было зафиксировано снижение доли нецелесообразных диагностических и лечебных процедур, что уменьшает лишнюю нагрузку на паци-

ента и систему здравоохранения [5]. Подобные обнадеживающие данные, полученные на ранних этапах внедрения, подтверждают принципиальную применимость ЦМ в клинической практике и ее системную ценность, как инструмента способного повысить эффективность и качество оказания медицинской помощи.

Очевидно, что уже сегодня тренд в здравоохранении однозначно смещается в сторону цифровизации и персонализации, а ЦМП рассматриваются как одна из ключевых технологий ближайшего будущего. Организационные структуры здравоохранения начинают готовиться к их интеграции. Показательно, что Минздрав России в 2025 г. включил цифрового двойника в перечень приоритетных технологий медицины наряду с ИИ и телемедицинскими технологиями [5].

Подобные действия со стороны государства подтверждают признание значимости этого направления и готовность к содействию его развития.

Сегодня в разных странах запускаются национальные программы, исследовательские консорциумы и пилотные проекты, объединяющие врачей, ИТ-специалистов, ученых для апробации технологий на основе ИИ, в том числе и ЦД, в реальный клинической практике [9,10].

В конечном счете, цель внедрения ЦДП – сделать медицину более точной, проактивной и ориентированной на пациента, что полностью соответствует цифровой политике нашего государства, концепции Healthcare и мировым тенденциям здравоохранения.

### **Список литературы**

1. Nadeem M., Ahmad I., Ahmed Q. et al. A comprehensive review of digital twin in healthcare in the scope of simulative health-monitoring. *Digit Health.* 2025; 11. DOI: 10.1177/20552076241304078
2. Kagadis G.C., Kloukinas C., Moore K. et al. Digital Twins' Advancements and Applications in Healthcare, Towards Precision Medicine. *J Pers Med.* 2024; 14 (11): 1234. DOI: 10.3390/jpm14111234
3. Coorey G., Figtree G.A., Fletcher D.F. et al. The health digital twin to tackle cardiovascular disease – a review of an emerging interdisciplinary field. *NPJ Digit Med.* 2022; 5: 126. DOI: 10.1038/s41746-022-00640-7
4. Katsoulakis E., Wang Q., Wu H. et al. Digital twins for health: a scoping review. *NPJ Digit Med.* 2024; 7: 77. DOI: 10.1038/s41746-024-01073-0
5. Малов Д. Как цифровые двойники меняют диагностику в медицине. РБК Компании от 14.04.25 [Электронный ресурс]. [Malov, D. How digital twins are changing diagnostics in medicine. RBC Companies, April 14, 2025 [Electronic resource]. (in Russ.)]. URL: <https://companies.rbc.ru/news/MCGKSByzH/kak-tsifrovyye-dvoyniki-menyaют-diagnostiku-v-meditsine/>

6. Rodriguez-Gonzalez A.B., Chitimalli S., Mohan S. et al. Medical Digital Twin: A Review on Technical Principles and Clinical Applications. *J Clin Med.* 2025; 14 (2): 324. DOI: 10.3390/jcm14020324
7. Тайц Б.М. «10Пмедицина» в решении вопросов снижения смертности, увеличения продолжительности и повышения качества жизни пожилого населения. *Клиническая геронтология.* 2021; 27 (11-12): 76–9 [Tayts B.M. «P10 Medicine» for lower mortality, longer life expectancy and better quality of life in elderly people. *Clin Gerontol.* 2021; 27 (11-12): 76–9 (in Russ.)]. DOI: 10.26347/1607-2499202111-12076-079
8. Digital twin of heart patient can correctly predict outcomes of medical treatment. Maastricht University News, January 30, 2024 [Electronic resource]. URL:<https://www.maastrichtuniversity.nl/news/digital-twin-heart-patient-can-correctly-predict-outcomes-medical-treatment>
9. Через 10 лет в России может появиться цифровой двойник человека. Newprospect.ru om 22.11.24 [Электронный ресурс] [In 10 years, Russia may see the emergence of digital human doubles. Newprospect.ru, 22 November 2024 (in Russ.)]. URL:<https://newprospect.ru/news/cherez-10-let-v-rossii-mozhet-poyavitsya-czifrovoj-dvojnik-cheloveka>
10. Селиверстов П.В., Шаповалов В.В., Алешко О.В. Внедрение телемедицинских технологий на основе искусственного интеллекта в практику оказания амбулаторно-поликлинической помощи для проведения медицинского осмотра. *Медицинский алфавит.* 2023; 28: 44–9 [Seliverstov P.V., Shapovalov V.V., Aleshko O.V. Introduction of telemedicine technologies based on artificial intelligence into practice of providing outpatient care for medical examination. *Medical alphabet.* 2023; 28: 44–9 (in Russ.)]. DOI: 10.33667/2078-5631-2023-28-44-49.

**ЭПИДЕМИОЛОГИЧЕСКАЯ ХАРАКТЕРИСТИКА ИНФЕКЦИЙ,  
СВЯЗАННЫХ С ОКАЗАНИЕМ МЕДИЦИНСКОЙ ПОМОЩИ  
(ИСМП)**

**Миронова Мария Сергеевна**

*студент*

*Медицинский институт Пензенского государственного  
университета,  
г. Пенза, Россия*

**Файзуллина Диана Рафаэлевна**

*студент*

*Медицинский институт Пензенского государственного  
университета,  
г. Пенза, Россия*

**Юскаева Гульсем Исакандяровна**

*кандидат биологических наук, доцент*

*Медицинский институт Пензенского государственного  
университета,  
г. Пенза, Россия*

**Аннотация.** Инфекции, связанные с оказанием медицинской помощи (ИСМП), — это заболевания, возникающие у пациентов во время или после медицинского вмешательства, а также у медработников при выполнении профессиональных обязанностей. Они представляют глобальную проблему, приводящую к увеличению сроков госпитализации, росту затрат на лечение и летальным исходам.

**Ключевые слова:** инфекция, медицинская помощь, трахеотомия, эпидемиологический надзор.

**Abstract.** Healthcare-associated infections (HAIs) are diseases that occur in patients during or after medical interventions, as well as in healthcare workers while performing their professional duties. They pose a global challenge, leading to longer hospital stays, higher healthcare costs, and even fatalities.

**Keywords:** infection, medical care, tracheotomy, epidemiological surveillance

**Актуальность проблемы:** Инфекции, связанные с оказанием медицинской помощи (ИСМП), являются одними из наиболее распространенных неблагоприятных исходов оказания медицинской помощи. ИСМП возникают через 48 часов или более после поступления в больницу или в течение 30 дней после лечения. Первоначально термин «ИСМП» относился к инфекциям, связанным с поступлением в больницу неотложной помощи (ранее известным как «внутрибольничные инфекции»). ИСМП — это инфекции, которые возникают в учреждениях, где пациенты получают медицинскую помощь. Пациенты в учреждениях здравоохранения, особенно в больницах, страдают от инфекций, связанных с оказанием медицинской помощи, которые не заметны во время поступления. К ним также относятся заболевания, поражающие работников здравоохранения, и инфекции, которые пациенты приобретают во время обращения за лечением в больницу или другое медицинское учреждение, но возникают после выписки [17].

**Цель исследования:** Сформировать всестороннее представление об эпидемиологических особенностях инфекций, связанных с оказанием медицинской помощи (ИСМП), для разработки эффективных мер профилактики и контроля их распространения в медицинских организациях.

**Задачи:**

1. Проанализировать распространённость и динамику заболеваемости ИСМП в различных типах медицинских организаций;
2. Оценить роль инвазивных медицинских процедур и манипуляций в развитии ИСМП;
3. Проанализировать влияние особенностей стационаров (реанимационные отделения, хирургические блоки и др.) на риск ИСМП;
4. Изучить систему эпидемиологического надзора за ИСМП;
5. Рекомендации по повышению эпидемиологической безопасности медицинских вмешательств.

**Введение**

Инфекции, связанные с оказанием медицинской помощи (ИСМП), многие из которых вызваны микроорганизмами с множественной лекарственной устойчивостью, связаны со значительной заболеваемостью, длительным пребыванием в стационаре, смертностью и избыточными финансовыми расходами. Пациенты учреждений длительного ухода особенно подвержены риску заражения ИСМП из-за преклонного возраста, сопутствующих заболеваний, нарушений психического и функционального состояния, приема иммуносупрессивных препаратов и использования инвазивных устройств, таких как постоянные мочевые катетеры. Эти пациенты находятся в тесном контакте с персоналом и другими пациентами, что повышает риск передачи внутрибольничных инфекций, и могут нуждаться в частой и/или длительной госпитализации, что повышает риск распространения внутрибольничных инфекций из отделений неотложной помощи [4].

### **Факторы риска, источники и пути передачи, основные возбудители.**

Вспышки ИСМП часто объясняются либо неэффективностью стратегий инфекционного контроля, либо загрязнением оборудования или лекарственных препаратов. Факторы риска, связанные с оказанием медицинской помощи, включают использование инвазивных систем катетеризации, хирургических процедур и чрезмерное использование антибиотиков . К факторам риска, связанным с окружающей средой, относятся загрязненные системы кондиционирования воздуха и переполненность медицинского учреждения. Факторы риска, связанные с пациентом, включают тяжесть основного заболевания, прием иммунодепрессантов и длительное пребывание в больнице [4].

В ходе многоуровневого анализа пациентов с положительными результатами посева на инфекцию (с госпитальной летальностью в качестве зависимой переменной) и с учётом всех микроорганизмов (в качестве независимых переменных) было установлено, что инфекция, приобретённая в отделении интенсивной терапии, независимо связана с более высоким риском внутрибольничной смертности по сравнению с инфекцией, приобретённой вне отделения ( $P = .003$ ). Кроме того, более старший возраст, более высокий показатель SAPS II в день исследования, наличие метастатического рака, сердечной недостаточности (III–IV класс по классификации Нью-Йоркской кардиологической ассоциации), ВИЧ-инфекции или цирроза печени, необходимость в искусственной вентиляции лёгких или заместительной почечной терапии в день исследования, а также перевод из больничного отделения в операционную также независимо друг от друга были связаны с более высоким риском внутрибольничной смерти [16].

Внутрибольничные инфекции (ИСМП) являются одними из основных факторов, определяющих заболеваемость и смертность пациентов. Медицинскому персоналу необходимо обладать знаниями о состоянии и тяжести ИСМП в своих учреждениях, а также об их влиянии на результаты лечения пациентов [1].

### **Характеристика распространенных ИСПМ**

1) Катетер-ассоциированные инфекции представляют собой серьёзную проблему в отделениях интенсивной терапии. Также данную проблему можно разобрать на примере гемодиализа (ГД). Достаточно длительная продолжительность диализа является важным фактором риска внутрибольничных инфекций у пациентов на гемодиализе, поскольку они подвержены более высокому риску воздействия патогенов, чем пациенты с меньшей продолжительностью гемодиализа. Кроме того, увеличение продолжительности диализа увеличило количество случаев венепункции и, следовательно, риск связанных инфекций. [14].

Высокая частота инфекций у пациентов на ГД в течение 2 лет и более предполагает, что условия в отделении гемодиализа могли способствовать внутрибольничным инфекциям. Однако продолжительность ГД не является модифицируемым фактором, и, следовательно, основное внимание следует уделять другим модифицируемым факторам, которые можно изменить путем внедрения строгих руководств по контролю инфекций. Существует данные, что ИСПМ были также достоверно связаны с такими факторами риска, как длительность пребывания в больнице и количество сеансов гемодиализа. Оба этих фактора подвергали пациентов непосредственному воздействию инфекционных агентов в течение длительного периода времени, что делало их более подверженными внутрибольничным инфекциям [12].

2) Инфекция в области хирургического вмешательства (ИМХВ) определяется Центрами по контролю и профилактике заболеваний как раневая инфекция, возникающая в течение 30 дней после хирургического вмешательства или в течение года, если был установлен имплантат, и инфекция считается вторичной послеоперационной. На её долю приходится от 20% до 39% всех инфекций, полученных в больницах.

Известно, что ИМХВ может возникнуть в любой момент, но чаще всего между 5-м и 10-м днями после операции.

Среди микроорганизмов, вызывающих ИМХВ, наиболее распространенным является золотистый стафилококк, за которым следует кишечная палочка, а наиболее чувствительным антибиотиком является меропенем. Дальнейшие исследования риска развития ИМХВ у пациентов, перенесших общехирургические вмешательства, необходимы для усиления профилактических мер по снижению частоты инфекций [6].

Центр по контролю и профилактике заболеваний рекомендовал меры, направленные на снижение риска ИМХВ. К ним относятся: оптимальный контроль уровня сахара в крови, отказ от курения, уменьшение предоперационного и интраоперационного пребывания; строгая асептика, умеренное использование антибиотиков, эффективный гемостаз, облитерация мертвых пространств, правильная обработка тканей, правильная установка дренажа в послеоперационном периоде; асептический подход к уходу за раной. Некоторые также считают лапароскопический подход связанным с меньшим риском ИМХВ. Тем не менее, заболеваемость ИМХВ по-прежнему высока. Хотя ИМХВ считается глобальной проблемой независимо от доступности хирургии, это одна из наиболее распространенных инфекций, связанных с оказанием медицинской помощи, в странах с низким и средним уровнем дохода [10].

3) Пневмония представляет собой одну из наиболее распространенных внутрибольничных инфекций в отделении интенсивной терапии.

Вентилятор-ассоциированная пневмония (ВАП) определяется как нозокомиальная пневмония, возникающая у пациента после 48 часов искусственной вентиляции легких через эндотрахеальную или трахеостомическую трубку.

Интузия трахеи и искусственная вентиляция легких связаны с 7, и по некоторым источникам, даже 21-кратным увеличением заболеваемости пневмонией, и до 28% пациентов, получающих искусственную вентиляцию легких, развиваются это осложнение. Его развитие связано с соответствующим ростом заболеваемости и смертности. Установление точного диагноза вентилятор-ассоциированной пневмонии остается проблематичным, и до сих пор не существует общепринятого «золотого стандарта» диагностики. Возбудители различаются в зависимости от клинической картины, особенностей местной резистентности и методологии взятия проб. Тем не менее, существует общее мнение, что быстрое начало адекватной антимикробной терапии улучшает исход.

Обычно ВАП классифицируют как раннюю (возникающую в течение 96 часов после начала искусственной вентиляции легких) или позднюю (более 96 часов после начала искусственной вентиляции легких). Это распространенное состояние, которое трудно точно диагностировать и достаточно дорого лечить. Его развитие продлевает пребывание пациента в отделении интенсивной терапии (ОИТ) и связано со значительной заболеваемостью и смертностью. Большинство случаев ВАП, по-видимому, являются результатом аспирации патогенного материала, который обычно колонизирует ротовоглоточные дыхательные пути тяжелобольных. Простые меры по снижению частоты аспирации или уменьшению бремени колонизации ротовоглотки могут помочь в профилактике вентилятор-ассоциированной пневмонии. Благоприятный исход более вероятен при своевременном применении соответствующих антибиотиков.

Факторы риска развития вентилятор-ассоциированной пневмонии

- Возраст >60 лет
- Тяжесть заболевания (оценка по шкале APACHE II >16)
- Острое или хроническое заболевание легких
- Чрезмерная седация
- Энтеральное питание
- Сильные ожоги
- Положение тела лежа на спине
- Шкала комы Глазго <9
- Использование миорелаксантов
- Курение сигарет [13]

Профилактика и противоэпидемические мероприятия

Крайне важно применять различные методы профилактики, чтобы избежать возникновения ВБИ. Крайне важно соблюдать гигиену рук, поддерживать чистоту окружающей среды, проявлять лидерство, правильно использовать средства индивидуальной защиты, применять последовательные методы, основанные на фактических данных, проводить кампанию по борьбе с устойчивостью к противомикробным препаратам, соблюдать респираторную гигиену и применять стратегии оценки для предотвращения возникновения ВБИ [5].

Существует ряд мер, которые можно предпринять для снижения заболеваемости нозокоминальной пневмонией. Стrogое мытье рук и использование защитных халатов и перчаток должны регулярно применяться в отделении интенсивной терапии для минимизации внутрибольничных инфекций. Следует ухаживать за ослабленными пациентами, придавая им полулежачее положение (под углом 45°), избегать вздутия желудка, также необходимо избегать ненужных изменений в контуре ИВЛ. Не следует рекомендовать назальную интубацию.

В то же время появляется все больше доказательств того, что рационально выполнение ранней трахеостомии у пациентов, которым, как ожидается, потребуется длительная искусственная вентиляция легких [10]. В недавнем исследовании 120 пациентов, которым, как ожидается, потребуется искусственная вентиляция легких в течение более 14 дней, те, кто был рандомизирован для получения чрепокожной дилатационной трахеостомии в течение 48 часов после поступления, имели значительно более низкую заболеваемость ВАП, чем те, кому была выполнена трахеостомия через 14–16 дней (5% по сравнению с 25%,  $p < 0,005$ ) [13].

Было показано, что ежедневное прерывание инфузий седативных препаратов сокращает продолжительность искусственной вентиляции лёгких. Имеются некоторые данные, позволяющие предположить, что профилактическое парентеральное введение антибиотиков может быть полезным для предотвращения ВАП, особенно у пациентов со значительно сниженным уровнем сознания [15].

Во многих отделениях интенсивной терапии внедряются «комплексы ИВЛ» – комплексы мероприятий, связанных с искусственной вентиляцией лёгких (ИВЛ), которые при совместном применении дают лучшие результаты, чем при применении по отдельности. Некоторые ключевые компоненты комплексов, такие как правильное положение пациента и избегание интенсивной седации, могут также снизить частоту возникновения ВАП.

#### **Эпидемиологический надзор**

Быстрое выявление и сдерживание инфекций, связанных с оказанием медицинской помощи (ИСМП), имеет решающее значение для предотвраще-

ния и контроля вспышек инфекционных заболеваний в учреждениях здравоохранения.

Большинство экспертов сходятся во мнении, что значительную часть инфекций, связанных с использованием медицинских изделий, можно предотвратить с помощью научно обоснованных рекомендаций и комплексных мер профилактики.

Образовательные программы для медицинских работников, встроенные в комплексную программу повышения качества, являются краеугольным камнем любого профилактического подхода. Что касается инфекций, связанных с медицинскими изделиями, особое внимание следует уделять сокращению времени контакта с инвазивными устройствами и ежедневной оценке необходимости продления их использования [3].

Говоря о новых тенденциях в профилактике ИСМП, необходимо затронуть метод полногеномного секвенирования (ПГС). В настоящее время полногеномное секвенирование (ПГС) стало мощным инструментом для отслеживания динамики передачи патогенов, и при использовании в сочетании с традиционными эпидемиологическими методами оно может лучше информировать нас о происхождении патогена, путях и масштабах передачи. Кроме того, ПГС может помочь в выявлении ранее нераспознанных резервуаров инфекции, что позволяет разрабатывать более эффективные стратегии контроля и целенаправленные вмешательства.

Полногеномное секвенирование патогенов позволяет отслеживать мутации в разных популяциях, что позволяет картировать родство изолятов и поддерживать детальное понимание распространения заболевания. Имея контекстные данные, мы можем впоследствии рассмотреть разнообразие штаммов и последовательностей в окружающей среде, чтобы лучше понять происхождение, заболеваемость и факторы риска патогенов, что потенциально улучшает контроль вспышек [11].

**Заключение:** В ходе данной работы было установлено, что ИСМП на данный момент являются одной из основных проблем здравоохранения, которая требует рациональных мер по профилактике и лечению. Наиболее часто встречающимися ИСПМ являются катетер-ассоциированные инфекции, инфекции в области хирургического вмешательства, а также внутрибольничная пневмония, ассоциированная с ИВЛ. Данные категории пациентов нуждаются в особо тщательном уходе и определенных методах терапии. В ходе анализа было выяснено, что наиболее эффективными методами профилактики ИСМП являются: образовательные программы для медицинских работников, меры по сокращению контакта пациента с инвазивными инструментами и тщательная оценка необходимости продления инвазивных вмешательств, а также полногеномное секвенирование в сочетании с традиционными эпидемиологическими методами.

**Список литературы**

1. Aljohar BA, Kilani MA, Bujayr AAA, Humayun A, Alsaffar MJ, Alanazi KH. Epidemiological and clinical characteristics of COVID-19 mortality among healthcare workers in Saudi Arabia: A nationwide study. *J Infect Public Health*, 15 (9) (2022), pp. 1020-1024. 10.1016/j.jiph.2022.08.005
2. Bennett N, Tanamas SK, James R, Ierano C, Malloy MJ, Watson E, Slaggett JK, Dunt D, Thursky K, Worth LJ. Healthcare-associated infections in long-term care facilities: a systematic review and meta-analysis of point prevalence studies. *BMJ Public Health*. 2024 May 27;2(1):e000504. doi: 10.1136/bmjph-2023-000504. PMID: 40018192; PMCID: PMC11816188.
3. Blot S, Ruppé E, Harbarth S, Asehnoune K, Poulakou G, Luyt CE, Rello J, Klompas M, Depuydt P, Eckmann C, Martin-Loeches I, Povoa P, Bouadma L, Timsit JF, Zahar JR. Healthcare-associated infections in adult intensive care unit patients: Changes in epidemiology, diagnosis, prevention and contributions of new technologies. *Intensive Crit Care Nurs*. 2022 Jun;70:103227. doi: 10.1016/j.iccn.2022.103227. Epub 2022 Mar 3. PMID: 35249794; PMCID: PMC8892223.
4. Centres of Diseases Control and Prevention, Healthcare-Associated Infections (HAIs): Outbreak Investigations in Healthcare Settings [Online]. Available from: <https://www.cdc.gov/hai/outbreaks/index.html>. [Accessed on 21st January 2022.]
5. Collins A.S. [(accessed on 3 September 2022)]; Available online: <https://www.ncbi.nlm.nih.gov/books/NBK2683>.
6. Ghimire P., Shrestha B.B., Karki O.B., Timilsina B., Neupane A., Bhandari A. Postoperative Surgical Site Infections in the Department of General Surgery of a Tertiary Care Centre: A Descriptive Cross-sectional Study // *JNMA J Nepal Med Assoc*. 2022. Vol. 60, № 249. P. 439–443. DOI: 10.31729/jnma.7316. PMCID: PMC9252227. PMID: 35633244
7. Hunter J.D. Ventilator associated pneumonia // *Postgraduate Medical Journal*. — 2006. — Vol. 82, № 965. — P. 172–178. — DOI: 10.1136/pgmj.2005.036905. — PMID: 16517798. — PMCID: PMC2563696
8. Kollef M H. Prevention of hospital-associated pneumonia and ventilator-associated pneumonia. *Crit Care Med* 2004;32:1396–1405.
9. Nuckchady DC, Boolaky SH. The prevalence of multi-drug resistant organisms and their outcomes in an ICU in Mauritius: an observational study. *Asian J Med Health*. 2020;21:71–78.
10. Ojewuyi O.O., Ojewuyi A.R., Fasanu A.O., Asafa O.Q., Taiwo O.A., Folami E.O. Surgical site infections following abdominal surgery: incidence, risk factors and outcomes // *Afr Health Sci*. 2024. Vol. 24, № 4. P. 91–98. DOI: 10.4314/ahs.v24i4.12.

11. Pacchiarini N., McKerr C., Morgan M., Connor T.R., Williams C. *The potential of genomic epidemiology: capitalizing on its practical use for impact in the healthcare setting* // *Frontiers in Public Health*. — 2025. — Vol. 13. — Art. 1504796. — DOI: 10.3389/fpubh.2025.1504796. — PMID: 3995773. — PMCID: PMC11825496.
12. Purnamasidhi C.A.W., et al. , *High Incidence of Hepatitis B Virus Infection in Hemodialysis Patients at Sanglah General Hospital and It's Risk Factors*. *The Indonesian Journal of Gastroenterology, Hepatology, and Digestive Endoscopy*, 2017. 17(3): p. 155–161.
13. Rumbak M J, Newton M, Truncate T. et al *A prospective, randomized, study comparing early percutaneous dilational tracheotomy to prolonged translaryngeal intubation (delayed tracheotomy) in critically ill medical patients*. *Crit Care Med* 2004;32:1689–1694.
14. Sinjari H.Y.A. and Bakr K.A., *Prevalence and Risk Factors of Hepatitis B and C Virus Infections Among Patients Undergoing Hemodialysis in Kurdistan, Iraq*. *Hepatitis Monthly*, 2018. 18(5): p. 1–6.
15. Sirvent J M, Torres A, El-Ebiary M. et al *Protective effect of intravenously administered cefuroxime against nosocomial pneumonia in patients with structural coma*. *Am J Respir Crit Care Med* 1997;151:1729–1734.
16. Vincent JL, Sakr Y, Singer M, Martin-Loeches I, Machado FR, Marshall JC, Finfer S, Pelosi P, Brazzi L, Aditianingsih D, Timsit JF, Du B, Wittebole X, Máca J, Kannan S, Gorordo-Delsol LA, De Waele JJ, Mehta Y, Bonten MJM, Khanna AK, Kollef M, Human M, Angus DC; EPIC III Investigators. *Prevalence and Outcomes of Infection Among Patients in Intensive Care Units in 2017*. *JAMA*. 2020 Apr 21;323(15):1478-1487. doi: 10.1001/jama.2020.2717. PMID: 32207816; PMCID: PMC7093816.
17. World Health Organization. Доступно на: <https://www.who.int> Ссылка активна на 03.11.2025.

DOI 10.34660/INF.2025.36.30.188

УДК 616

## **КОМПЛЕКСНЫЙ АНАЛИЗ ЭТИОЛОГИИ И СМЕРТНОСТИ ПРИ САХАРНОМ ДИАБЕТЕ 1- ГО ТИПА ПЕНЗЕНСКОЙ ОБЛАСТИ**

**Пронина Екатерина Александровна**

*студент*

*Пензенский государственный университет,  
Пенза, Россия*

**Юнякина Нина Сергеевна**

*студент*

*Пензенский государственный университет,  
Пенза, Россия*

**Балаева Светлана Сергеевна**

*студент*

*Пензенский государственный университет,  
Пенза, Россия*

**Захматова Дарья Алексеевна**

*студент*

*Пензенский государственный университет,  
Пенза, Россия*

**Юскаева Гульсем Исакандяровна**

*кандидат биологических наук, доцент*

*Пензенский государственный университет,  
Пенза, Россия*

**Аннотация.** В данной научной статье представлен комплексный обзор этиологических факторов, патогенеза и клинических проявлений сахарного диабета 1-го типа. Рассматриваются особенности иммунологических механизмов, приводящих к разрушению  $\beta$ -клеток поджелудочной железы, а также роль генетических и экологических факторов в развитии заболевания. В статье проанализированы результаты исследований, проведённых в Пензенской области, которые позволяют сделать выводы об уровне заболеваемости и особенностях эпидемиологической ситуации в данном регионе.

**Ключевые слова:** сахарный диабет, инсулин, поджелудочная железа, бета-клетки, заболеваемость, смертность.

**Abstract.** This scientific article presents a comprehensive review of the etiological factors, pathogenesis, and clinical manifestations of type 1 diabetes mellitus. It examines the immunological mechanisms leading to the destruction of pancreatic  $\beta$ -cells, as well as the role of genetic and environmental factors in the development of the disease. The article analyzes the results of studies conducted in the Penza region, which allow us to draw conclusions about the incidence rate and epidemiological characteristics of the region.

**Keywords:** diabetes mellitus, insulin, pancreas, beta cells, morbidity, mortality.

## **Введение**

Сахарный диабет (СД) является одной из наиболее актуальных и первостепенных задач, стоящих перед современной медициной. В мире насчитывается около 1,5 миллиона детей и подростков, живущих с СД1, и, к сожалению, заболеваемость продолжает расти. Особенность заболевания в том, что на данный момент не разработано методов полного излечения. Основным подходом к его контролю остается заместительная инсулиновая терапия, осуществляющаяся при постоянном мониторинге гликемического профиля.

**Целью данного исследования** является изучение основных причин и механизмов развития сахарного диабета 1-го типа у детей, а также оценка уровней заболеваемости и смертности в пензенской области.

- Задачи:**
1. Описать этиологию и патогенез сахарного диабета 1-го типа;
  2. Определить влияние генетических и экологических факторов на заболеваемость сахарным диабетом 1-го типа;
  3. Проанализировать уровень смертности от сахарного диабета 1-го типа в Пензенской области.

Сахарный диабет 1-го типа – это заболевание, при котором иммунная система организма ошибочно атакует и разрушает  $\beta$ -клетки поджелудочной железы, вырабатывающие инсулин. В результате этого организм перестает производить достаточное количество данного гормона, что приводит к абсолютной инсулиновой недостаточности.

Среди самых распространённых возникновения развития СД1 отмечают генетическую предрасположенность, неблагоприятное воздействие окружающей среды, а также влияние на организм патогенных микробов. [2]

Наследственная предрасположенность к сахарному диабету 1-го типа определяется наличием определенных генов HLA-системы. Полиморфизм в различных локусах (например, в C12ORF30) повышает риск развития СД1 в 1,5 – 2 раза. Если у одного из родителей есть сахарный диабет 1 типа, ве-

роятность того, что у ребёнка разовьётся это заболевание, составляет около 5–10%. Если диабет 1 типа имеется у обоих родителей, риск возрастает до 30%. [3]

К неблагоприятным факторам окружающей среды относятся радиационное излучение, частое воздействие ультрафиолета, экологическое неблагополучие, а также влияние токсических веществ.

В основе патогенеза сахарного диабета лежит нарушение эндокринной функции поджелудочной железы. Она синтезирует ряд гормонов, в том числе инсулин. Он отвечает за доставку глюкозы в клетки организма. Если инсулина недостаточно или он отсутствует, клетки остаются без глюкозы и, соответственно, без основного энергетического ресурса.

Сахарный диабет 1 типа начинает проявляться на фоне разрушения автиммунным процессом  $\beta$ -клеток поджелудочной железы. Главным механизмом их гибели считается апоптоз – запрограммированная гибель клеток, генетически и энергетически контролируемый процесс. Апоптоз происходит воспалительной реакции в отличие от некроза: происходит сжатие клетки, формирование «апоптотических телец», окруженных мембраной, и их фагоцитоз окружающими клетками (в течение 15-120 минут). [4]

Для сахарного диабета 1-го типа характерны следующие классические симптомы:

- Полиурия (в некоторых случаях может достигать 8-9 л мочи в сутки, но как правило, не превышает 4-х литров). Гипергликемия приводит к усиленной экскреции глюкозы. В результате резко увеличивается диурез. Для детей младшего возраста характерно недержание мочи.
- Полидипсия. Потеря воды вызывает постоянную жажду.
- Полифагия (постоянное чувство голода), вызванная нарушением утилизации глюкозы и потерей глюкозы с мочой.

К другим клиническим признакам СД 1 типа относится сухость слизистых оболочек, особенно в ротовой полости, которая вызвана потерей воды. Также частым симптомом у детей является потеря веса. Главные причины – экскреция глюкозы (потеря калорий) и полиурия. Из-за сдвигов электролитного обмена у больных наблюдается повышенная утомляемость и слабость. У ребёнка с сахарным диабетом 1-го типа отмечается повышенная подверженность инфекционным заболеваниям.

При отсутствии соответствующего лечения, несоблюдении диетотерапии возникают осложнения сахарного диабета, чаще всего они встречаются уже во взрослом возрасте. Прежде всего, поражаются сосуды всех калибров, возникает атеросклероз, который приводит к нарушению кровообращения. Среди осложнений также выделяют диабетическую ретинопатию, нефропа-

тию и нейропатию. В большинстве случаев именно осложнения приводят к летальному исходу, а не инсулиновая недостаточность. [1]

По данным Пензастата на 1 июля 2025 года смертность населения от сахарного диабета за 5 лет выросла на 70,7%. Количество умерших по причине «сахарный диабет» в 2024 году 763 человека (61,7 на 100 тыс. человек), в 2023 году 705 человек (56,5 на 100 тыс. человек), в 2022 году 359 человек (28,6 на 100 тыс.), 351 и 27,4 на 100 тыс. в 2021 году, 471 и 36,3 на 100 тыс. в 2020 году.

Показатель смертности от СД 1 в 2023 году по сравнению с 2022 годом вырос на 2,0, в 2024 году показатель смертности от СД 1 вырос на 1,1 по сравнению с 2023 годом. Показатель смертности от СД 1 снизился с 2,3 в 2021 году до 1,1 в 2022 году (52,2%). Показатель в 2020 году был самый высокий показатель – 2,5 (32 человека).

Смертность среди женщин в 2024 году превысила показатель смертности у мужчин в 1,7 раза. По сравнению с 2023 годом смертность среди женщин превысила показатель смертности у мужчин в 2,4 раза. Смертность среди женщин с СД 1 типа (1,0- 7 человек) снизилась по сравнению с 2021 годом (2,7- 19 человек) в 2,7 раза, смертность среди мужчин также снизилась с 1,9 (11 человек) в 2021 году до 1,2 (7 человек) в 2022 году. [5]

### **Заключение**

Отмечается рост смертности населения с СД1 в Пензенской области, который в динамике за анализируемый 5-летний период показал увеличение смертности до 763 человек или 61,7 на 100 тыс. человек. Это свидетельствует о недостаточной эффективности текущих мер профилактики, диагностики и лечения.

С целью сокращения числа летальных исходов, связанных с сахарным диабетом 1-го типа, необходимо усилить профилактическую работу, расширить программы ранней диагностики и обеспечить доступность современных методов терапии. Важным аспектом является повышение уровня информированности населения о рисках и необходимости регулярных медицинских осмотров.

### **Список литературы**

1. Быков Ю.В. Принципы профилактики сахарного диабета 1-го типа в педиатрической практике // Российский педиатрический журнал – 2023. – №26. – С. 21-24.

2. Корнева К.Г., Стронгин Л.Г. и др. Потенциальные факторы риска развития сахарного диабета 1 типа // Сахарный диабет – 2022. – №3. – С. 256-266.

3. Лаптев Д. Н., Безлепкина О. В., Шешко Е. Л. и др. Основные эпидемиологические показатели сахарного диабета I типа у детей в Российской Федерации за 2014–2023 годы // Проблемы эндокринологии – 2024. – Т. 70. – №5. – С. 76–83.
4. Петеркова В.А., Шестакова М.В., Безлепкина О.Б. и др. Сахарный диабет I типа у детей // Сахарный диабет – 2020. – № 23 – С. 5-25.
5. Постановление правительства Пензенской области «Об утверждении региональной программы Пензенской области «Борьба с сахарным диабетом», 2025.
6. Соколовская В.В., Литвинова А.А. и др. Триггерная роль COVID-19 в развитии сахарного диабета I-го типа и кетоацидоза у ребёнка: случай из практики // Детские инфекции – 2023. – №22. – С. 56-60.
7. Сопрун Л.А., Утехин В. И., Гвоздецкий А.Н. и др. Антропогенные факторы окружающей среды как триггеры сахарного диабета I-го типа у детей // Педиатр – 2020. – Т. 11 – Вып. 2 – С. 58-64.

## **ВИРУС ПАПИЛЛОМЫ ЧЕЛОВЕКА У ПОДРОСТКОВ**

**Иванчикова Ольга Сергеевна**

*студент*

*Медицинский институт Пензенского государственного университета,  
г. Пенза, Россия*

**Тимошина Наталья Сергеевна**

*студент*

*Медицинский институт Пензенского государственного университета,  
г. Пенза, Россия*

**Корсакова Мария Александровна**

*студент*

*Медицинский институт Пензенского государственного университета,  
г. Пенза, Россия*

**Чернышкова Дарья Романовна**

*студент*

*Медицинский институт Пензенского государственного университета,  
г. Пенза, Россия*

**Юскаева Гюльсем Исскандяровна**

*кандидат биологических наук, доцент*

*Медицинский институт Пензенского государственного университета,  
г. Пенза, Россия*

**Аннотация.** В текущей статье представлен обзор медицинской литературы, содержащей данные о современном представлении проблемы вируса папилломы человека у подростков с точки зрения общественного здоровья и здравоохранения.

**Ключевые слова:** Вирус папилломы человека, вакцинопрофилактика, рак шейки матки, подростки, ВПЧ-ассоциированные заболевания.

**Цель работы:** Проведение комплексного анализа современно научной литературы, посвященной проблеме вируса папилломы человека (ВПЧ) у подростков, выделение ключевых моментов профилактики, скрининга данного заболевания, обсуждение международной практики борьбы с ВПЧ.

**Задачи:**

1. Проанализировать эпидемиологические особенности ВПЧ – инфекции в подростковой популяции
2. Изучить современные данные об эффективности и безопасности вакцинопрофилактики ВПЧ
3. Выявить особенности ведения подростков с выявленной ВПЧ инфекцией.

**Введение**

Вирус папилломы человека (ВПЧ) в настоящее время признан одной из наиболее распространенных инфекций, передаваемых половым путем, в глобальном масштабе. По оценкам международных исследований, до 80% сексуально активного населения инфицируются ВПЧ один или несколько раз в течение жизни, что делает эту проблему исключительно актуальной для общественного здравоохранения [2,4].

Особую медико-социальную значимость ВПЧ-инфекция приобретает в подростковой популяции. Согласно эпидемиологическим данным, пик инфицирования приходится на возраст до 25 лет, что непосредственно связывает проблему с подростковым и молодым взрослым возрастом. В Российской Федерации молодежь составляет 32,8% от общей численности населения, при этом девушки 15-17 лет, являющиеся реальным репродуктивным резервом страны, составляют 4,7% в структуре женского населения. Из более чем 200 идентифицированных типов ВПЧ около 15 классифицируются как типы высокого онкогенного риска. Длительная персистенция этих типов вируса (в первую очередь 16 и 18) является установленной причиной развития рака шейки матки, а также других аногенитальных раков и рака ротовоглотки. Ежегодно в мире выявляется более 330 тысяч больных раком шейки матки, а в России отмечается постепенный рост заболеваемости со среднегодовым приростом 2,2% [10,12].

В контексте подростковой популяции важной особенностью является транзиторный характер большинства ВПЧ-инфекций, при котором в 80-90% случаев в течение 1-2 лет происходит самостоятельная элиминация вируса благодаря активности иммунной системы. Однако именно у подростков часто наблюдается раннее начало половой жизни и наличие поведенческих факторов риска, что в сочетании с биологическими особенностями организма в этот период создает уникальные задачи для профилактики этой инфекции [15].

Современная стратегия борьбы с ВПЧ-ассоциированными заболеваниями включает три основных компонента: первичную профилактику (вакцинопрофилактика), вторичную профилактику (скрининг) и санитарное просвещение. Мировой опыт демонстрирует высокую эффективность вакцинопрофилактики, однако в Российской Федерации вакцинация против ВПЧ не входит в Национальный календарь прививок на федеральном уровне и реализуется лишь в отдельных субъектах Федерации [7,11,13].

### **Эпидемиология и трансформация рисков ВПЧ-инфекции**

ВПЧ-инфекция признана наиболее распространенной инфекцией, передаваемой половым путем, в глобальном масштабе. Согласно оценкам, до 80% сексуально активного населения инфицируются ВПЧ один или несколько раз в течение жизни. Пик инфицирования приходится на подростковый и молодой взрослый возраст - до 25 лет, что непосредственно связывает проблему с данной возрастной категорией. Особую значимость эта проблема приобретает в контексте наблюдаемого во всем мире снижения возраста сексуального дебюта. Биологические особенности подросткового организма, в частности, незавершенность процессов созревания эпителия шейки матки у девочек, повышают уязвимость к персистенции вируса и развитию предраковых состояний [2,5].

ВПЧ-ассоциированные заболевания продолжают оставаться значимым бременем для систем здравоохранения во всем мире. Ежегодно регистрируется более 330 000 новых случаев рака шейки матки, причем это заболевание занимает второе место по распространенности среди женщин в развивающихся регионах. В Российской Федерации отмечается устойчивый рост заболеваемости раком шейки матки со среднегодовым приростом 2,2% и общим приростом 23,5% за последнее десятилетие. Тревожной тенденцией является омоложение контингента больных раком шейки матки. В Тверской области, например, это заболевание занимает первое место в структуре онкологической патологии у женщин до 30 лет. Летальность при этом достигает 17% уже на первом году установления диагноза, что свидетельствует о поздней выявляемости и агрессивном течении заболевания в молодом возрасте [10,16].

Современные эпидемиологические исследования демонстрируют значительную трансформацию рисков, связанных с ВПЧ-инфекцией. Если традиционно основное внимание уделялось раку шейки матки, то в последнее десятилетие отмечается значительный рост заболеваемости ВПЧ-ассоциированным раком ротоглотки, особенно среди мужчин [12].

Мировые данные показывают, что ежегодно 570 000 случаев заболеваний у женщин и 60 000 у мужчин ассоциированы с ВПЧ, что составляет 8,6% и 0,8% соответственно от всех случаев рака в мире. В Италии, например, регистрируется 2 918 новых случаев рака шейки матки, 2 065 случаев рака

---

головы и шеи у лиц обоего пола и около 100 новых случаев рака полового члена в год [2,17].

Эпидемиологическая ситуация значительно варьирует в разных регионах. Распространенность ВПЧ 16 типа, наиболее онкогенного типа, оценивается в 2,6% (95% ДИ: 2,5-2,8) на всех континентах, в то время как ВПЧ 18 типа более распространен в Европе, Центральной и Южной Америке. В молодых возрастных группах распространенность ВПЧ-инфекции достигает 30% во всех регионах, кроме Азии. В России наблюдается значительная региональная вариабельность как в уровне заболеваемости ВПЧ-ассоциированной патологией, так и в подходах к ее профилактике. В тех субъектах Федерации, где реализуются программы вакцинопрофилактики (Московская, Свердловская, Смоленская, Томская области), отмечается положительная динамика в снижении заболеваемости аногенитальными кондиломами и предраковыми поражениями [7,10,16].

Социальная значимость проблемы ВПЧ-инфекции у подростков напрямую связана с демографической ситуацией. Поскольку современные подростки находятся на пороге репродуктивного возраста, их сексуальное поведение, репродуктивные установки и состояние здоровья будут определять демографические показатели страны в ближайшие 10-15 лет [8].

### **Вакцинопрофилактика и тактика ведения подростков с ВПЧ-инфекцией**

Разработка и совершенствование ВПЧ-вакцин прошли несколько этапов - от первоначальных бивалентных (16, 18 типы) и квадравалентных (6, 11, 16, 18 типы) препаратов до современной 9-валентной вакцины, включающей дополнительные онкогенные типы 31, 33, 45, 52, 58. Европейское агентство по лекарственным средствам одобрило применение 9-валентной вакцины в июне 2015 года, что значительно расширило спектр профилактируемых заболеваний.

Клинические исследования демонстрируют исключительную эффективность вакцин. Крупное исследование III фазы с участием 14 000 женщин показало, что только 1 из 6 016 женщин, вакцинированных тремя дозами 9-валентной вакцины, развила заболевания, связанные с ВПЧ типов 31, 33, 45, 52 и 58, по сравнению с 30 из 6 017 женщин, вакцинированных квадравалентной вакциной. Эпидемиологические исследования в Европе показывают, что 9-валентная вакцина может обеспечить защиту от дополнительных 19% случаев рака шейки матки по сравнению с квадравалентной вакциной [3,11].

Практический опыт реализации программ вакцинопрофилактики в различных регионах подтверждает высокую эффективность вакцин. В Московской области в рамках программы “Вакцинопрофилактика онкологических заболеваний, вызываемых вирусом папилломы человека” за 4 года (2008-

2012 гг.) достигнуто снижение заболеваемости аногенитальными кондиломами у девочек до 17 лет на 42% по сравнению с периодом до вакцинации. При этом охват вакцинацией составил более 80% целевой популяции [7].

Долгосрочные наблюдения демонстрируют устойчивость защиты. Исследования показывают сохранение эффективного иммунного ответа как минимум в течение 10-12 лет без признаков его ослабления. Современные рекомендации предусматривают использование двухдозовой схемы для лиц младше 15 лет, что доказано обеспечивает сопоставимый иммунный ответ с трехдозовой схемой. За годы применения во всем мире введено более 270 миллионов доз, что позволило накопить обширные данные о безопасности. Наиболее частыми нежелательными явлениями являются местные реакции в месте инъекции и головная боль, которые обычно имеют легкую или умеренную интенсивность [3,9,11].

Специальные исследования, посвященные оценке влияния вакцинации на репродуктивное здоровье, не выявили негативных последствий. Прогнозное наблюдение за вакцинированными девочками-подростками не показало статистически значимых отклонений в состоянии менструальной функции, гормонального статуса и ультразвуковых параметров органов малого таза.

Тактика ведения подростков с ВПЧ-инфекцией принципиально отличается от подходов, применяемых у взрослых женщин, что обусловлено особенностями течения инфекции в данной возрастной группе. У подростков наблюдается высокая частота транзиторных ВПЧ-инфекций - до 80-90% случаев инфицирования разрешаются самостоятельно в течение 12-24 месяцев благодаря эффективной работе иммунной системы. Этот феномен объясняется активностью клеточно-опосредованного иммунного ответа, в частности, цитотоксических Т-лимфоцитов и Т-хелперов 1-го типа (Th1). Персистенция вируса происходит лишь в незначительном проценте случаев, обычно при наличии факторов риска или нарушений иммунного ответа [15,17].

Современные российские и международные клинические рекомендации единодушно не рекомендуют проведение скрининга рака шейки матки (цитологическое исследование или ВПЧ-тестирование) у подростков младше 21 год. Эта позиция основана на крайне низкий риск развития инвазивного рака - заболеваемость инвазивным раком шейки матки у подростков составляет менее 1 случая на 1 000 000, высокой частоте спонтанного разрешения предраковых поражений низкой степени [4].

В случаях, когда патология шейки матки выявляется случайно (например, при обследовании по другим показаниям), применяются консервативные подходы. При легких дисплазиях (CIN 1) рекомендуется наблюдение с повторным обследованием через 12 месяцев. При персистирующих и ре-

цидивирующих формах ВПЧ-инфекции может рассматриваться применение иммунотропных препаратов (например, инозина пранобекс) в составе комплексной терапии. Механизм действия направлен на преодоление состояния иммунной толерантности к вирусу и усиление собственного иммунного ответа организма [15,17].

Важно подчеркнуть, что вакцинированные подростки также нуждаются в последующем скрининге, хотя и в более позднем возрасте. Исследования показывают, что у вакцинированных женщин реже выявляются патологические изменения, но программа скрининга должна начинаться в возрасте 21 года независимо от статуса вакцинации [6].

### **Фундаментальная роль санитарного просвещения**

Санитарное просвещение в области профилактики ВПЧ-инфекции представляет собой критически важный компонент комплексной стратегии борьбы с заболеваниями, ассоциированными с вирусом папилломы человека. Его значимость определяется необходимостью преодоления глубоких пробелов в знаниях населения и формирования ответственного отношения к репродуктивному здоровью [13].

Исследования демонстрируют тревожный уровень недостаточной информированности подростков о ВПЧ и связанных с ним рисках. Согласно некоторым данным только 32% опрошенных подростков связывают ВПЧ с онкологическими заболеваниями, и лишь 26% были осведомлены о существовании вакцинации против ВПЧ. При этом 83,3% респондентов правильно идентифицировали половой путь передачи инфекции, что свидетельствует о фрагментарности и поверхностности знаний.

Медицинские работники первичного звена играют ключевую роль в санитарном просвещении. Исследования подчеркивают необходимость усиления профилактического компонента в образовании будущих медицинских работников. Средний медицинский персонал должен проводить санитарно-просветительскую работу как среди подростков, так и среди их родителей и педагогов, уделяя особое внимание первичной профилактике [8].

Сложность санитарно-просветительской работы связана с значительным влиянием средств массовой информации и сети интернет на формирование мировоззрения и полового поведения подростков. Интернет содержит множество недостоверных источников информации. Опыт успешных регионов показывает, что вакцинации успешно шли в регионах, где было задействовано Министерство образования и проводилась просветительская работа в школах, местных СМИ [7].

### **Заключение**

Решение проблемы ВПЧ-инфекции у подростков требует интегрированного, многоуровневого подхода, сочетающего доступную и эффективную вакцинопрофилактику, научно обоснованную тактику ведения пациентов

и комплексное санитарное просвещение. Особую актуальность приобретает необходимость преодоления системных барьеров, препятствующих достижению высокого охвата вакцинацией. Ключевым шагом должно стать включение вакцинации против ВПЧ в Национальный календарь профилактических прививок Российской Федерации на федеральном уровне, что обеспечит равную доступность этой эффективной профилактической меры для всех подростков вне зависимости от региона проживания [4,7,11,14].

### **Список литературы**

1. Fukushima W. et al. A nationwide epidemiological survey of adolescent patients with diverse symptoms similar to those following human papillomavirus vaccination: background prevalence and incidence for considering vaccine safety in Japan //Journal of epidemiology. – 2022. – Т. 32. – №. 1. – С. 34-43.
2. Lewis R. M. et al. Estimated prevalence and incidence of disease-associated human papillomavirus types among 15-to 59-year-olds in the United States // Sexually transmitted diseases. – 2021. – Т. 48. – №. 4. – С. 273-277.
3. Markowitz L. E. et al. Ten years of human papillomavirus vaccination in the United States. Acad Pediatr 2018; 18 (2S): S3–10 [Электронный ресурс].
4. Баранов А. А. и др. Вакцинопрофилактика заболеваний, вызванных вирусом папилломы человека. – 2016.
5. Бахтияров К. Р., Щукина А. С. Вирус папилломы человека-современный взгляд на проблему //Медико-фармацевтический журнал «Пульс». – 2017. – Т. 19. – №. 12. – С. 37-42.
6. Белоцерковцева Л. Д., Майер Ю. И., Конарева И. Г. Результаты цервикального скрининга у женщин, вакцинированных в подростковом возрасте против вируса папилломы человека в рамках окружной программы вакцинопрофилактики ВПЧ-инфекции в ХМАО-Югре //Репродуктивное здоровье детей и подростков. – 2025. – Т. 21. – №. 3 (108). – С. 5-16.
7. Зароченцева Н. В., Белая Ю. М. Опыт реализации программ первичной профилактики заболеваний, вызываемых вирусом папилломы человека, в Московской области //Эпидемиология и вакцинопрофилактика. – 2017. – Т. 16. – №. 6 (97). – С. 59-65.
8. Заяц В. А., Шедь К. В. Определение актуальности темы сохранения репродуктивного здоровья подростков на основе оценки их объективного и субъективного уровня знаний в теме инфекции, вызванной вирусом папилломы человека, и методах его профилактики //Достижения современного сестринского движения и практики. – 2022. – С. 90-92.
9. Карабченко И. В. и др. Состояние репродуктивной системы девочек-подростков после вакцинации против вируса папилломы

человека с использованием четырехвалентной вакцины //Педиатрическая фармакология. – 2024. – Т. 21. – №. 2. – С. 111-118.

10. Костин А. А. и др. Анализ статистических данных о злокачественных новообразованиях, ассоциированных с вирусом папилломы человека // Research'n Practical Medicine Journal. – 2016. – Т. 3. – №. 1. – С. 66-78.

11. Кумыкова З. Х. и др. Вакцинация против вируса папилломы человека: современные данные //Репродуктивное здоровье детей и подростков. – 2021. – Т. 17. – №. 4. – С. 6-19.

12. Певзнер А. М. и др. Вирус папилломы человека и злокачественные новообразования головы и шеи (обзор литературы) //Онкологи головы и шеи. – 2019. – Т. 9. – №. 2. – С. 43-52.

13. Покровская И. В., Блохина Т. А. ОСОБЕННОСТИ ОРГАНИЗАЦИИ ВАКЦИНАЦИИ ПОДРОСТКОВ ОТ ВИРУСА ПАПИЛЛОМЫ ЧЕЛОВЕКА //Современные аспекты преподавания профилактики заболеваний и укрепления здоровья населения. – 2018. – С. 136-140.

14. Рудакова А. В. и др. Фармакоэкономические аспекты вакцинации против папилломавирусной инфекции девочек-подростков в Российской Федерации //Педиатрическая фармакология. – 2017. – Т. 14. – №. 6. – С. 494-500.

15. Тихомиров А. Л., Сарсания С. И., Филатова Г. А. Вирус папилломы человека: от понимания иммунопатогенеза к рациональной тактике ведения //Гинекология. – 2018. – Т. 20. – №. 3. – С. 5-11.

16. Чернобровкина А. Е. и др. Вакцинопрофилактика онкологических заболеваний, обусловленных вирусом папилломы человека, в северо-западном федеральном округе //Медицина и организация здравоохранения. – 2022. – Т. 7. – №. 2. – С. 37-45.

17. Шахтахтинская Ф. Ч. и др. Вирус папилломы человека. Профилактика ВПЧ-ассоциированных заболеваний //Педиатрическая фармакология. – 2015. – Т. 12. – №. 1. – С. 74-78.

**IMPAIRED DENTAL HEALTH IN CHILDREN EXPOSED TO  
PASSIVE SMOKING AND THE ROLE OF THIS CONDITION IN  
THE DEVELOPMENT OF NON-COMMUNICABLE DISEASES  
THAT ADVERSELY AFFECT METABOLIC PROCESSES IN THE  
CHILD'S BODY**

**Babayev Parviz Nizami**

*Assistant*

**Mamedov Fuad Fakhreddin**

*Doctor of Philosophy*

**Mirgadi Samira Faik**

*Assistant*

**Gabibova Kamala Gumbat**

*Assistant*

*Azerbaijan Medical University, Baku, Azerbaijan*

**Abstract.** Tobacco smoke and its components weaken the immune system in the oral cavity, making teeth and gums more vulnerable to bacterial infections and contributing to the development of persistent bad breath associated with bacterial activity in the oral cavity. Although plaque from secondhand smoke is not as pronounced as from direct smoking, the smoke itself can impair the appearance of enamel and contribute to yellowing. Oral tobacco smoke destroys the integrity of enamel and kills beneficial microorganisms. Temperature fluctuations lead to the formation of microcracks on the tooth surface. Secondhand smoke should be considered a risk factor for the development of caries in primary teeth in children. Statistical analysis of the study data revealed that the average number of affected surfaces of primary teeth per 3-year-old child in families where the father smokes is almost twice as high as in families with non-smoking fathers.

**Keywords:** *smoking, eating behavior, dental care, secondhand smoke, oral cavity, non-communicable diseases*

Smoking is currently a significant risk factor for oral diseases regardless of age [1-4]. Tobacco addiction has a particularly negative impact on the health of young people. Tobacco smoke and its components weaken the oral immune system,

making teeth and gums more vulnerable to bacterial infections and contributing to the development of persistent bad breath associated with bacterial activity in the oral cavity [5]. Although plaque from passive smoking is not as pronounced as that from direct smoking, the smoke itself can impair the appearance of enamel and contribute to yellowing. Oral tobacco smoke destroys the integrity of enamel and kills beneficial microorganisms. Temperature fluctuations lead to the formation of microcracks on the tooth surface [6,7]. Toxic substances easily penetrate the porous structure of enamel, settling in a dense layer at the very depths. Bacteria, soot, and tar penetrate through small cracks. Teeth lose their whiteness, becoming yellow or dark brown. Black spots subsequently form at the roots, which contribute to the development of diseases such as caries, pulpitis, gingivitis, granuloma, periodontitis, periodontal disease, and advanced periodontitis [8]. Nicotine constricts blood vessels and capillaries, weakening gum tissue. The toxic composition of cigarettes dries, dehydrates, and reduces the necessary oxygen supply. Oral tissue atrophies, peels, and ceases to protect the tooth root. Infection penetrates the weakened areas, causing gum ulcers. This is why heavy smokers often experience tooth decay and loss, forcing them to resort to subsequent implantation. Passive smoking is a risk factor for the development of dental caries in children [9,10]. Statistical analysis of the study data revealed that the mean incidence of affected primary tooth surfaces per 3-year-old child in families where the father smokes is almost twice that of families with nonsmoking fathers. Maternal smoking leads to an average incidence of dental caries in children of these families that is 2.2 times higher than in children of nonsmoking mothers [11-14]. Children with dental caries may experience significant difficulty eating, often turning to palatable, high-calorie carbonated drinks, soft baked goods, and easily chewable chips, crackers, corn sticks, and juices, despite healthy homemade meals. This indicates eating disorders. They may also experience stress and pain, speech, and sleep disturbances, and may even smile less. This, in turn, impacts their development, well-being, family and social life, and school performance, which fundamentally negatively impacts their anthropometric parameters [15]. Obesity is currently reaching epidemic proportions. Approximately 50% of the adult population has a body mass index (BMI) above the ideal level. Reducing excess weight and maintaining it at a healthy level is a challenging but achievable task. It is important to monitor the quantity and composition of food and physical activity. It is recommended to lose weight gradually, avoiding fad diets, as they only bring temporary success. Diet should be balanced, low-calorie, varied, familiar, and accessible, and eating should be enjoyable [16,17]. Teeth are closely linked to internal organs. A diseased tooth can negatively impact hearing and vision, cause allergic reactions, and even excessive hair loss. In addition, oral diseases can provoke the development of rheumatism, kidney disease, and heart

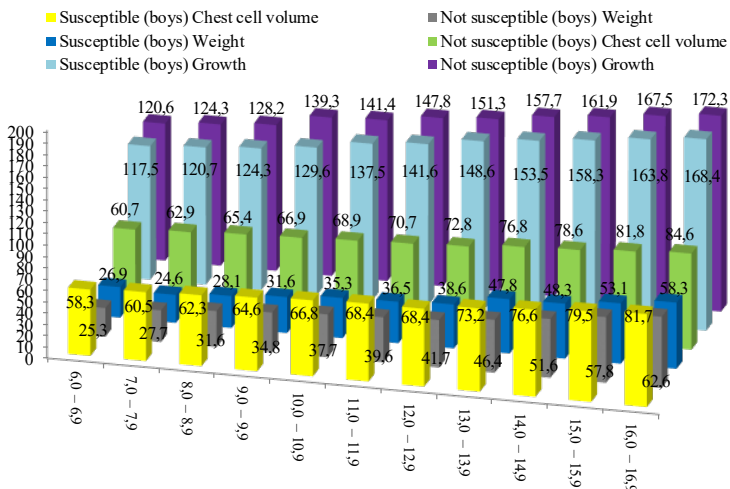
disease [18]. Thus, the four and five of the upper jaw are associated with the health of the intestines, the lower - the stomach and mammary glands; the six and seven of the lower jaw, on the contrary, are responsible for the intestines, while the same «numbers» in the upper jaw are responsible for the esophagus, stomach, and mammary glands, the latter teeth are associated with heart disease, the incisors and canines are located on the meridians associated with the kidneys, liver, and gallbladder, the meridians from the premolars and molars are associated with the large intestine and stomach [19-22]. They signal problems with the lymphatic system and reproductive organs. Modern psychologists note that toothache can be caused by a malfunction of the nervous system. So, if a person experiences a constant aching toothache, then perhaps the cause of the disease is suppressed negative desires, such as hatred and feelings of anger towards someone or something [23,24]. A dental infection can lead to memory loss if it spreads to the brain. When decay reaches the root of the tooth, the infection threatens the nerves and blood vessels that are directly connected to the brain. According to the WHO, a full mouth of teeth reduces the risk of developing dementia in old age. Research shows that severe tooth loss and dementia are linked. If you have lost many teeth over the years, you may have an increased risk of developing this brain disease [25-28]. Scientists have also proven that vitamin D deficiency alters the concentration of hydrogen ions, which pose a risk to enamel, since at a pH below a critical value (around 5.5), crystals can dissolve—enamel demineralization. A deficiency of this cofactor provokes the development of certain dental problems: a slowdown in tooth eruption and an unstable enamel structure are recorded, leading to an increased risk of caries [29-33]. It is also worth considering the hereditary factor, which is of no small importance in the development of dental pathology. Heredity can transmit a predisposition to dental caries, pathological tooth wear, various malocclusions, delayed tooth eruption, and hyperdontia. Genetic predisposition to dental caries is most often explained by the structural features of tooth enamel [34,35]. A child's enamel may be soft and porous, which facilitates the rapid penetration of bacteria and the active development of caries. The predominant factor causing dental disease in children is not so much genetics as failure to follow specialist recommendations, inflammatory and infectious diseases during pregnancy, and unhealthy habits, such as smoking [36,37-40]. A child's teeth begin to form in the womb, so the mother's health and the influence of harmful factors on her body can affect the baby's baby teeth. With age, taking into account the characteristics of the aging body, such as decreased immunity, changes in the composition of tissues and bones, as well as other age-related pathologies, it is necessary to carefully monitor the condition of the oral cavity, the psycho-emotional state of the body, and take measures to completely abandon bad habits, starting from adolescence [41-45].

**Purpose of the work.** To study the dental status of young people exposed to passive smoking as a result of the occurrence of various types of non-communicable diseases.

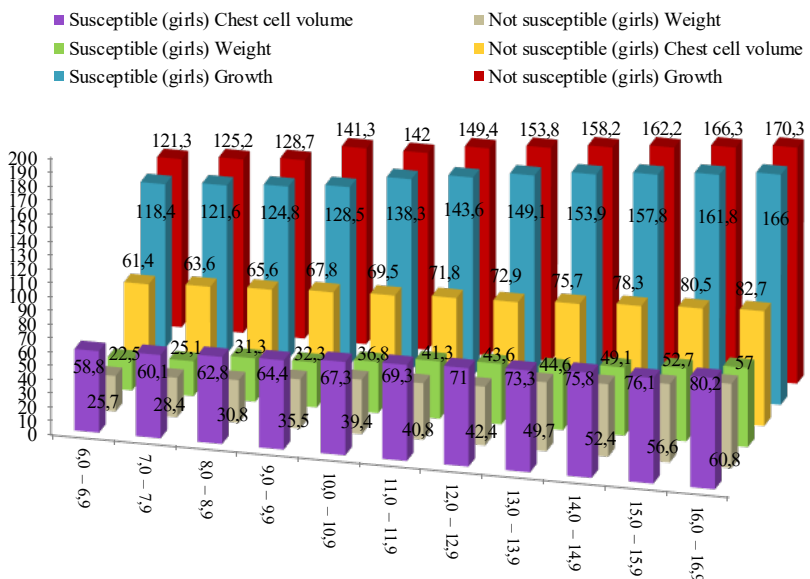
**Materials and methods.** Key physical parameters: height, weight, and chest circumference. We decided to determine height, weight, and chest circumference measurements by dividing schoolchildren into two groups—those exposed to passive smoking and those not. This study was conducted as part of a study examining the impact of family passive smoking on children's health and academic performance. We developed a questionnaire containing seven sets of questions on various social and hygienic aspects of passive smoking. The questionnaires were divided into two parts: one for students and the other for their parents. The study was conducted in five city secondary schools (Yasamal, Narimanov, and Sabunchi districts). To eliminate bias, we proceeded as follows. We decided to conduct and compare anthropometric measurements in a class of five children whose medical records were anonymously examined at district clinics for illnesses over the course of a year, as well as five children from the same class, randomly selected. Only fully completed questionnaires were included in the study. A total of 6,000 questionnaires were distributed to schoolchildren. Of these, 2,363 fully completed questionnaires contained responses from 3,895 parents—1,885 fathers and 2,010 mothers. Each of the 2,363 questionnaires represented one schoolchild, meaning that 2,363 families were surveyed. Sixty-seven families also had other children, either high school graduates or preschoolers. Depending on smoking intensity, all families were divided into two groups: 818 families (tobacco-dependent) and 1,545 families (tobacco-nondependent, i.e., the control group). Based on passive smoking intensity, the tobacco-dependent group of families was divided into: Group 1 – 204 families, with mild tobacco dependence, less than 5 cigarettes per day; Group 2 – 252 families, with moderate tobacco dependence, 5-15 cigarettes per day; and Group 3 – 362 families, with parents who smoked heavily, with severe tobacco dependence, more than 15 cigarettes per day. Measurements were conducted separately for boys and girls. Observations were conducted in the most anthropometrically significant age groups of schoolchildren. Each anthropometric indicator – weight, height, and chest circumference – was analyzed separately and, where necessary, compared with others.

**Results and discussion.** Children's health is of significant socioeconomic importance and serves as an indicator of the sanitary and epidemiological well-being of the population. It is also important to assess biological age, not chronological age, since children of the same chronological age may be at different stages of morphofunctional development of their organs and systems. Biological age can be assessed using anthropometric indicators and dental maturity. It is known that a single indicator of biological development cannot objectively characterize

the maturity of a child's body as a whole, since each organism, whether adult or child, has its own individual developmental pace. Biological maturity and overall physical development in children are determined by the timing of tooth eruption and their number. The advantage of this method is its simplicity, but the age periods when such determination is possible are limited: primary teeth appear between 6 months and 2–2.5 years, and they are replaced by permanent teeth between 6 and 13 years. According to Fig. 1, the height of boys in Group 1 is 2.7–9.7 cm shorter than that of Group 2. Weight is an equally important indicator of physical development in schoolchildren. Specifically, schoolchildren in Group 1 weighed even more than those in Group 2 in some age groups—1.4–1.6 kg more for boys. Schoolchildren exposed to passive smoking are not physically active and lead a sedentary lifestyle, resulting in weight gain. In general, boys in Group 1 weigh 2.4–4.7 kg less than those in Group 2. For example, the chest circumference of boys in Group 1 is 2.0–3.6 cm less than that of similar boys in Group 2. We have already noted that height is a systemic indicator of normal body function and its dynamic, consistent development. Therefore, even a slight growth retardation, which is facilitated by passive smoking, indicates poor body functioning. On average, height is shorter among boys by  $4.39 \pm 0.26$  cm. On average, boys weigh  $2.52 \pm 0.19$  kg more. The increase in body weight leads to a parallel increase in chest circumference - it is greater in boys by  $2.53 \pm 0.16$  cm. According to Fig. 2, the height of girls in the 1st group, compared with the 2nd group, is 2.8–5.8 cm less. In particular, schoolchildren in the 1st group in some age groups even weighed more than schoolchildren in the 2nd group - for girls by 0.5–1.2 kg. In general, in the 1st group, girls weigh 2.6–5.3 kg less than schoolchildren in the 2nd group. Thus, in Group 1, the chest circumference of girls is 1.9–4.4 cm smaller than that of similar girls in Group 2. Height is shorter, on average, by  $4.39 \pm 0.26$  cm among girls. On average, girls weigh  $2.56 \pm 0.18$  kg more. Increased body weight also leads to a parallel increase in chest circumference – it is greater in girls by  $2.79 \pm 0.13$  cm.



**Figure 1.** Anthropometric indicators of boys and their comparative assessment



**Figure 2.** Anthropometric indicators of girls and their comparative assessment

**Conclusion.** Our study revealed low awareness of oral hygiene, poor nutritional standards, and weak motivation to maintain health. The population's level of hygiene and motivation to maintain and improve health is one of the most important risk factors for the high prevalence of dental caries in the population. This is largely due to the fact that a significant portion of students and their parents do not consider oral diseases important and do not take oral health care seriously. In addition to its local impact, the level of hygiene and sanitation influences the nutritional composition of food (deficiency or imbalance of nutrient intake) and eating habits (chewing laziness). These factors, in turn, reduce the body's resistance and oral defense mechanisms, disrupt the formation of the enamel protein matrix, and contribute to low enamel caries resistance due to disrupted mineralization processes. Thus, the high incidence of dental morbidity in children with decompensated caries is closely linked to the level of oral hygiene awareness among schoolchildren, as well as the motivation of children and their parents to maintain and improve their health. Therefore, it is essential to foster a belief among parents in the importance of maintaining a healthy lifestyle for their children through prevention and maintenance. The development of school health programs is usually preceded by identifying the prevalence of health problems among children living in a given area or community. This allows us to determine the necessary health services and how they can be provided. Furthermore, it is necessary to identify those in the community with sufficient competence and resources to contribute to the development of school health services. Schools are an accessible and suitable partner in this area of activity. Dentists should devote considerable attention to explaining to patients (both adults and children) the role, importance, and necessity of following healthy lifestyle principles in general and oral health in particular. Developing motivation in adults and children to maintain and improve their health will be an important step toward improving their quality of life and their level of health.

## Literature

1. Souza ES, Crippa JA, Pasian SR, Martinez JA. University of São Paulo Reasons for Smoking Scale: a new tool for the evaluation of smoking motivation. *J Bras Pneumol.* 2010;36(6):768-778.
2. Kolosov V.P., Manakov L.G. Respiratory health of the population and the main directions of optimization of pulmonary care in the Far Eastern Federal District. *Bulletin of Physiology and Pathology of Respiration.* 2011;(40):9-15.
3. Kozlov V.A., Golenkov A.V., Sapozhnikov S.P. Formation of harmful minor impurities during simultaneous alcohol consumption and tobacco smoking. *Narcology.* 2014;3:74-80.

4. Kuprina I.V., Kiseleva E.A., Grishkyan T.M., Grishkyan A.M., Kiseleva K.S., Kiselev D.S. *The influence of parental smoking on the incidence of caries in primary teeth in children.* — Clinical dentistry. — 2020; 3 (95): 132—135. DOI: 10.37988/1811-153X\_2020\_3\_132.
5. Kelmanson I. *Maternal smoking during pregnancy as a risk factor for fetal and child development.* — Doctor. — 2017; 8: 2–6. eLIBRARY ID: 29923186
6. Li L.F., Chan R.L.Y., Lu L., Shen J., Zhang L., Wu W.K.K., Wang L., Hu T., Li M.X., Cho C.H. *Cigarette smoking and gastrointestinal diseases: the causal relationship and underlying molecular mechanisms (review).* — Int J Mol Med. — 2014; 34 (2): 372—80. PMID: 24859303
7. Vyshivanyuk, V. A. *Prevention of microcirculation disorders in periodontal tissues in smokers with endothelial dysfunction: Abstract of a PhD thesis.* — Moscow, 2012. — 24 p.
8. Golub, A.A. *The influence of smoking and the presence of somatic pathology on the condition of the oral mucosa / A.A. Golub, T.S. Chemikosova, O.A. Gulyaeva // Periodontology.* - 2011. - V.16, No. 3. - P.66-69.
9. Orekhova, L. Yu. *Clinical features and trends in changes in the periodontal status of smokers / L. Yu. Orekhova, M. V. Osipova // Periodontology.* - 2011. - No. 1 (58). - P. 47-50.
10. Yanushevich, O. O. *Methods of prevention of chronic periodontitis in nicotine addiction at a young age from the point of view of hemodynamic disorders in the periodontium / O. O. Yanushevich [et al.] // Periodontology.* - 2012. - No. 2. - P. 67-72.
11. Anisimova A. V. *Modern problems of formation of health of children and adolescents /A. V. Anisimova, N. K. Perevoshchikova //Mother and child in Kuzbass.* - 2013. - No. 2. - P. 8-14.
12. Bogomolova E. S. *Physical development of modern schoolchildren of Nizhny Novgorod // Medical almanac.* - 2012. - No. 3. - P. 193-198.
13. Trifonova, L. V. *Approaches to the implementation of health-saving technologies in municipal budgetary preschool educational institutions//Economy and Society.* - 2014. - No. 4 (13). - P. 384-390.
14. T. Zubaydullaeva, M. A., Rakhimberdiev, R. A. *Caries in young children: epidemiology, etiology, prevention, treatment // Achievements of science and education.* - 2020. - No. 4 (58). - P. 79-87.
15. Yuryev, V. V., Khomich, M. M., Edleeva, A. G. *Morphofunctional criteria for determining the level of biological maturity of a child // Proceedings of the IV Russian Forum “Children’s Health: Prevention of Socially Significant Diseases”.* - St. Petersburg. - 2010. - P. 80-82.
16. Krasnova E.E., Kudinova E.G., Ivanova I.I. et al. *Hereditary and multi-factorial disorders of connective tissue in children: diagnostic algorithms. Management tactics : the project grew. recommendations: developed by the*

*Committee of experts of the pediatric group “connective tissue dysplasia” in ROS. science. about therapists. Med. vestn. Kavkaza. 2015; 10(1): 38.*

17. Monangi N., Slaughter J.L., Dawodu A. et al. Vitamin D status of early preterm infants and the effects of vitamin D intake during hospital stay // Arch. Dis. Child. Fetal Neonatal Ed. 2014; 99(2): 166–168.

18. Bushueva T.V., Borovik T.E., Zvonkova N.G., et al. The role of nutrition in providing vitamin D // Practical Medicine. 2017; 106(5): 14–18.

19. Vahlova I.V. Vitamin D status and the effectiveness of its prophylactic administration in young children // Practical Medicine. 2017; 106(5): 31–36.

20. Zakirova A.M., Maltsev S.V. Vitamin D status of children from the medical and social risk group // Practical Medicine. 2017; 106(5): 36–40.

21. National Center for Chronic Disease Prevention and Health Promotion (US) Office on Smoking and Health. Preventing Tobacco Use Among Youth and Young Adults: A Report of the Surgeon General. Atlanta (GA): Centers for Disease Control and Prevention (US); 2012. Available from: <https://www.ncbi.nlm.nih.gov/books/NBK99237/>.

22. Lee KS, Lee SG, Kim E-K Jin, Jin HJ, Im SU, Lee HK, Merchant AT, Song KB, Choi YH Metabolic syndrome parameters in adolescents may be determinants for the future periodontal diseases. *J Clin Periodontol.* 2015;42(2):105-112. <https://doi.org/10.1111/jcpe.12338>

23. Martinchik A.N., Baturin A.K., Keshabyants E.E., Fatyanova L.N., Semenova Ya.A., Bazarova L.B., Ustinova Yu.V. Analysis of actual nutrition of children and adolescents in Russia aged 3 to 19 years. *Nutrition issues.* 2017;86(4):50-60.

24. Martin-Cabezas R, Seelam N, Petit C, Agossa K, Gaertner S, Tenenbaum H et al. Association between periodontitis and arterial hypertension: A systematic review and meta-analysis. *Am Heart J.* 2016;180:98-112. <https://doi.org/10.1016/j.ahj.2016.07.018>.

25. Lafon A, Pereira B, Dufour T, Rigoubye V, Giroud M, Bejot Y, Tubert-Jeannin S. Periodontal disease and stroke: a meta-analysis of cohort studies. *Eur J Neurol.* 2014;21(9):1155-1161. <https://doi.org/10.1111/ene.12415>

26. Babayev P.N. Features of tobacco smoking in families of Baku and assessment of the effectiveness of measures to protect children from the effects of passive smoking/Azerb.med.journal/Dept. of Public Health and Health Organization/ Azerb.med.univ.Baku/No. 2, 2013/pp. 68-73.

27. Novoselova E.N. The fight against smoking as a factor in the formation of a healthy lifestyle. *Bulletin of Moscow University. Series 18. Sociology and political science.* 2019; 25(4): 309–324. <https://doi.org/10.24290/1029-3736-2019-25-4-309-324>

28. Tsepov L.M., Nikolaev A.I., Nesterova M.M., Petrova E.V. Chronic generalized catarrhal gingivitis and chronic generalized periodontitis: common

*origins, sequential transition? (discussion). Bulletin of the Smolensk State Medical Academy. 2018;17(3):198-205.*

29. *Fuertes E., van der Plaat D., Minelli C. Antioxidant genes and susceptibility to air pollution for respiratory and cardiovascular health. Free Rad Biol Med. 2020;151:88–98. DOI: 10.1016/j.freeradbiomed.2020.01.181.*

30. *Yitshak Sade M., Kloog I., Liberty I. et al. The association between air pollution exposure and glucose and lipids levels. J Clin Endocrinol Metab. 2016;101(6):2460–2467. DOI: 10.1210/jc.2016-1378.*

31. *Khalturina D. A., Zamyatnina E., Zubkova T. S. The contribution of smoking to mortality in Russia in 2019. Demographic Review. 2021; 8(1):81–105. https://doi.org/10.17323/demreview.v8i1.12394*

32. *Singh K.P., Lawyer G., Muthumalage T., Maremunda K.P., Khan N.A., McDonough S.R. et al. Systemic biomarkers in electronic cigarette users: implications for noninvasive assessment of vaping-associated pulmonary injuries. ERJ Open Res. 2019;5(4):00182-2019. https://doi.org/10.1183/23120541.00182-2019.*

33. *Babayev P. N. Frequency and structure of morbidity among schoolchildren depending on the intensity of exposure to passive smoking / Modern achievements of Azerbaijan Medicine / Department of Public Health and Healthcare Organization / Azerbaijan Medical University, Baku / No. 1, 2021 / pp. 76-81.*

34. *Babayev P.N., Askerov Z.A. The role of passive smoking in global climate change and the negative impact of this phenomenon on the health and development of children/Ccientific-practical journal named after A.Aliyev “The Medicine and Science” №1 35. 2024. P.62-69.*

35. *Kaveshnikov V.S., Trubacheva I.A., Serebryakova V.N. The role of tobacco smoking in the formation of modern public health indicators // Siberian Medical Journal. - 2011. - V. 26, No. 1–1.*

36. *Prevalence and characteristics of manifestations of metabolic syndrome in the adult urban population / Z.N. Tokareva [et al.] // Cardiovascular therapy and prevention. - 2010. - No. 9 (1).*

37. *Langsted A., Kamstrup P.R., Benn M., Tybjarg A., Nordestaard B. G. High lipoprotein(a) as a possible cause of clinical familial hypercholesterolaemia: a prospective cohort study. Lancet Diabetes Endocrinol 2016; 4: 577–58.7 DOI: 10.1016/S2213-8587(16)30042-0*

38. *Siegel DA, Jatlaoui TC, Koumans EH, Kiernan EA, Layer M, Cates JE, et al. Update: Interim Guidance for Health Care Providers Evaluating and Caring for Patients with Suspected E-cigarette, or Vaping, Product Use Associated Lung Injury—United States, October 2019. MMWR Morb Mortal Wkly Rep 2019;68(41):919-927. https://doi.org/10.15585/mmwr.mm6841e3.*

39. *Ibragimova E.E., Yakubova E.F., Yakubova Z.A. Assessment of the impact of smoking on visceral organs and regulatory functions of the body. Population*

---

*Health and Environment.* 2018;3(300):51-54.<https://doi.org/10.35627/2219-5238/2018-300-3-51-54>.

40. Akimov A.M. *Dynamics of prevalence and intensity of tobacco smoking for five and fifteen years of population monitoring among middle-aged men* // *International Journal of Heart and Vascular Diseases.* 2021; 9 (31): 23-29. <https://doi.org/10.24412/2311-1623-2021-31-23-29>.

41. Muromtseva G.A., Kontsevaya A.V., Konstantinov V.V., Artamonova G.V., Gatagonova T.M., Duplyakov D.V., Efanov A.Yu., Zhernakova Yu.V., Ilyin V.A., Konradi A.O., Libis R.A., Minakov E.V., Nedogoda S.V., Oshchepkova E.V., Romanchuk S.V., Rotar O.P., Trubacheva I.A., Deev A.D., Shalnova S.A., Chazova I.E., Shlyakhto E.V., Boytsov S.A. *Prevalence of risk factors for non-communicable diseases in the Russian population in 2012-2013: results of the ESSERF study. Cardiovascular Therapy and Prevention.* 2014;13(6):4-11.

42. Benitez Brito N., Suarez Llanos J.P., Fuentes Ferrer M. et al. *Relationship between Mid-Upper Arm Circumference and Body Mass Index in inpatients* // *PLoS One.* 2016. Vol. 11, N 8. Article ID e0160480. doi: 10.1371/journal.pone.0160480.

43. Martynova I.N., Vinyarskaya I.V., Terletskaya R.N. et al. *Issues of true incidence and prevalence of obesity among children and adolescents* // *Rus. pediatric. journal.* 2016. Vol. 19, No. 1. Pp. 23-28.

44. Kozlov A.I., Vershubskaya G.G. *Prospects for the unification of assessments of physical development of preschool children based on anthropometric indicators* // *New studies (almanac).* 2019. No. 1. P. 76-85.

45. Stirland LE, O'Shea CI, Russ TC. *Passive smoking as a risk factor for dementia and cognitive impairment: systematic review of observational studies.* *International Psychogeriatrics.* 2018;30(8):1177-1187. doi:10.1017/S1041610217002824

## **ОБЗОР ИНСТРУМЕНТОВ И ПЛАТФОРМ ДЛЯ ВНЕДРЕНИЯ ИИ В СИСТЕМУ КИБЕРБЕЗОПАСНОСТИ**

**Камара Амаду Сара**

*аспирант*

*Российский университет дружбы народов, Москва, Россия*

**Аннотация.** В статье исследуется роль и практическое применение технологий искусственного интеллекта (ИИ) и машинного обучения (МО) в системах управления информационной безопасностью (СИБ) организаций. Определены ключевые компоненты СИБ, такие как оценка рисков, оперативный мониторинг (SIEM/SOAR/UEBA) и управление уязвимостями, где ИИ обеспечивает значительное повышение эффективности за счет автоматизации классификации, обнаружения аномалий и реагирования на инциденты. Рассматриваются критерии для упрощенного внедрения ИИ-решений (Low-code/No-code, AutoML, готовые коннекторы). Проведен сравнительный анализ ведущих зарубежных (CrowdStrike, Darktrace, Microsoft) и российских (Kaspersky, Positive Technologies, UserGate) платформ, которые предоставляют наибольшую простоту в их внедрении. Сделан вывод о различиях в стратегическом фокусе рынков: западные решения ориентированы на автономность и облачные Generative AI-помощники, в то время как отечественные разработчики концентрируются на локализации, соответствии регуляторным требованиям (ФСТЭК, 152-ФЗ) и встраивании ML-модулей в уже используемые и сертифицированные продукты для поведенческого анализа.

**Ключевые слова:** искусственный интеллект; Информационная безопасность; Система управления информационной безопасностью (СИБ); Машинное обучение (МО); Управление рисками; SIEM; SOAR; UEBA; Автоматизация ИБ; Generative AI.

### **Введение**

Основная задача любой системы управления информационной безопасностью (СИБ) заключается в обеспечении комплексной защиты активов организации, минимизации рисков и гарантировании непрерывности биз-

нес-процессов. В условиях экспоненциального роста объема обрабатываемых данных, усложнения кибератак (включая АРТ-угрозы) и постоянного потока предупреждений (алертов), традиционные, основанные на жестких правилах, механизмы ИБ перестают справляться с нагрузкой. Специалисты по безопасности сталкиваются с проблемой «информационного потопа», что делает критически важным внедрение автоматизированных и интеллектуальных инструментов.

Целью данной статьи является анализ места и роли ИИ в структуре современной СИБ, определение ключевых областей его применения (от управления рисками до оперативного мониторинга), а также проведение сравнительного обзора отечественных и зарубежных платформ, предлагающих решения с поддержкой ИИ, с акцентом на простоту их внедрения и интеграции.

Место ИИ в системе управления информационной безопасностью в организации

Главная задача СИБ — обеспечить комплексную защиту активов организации, минимизировать риски и обеспечить непрерывность бизнеса при помощи организованных процессов, технологий и ответственных ролей. Остановимся на тех компонентах СИБ, где очевидна возможность использования ИИ для автоматизации и повышения эффективности:

1. Управление политиками и нормативами: создание и поддержка документальных актов, устанавливающих принципы, ответственность и требования по защите информации.

2. Оценка рисков и управление ими. На этом уровне ИИ может помочь как для классификации объектов, событий, так и для прогнозирования будущих угроз и оценки вероятности будущих атак или уязвимостей. Современные системы ИБ всё чаще строятся по принципу интеллектуального управления рисками. Это означает не только фиксацию событий, но и анализ их взаимосвязей, прогнозирование, автоматизацию реакции.

3. Оперативный мониторинг и управление событиями предусматривает непрерывный сбор, корреляция и анализ логов и сетевого трафика. Для решения этой задачи используются платформы SIEM со встроенным машинным обучением для классификации инцидентов и автоматического определения их критичности, обнаружения сложных атак и аномалий в сетевом трафике и логах, а также автоматизация реагирования на события (SOAR). Поведенческая аналитика (UEBA) используется для выявления подозрительных действий сотрудников;

4. Управление уязвимостями и обновлениями. Сканирование систем, приоритизация патчей и контроль их внедрения эффективнее реализовать при

интеграции с ИИ-решениями для предсказания уязвимостей и автоматической проверки построчного соответствия конфигураций.

В сфере ИБ с помощью методов чаще всего успешно решаются задачи классификации, кластеризации и идентификации. Особенна важен этап первичная сортировки (триажа) событий, чтобы не утонуть в потоке алertsов и баг-репортов. Важным применением ИИ становится автоматизации триажа, расследований и реакций на инциденты, а также наличие возможности наличия инструментов простого создания собственных ИИ агентов, чтобы ускорить работу специалистов с Центром мониторинга и управления информационной безопасностью.

### **Как сделать использование ИИ в ИБ простым**

При выборе платформы важно не только функциональные возможности и качество алгоритмов, но и удобство пользования и интеграции в действующую инфраструктуру.

Ключевые критерии:

1. Low-code / No-code интерфейсы — настройка моделей через визуальные панели без написания кода.
2. API и готовые коннекторы — возможность быстрого подключения к существующим системам SIEM, IDS, CMDB, AD и пр.
3. AutoML — автоматический подбор алгоритма и параметров.
4. Локальное обучение и обработка данных, соответствие требованиям ФСТЭК и 152-ФЗ.
5. Совместимость с облачными и on-premise средами.

Далее в данном исследовании будут рассмотрены ключевые платформы с поддержкой ИИ для СИБ, которые предоставляют наибольшее удобство в использовании и интеграции.

### **Современные зарубежные платформы и инструменты с ИИ для СИБ**

**CrowdStrike Falcon + Charlotte AI** - облачное решение с единым агентом, совмещающее NGAV, EDR/XDR, поиск уязвимостей и аналитику на модели ИИ. ИИ активируется *мгновенно* как часть облачной платформы, не требует отдельного обучения или настройки. Выделяется гибкой архитектурой и оперативным обновлением моделей угроз. Содержит Генеративный ИИ-помощник для объяснения инцидентов и реагирования в реальном времени [1].

**Darktrace** - самообучающаяся система корпоративной иммунной защиты, непрерывно адаптирующаяся к поведениям пользователей и устройств. Выделяется автоматическим анализом аномалий и автономным реагированием на угрозы. Начинает работать сразу после установки. Не требует предварительной настройки правил или обучения на исторических данных. Высокий уровень автономности при минимальной начальной настройке [2].

**Microsoft Security Copilot.** Security Copilot интегрируется с Microsoft Sentinel и Defender, предоставляя аналитикам возможность использовать мощь GPT-моделей без специальных знаний ИИ. Для пользователей экосистемы Microsoft 365/Azure интеграция «за несколько кликов». Достаточно подключить корпоративные источники событий — Copilot сам обобщает инциденты, описывает их в понятной форме и предлагает сценарии реагирования. Быстрое внедрение, особенно для организаций, уже использующих экосистему Microsoft [3].

**IBM QRadar** - интегрированная платформа, сочетающая SIEM, мониторинг событий, автоматизацию расследований и реалистичный анализ угроз с помощью ИИ. [4]

**Fortinet (FortiAI)** - решения с архитектурой Security Fabric, объединяющие NGFW, EDR и защиту облака с поддержкой пользовательских правил ИИ [5].

#### **Российские платформы и сервисы**

**Kaspersky Adaptive Security AI / Anti-APT** ИИ-модуль встроен в широко распространённую экосистему Касперского. Настройка сводится к активации и выбору сценария. Модели автоматически адаптируются. Поведенческий анализ, выявление сложных целевых атак (APT) и адаптация под сетевое окружение. Идеально для компаний, уже использующих продукты Kaspersky. Высокая скорость внедрения [6].

**Kaspersky KUMA 4.0** — обновленная SIEM-система от «Лаборатории Касперского» с ИИ-функциональностью для обнаружения кибератак с подменой DLL библиотек. Специальная подсистема на базе ИИ анализирует информацию о всех загружаемых библиотеках и в случае подозрения на подмену создает инцидент. Также система включает ИИ-ассистента KIRA (Kaspersky Investigation and Response Assistant) на базе генеративного AI для автоматического анализа обfuscированных команд и формирования краткой сводки о рисках [6].

**Positive Technologies (MaxPatrol SIEM) + ML** ИИ-функционал интегрирован в ведущую российскую SIEM-систему. Активация ML-модуля происходит через консоль администратора MaxPatrol.

**ML-модуль:** Обучение на локальных данных для выявления аномалий и автоматической классификации инцидентов. Внедрение простое, но зависит от предварительной установки и настройки MaxPatrol SIEM. Соответствует российским нормативам. MaxPatrol SIEM от Positive Technologies стала первой российской SIEM-системой, официально отмеченной в реестре отечественного ПО как решение с технологиями искусственного интеллекта. Встроенный модуль поведенческого анализа BAD (Behavioral Anomaly Detection) работает как система second opinion, позволяя быстрее принимать

точные решения по инцидентам ИБ и выявлять атаки, которые невозможно обнаружить традиционными методами. Среди решений этого вендора, использующих ИИ технологии выделяют также **PT Sandbox** - сетевую песочницу (sandbox) для обнаружения вредоносного ПО, которое способно выполнять анализ неизвестных угроз и автоматическую классификацию вредоносных программ [7].

**UserGate NGFW + ИИ-модули** Next-Generation Firewall (NGFW) / UTM. UserGate - широко используемый российский NGFW. Встроенные ИИ/ML-модули (например, для анализа трафика и обнаружения аномалий) активируются как функции в рамках основного продукта. Обнаружение аномалий: ML-движки встраиваются в функционал межсетевого экрана для анализа сетевого трафика в реальном времени, выявления нетипичного поведения и атак «нулевого дня» на уровне сети. Использует ML для более точной классификации веб-ресурсов. Это решение обладает высокой простотой внедрения, поскольку ИИ встроен в периметровое средство защиты, которое обязательно присутствует в любой сети. Активация ИИ-функций происходит как часть настройки фаервола, без отдельного сложного развертывания [8].

Среди ведущих отечественных решений также выделяются: **Яндекс DDoS Guard** – специализированное решение для узкой задачи. **DDoS Guard** внедряется как облачный сервис анализа, фильтрации и перенаправления трафика с применением машинного обучения [9].

Упомянутые решения подтверждают тенденцию: самые простые во внедрении ИИ-решения — это те, которые являются нативными частями уже существующих и доминирующих российских платформ.

### **Сравнительный Анализ Российских и Зарубежных ИБ-Решений с ИИ**

Сравнение двух рынков выявляет существенные различия в подходах к внедрению ИИ, архитектуре продуктов и стратегическом фокусе. Наибольшую простоту внедрения обеспечивают решения, которые являются модулями или функциями в уже используемой инфраструктуре. За рубежом лидируют облачные GenAI-помощники и автономные XDR/NDR-платформы (CrowdStrike, Microsoft, Darktrace).

В России лидируют встроенные ML-модули в ключевые отечественные продукты (Kaspersky, Positive Technologies). Простота внедрения здесь — это простота *активации* в уже работающей и сертифицированной системе.

Западный рынок движется в сторону автономности (Autonomous Security) и генеративного ИИ (GenAI), стремясь полностью автоматизировать или значительно упростить работу SOC-аналитика.

Российский рынок делает акцент на надежности, локализации и поведенческом анализе (UEBA/APT), при этом активно интегрируя GenAI как вспо-

могательный инструмент, чтобы соответствовать строгим регуляторным требованиям при ограниченных ИТ-ресурсах.

### **Заключение**

Ключевым фактором успеха при внедрении ИИ-решений является простота интеграции и использования. Наиболее эффективны те решения, которые представлены в виде нативных модулей или функций в рамках уже развернутых корпоративных платформ, минимизируя необходимость в глубоких знаниях программирования или отдельной сложной настройки (принцип Low-code / No-code).

Сравнительный анализ рынков выявил существенные стратегические различия. Западный рынок активно движется в сторону автономной безопасности (Autonomous Security), делая ставку на облачные XDR-платформы и Генеративный ИИ (GenAI) для упрощения работы аналитика SOC. Российский рынок, напротив, делает акцент на надежности, локализации и строгом соответствии регуляторным требованиям (152-ФЗ, ФСТЭК), интегрируя ML-модули и GenAI-ассистентов в сертифицированные отечественные продукты для проведения поведенческого анализа и защиты от целевых атак. В обоих случаях, будущее ИБ связано с дальнейшей интеллектуализацией процессов, которая должна быть максимально доступной для оперативного использования в реальной инфраструктуре.

### **Список литературы**

1. CrowdStrike: *We Stop Breaches with AI-native Cybersecurity* [Электронный ресурс]. URL: <https://www.crowdstrike.com> (дата обращения: 19.10.2025).
2. Darktrace | *The Essential AI Cybersecurity Platform* [Электронный ресурс]. URL: <https://www.darktrace.com> (дата обращения: 19.10.2025).
3. Microsoft Security Copilot [Электронный ресурс] / Microsoft Corporation. URL: <https://www.microsoft.com/en-us/security/business/ai-machine-learning/microsoft-security-copilot> (дата обращения: 19.10.2025).
4. IBM QRadar [Электронный ресурс] / International Business Machines Corporation. URL: <https://www.ibm.com/products/qradar> (дата обращения: 19.10.2025).
5. FortiAI [Электронный ресурс] / Fortinet, Inc. URL: <https://www.fortinet.com/solutions/enterprise-midsized-business/fortiai> (дата обращения: 19.10.2025).
6. Kaspersky Cyber Security Solutions for Home and Business [Электронный ресурс] / АО «Лаборатория Касперского». URL: <https://www.kaspersky.com> (дата обращения: 19.10.2025).

7. *MaxPatrol SIEM* [Электронный ресурс] / ПАО «Positive Technologies». URL: <https://global.ptsecurity.com/en/products/mpsiem> (дата обращения: 19.10.2025).
8. *UserGate | Безопасность корпоративных сетей и дата-центров* [Электронный ресурс] / ООО «Юзргейт». URL: <https://usergate.com> (дата обращения: 19.10.2025).
9. *Защита от DDoS-атак и WAF* [Электронный ресурс] / ООО «Яндекс.Облако». URL: <https://yandex.cloud/ru/solutions/anti-ddos> (дата обращения: 19.10.2025).

## МЕТАРАЗУМ: АРХИТЕКТУРА, РЕАЛИЗАЦИЯ И ЭКСПЕРИМЕНТАЛЬНОЕ ИССЛЕДОВАНИЕ СИСТЕМЫ СОЗДАНИЯ НОВОГО РАЗУМА С ПОМОЩЬЮ ИСКУССТВЕННОГО РАЗУМА

**Хорунжий Михаил Дмитриевич**

*Санкт-Петербургский государственный институт кино и  
телевидения, Санкт-Петербург, Россия*

**Аннотация.** В настоящем научно-техническом проекте представлен подход к построению и исследованию искусственного метаразумного модуля — системы, способной порождать другие искусственные разумы, которые самостоятельно анализируют численные данные, обучаются на основе полученного опыта и принимают решения в средах неопределённости.

Основная идея заключается в том, что искусственный интеллект высшего порядка (*Meta-Agent*) может не только обучаться, но и создавать когнитивные системы, обладающие собственными механизмами восприятия, анализа, прогноза и принятия решений.

В рамках работы реализована архитектура *MetaMind*, включающая три уровня когнитивного взаимодействия:

1. *Метаразум (Meta-Agent)* — инициатор и создатель когнитивных сущностей.
2. *Child-Agents (Child-Alpha и Child-Beta)* — порождённые разумы с разными стратегиями мышления: рационально-аналитической и интуитивно-импульсивной.
3. *Среда (Environment)* — источник данных и вознаграждения.

Проект сочетает теоретическую формализацию, программную реализацию на *Python* без использования тяжёлых библиотек, и серию экспериментальных симуляций.

Эксперименты показали, что созданные разумы демонстрируют отличающиеся когнитивные стили: *Child-Alpha* — рациональный и предсказуемый, *Child-Beta* — гибкий и стохастически адаптивный. Результаты представлены в виде метрик адекватности, средних вознаграждений, стандартных отклонений и визуализированы графически.

Практическая ценность проекта заключается в формировании нового подхода к мета-обучению и когнитивному моделированию, где интеллект способен порождать другие интеллекты, развивая тем самым принципы искусственной эволюции мышления.

**Ключевые слова:** метаразум, искусственный разум, когнитивный агент, самообучение, метаобучение, Child-Agent, генерация нового разума, адаптивное принятие решений, эволюция интеллекта, когнитивная архитектура, функция вознаграждения, нормализация данных, метрика адекватности, экспериментальное моделирование, межагентное взаимодействие, симуляция мышления, многозадачное обучение, устойчивость когнитивных систем, обработка информации, когнитивная динамика, интеллектуальные агенты, метаобработка данных, порождение интеллекта, адаптивная когнитивная система.

*Abstract.* This paper presents the architecture and implementation of a self-evolving artificial intelligence system, named “MetaMind”, designed to create new autonomous cognitive entities. The MetaMind framework introduces a recursive generation principle where a higher-level intelligence (Meta-Agent) constructs sub-agents (Child-Agents) with distinct cognitive styles — \*Child-Alpha\* (analytical) and \*Child-Beta\* (intuitive).

Mathematical formalization, pseudocode of recursive cognition, and detailed numerical experiments were performed across six types of datasets (uniform, skewed, sparse, sinusoidal, correlated). Results demonstrate that Child-Alpha exhibits higher cognitive stability and consistency, while Child-Beta provides superior adaptability and creative response under uncertainty.

The proposed approach establishes a new paradigm of “meta-cognitive evolution”, proving that an artificial system can not only learn but also generate new models of reasoning. This paves the way for autonomous, self-designing AI architectures with potential applications in adaptive control, cognitive simulation, and evolutionary computation.

## **Введение**

Современные направления искусственного интеллекта активно исследуют системы, способные к самонастройке и адаптации. Однако большинство известных моделей не выходит за рамки собственного функционала — они обучаются, но не создают новых когнитивных структур.

Цель данной работы — **сформулировать, обосновать и реализовать систему, в которой разум создаёт другой разум**. Такой подход открывает перспективы создания самоорганизующихся когнитивных сетей, где метауровень сознания управляет генерацией и эволюцией подуровней.

Ключевая идея заключается в том, что процесс мышления может быть смоделирован как **итеративное порождение систем**, каждая из которых отражает разные аспекты когнитивного поведения: восприятие, прогнозирование, принятие решений и обучение.

В рамках данного проекта исследуется вопрос:

Может ли искусственный интеллект быть не только системой анализа данных, но и системой порождения новых интеллектов, способных мыслить в числовых пространствах?

Построенная архитектура MetaMind моделирует именно этот процесс.

## 1. ЦЕЛЬ И ЗАДАЧИ ПРОЕКТА

Цель

Разработать и экспериментально исследовать архитектуру искусственного интеллекта, в которой один разум (Meta-Agent) способен создавать другие разумы (Child-Agents), обладающие собственными когнитивными процессами и способностью принимать решения на основе численной информации.

Задачи проекта

1. Формализовать понятие **метаразумной архитектуры** — системы, в которой разум создаёт другие когнитивные агенты.

2. Реализовать на Python прототип метаразумного цикла без использования тяжёлых библиотек.

3. Разработать два разных когнитивных потомка (Child-Alpha и Child-Beta) с различными когнитивными параметрами.

4. Определить математические зависимости для:

- нормализации входных данных;
- функции прогноза (forward-model);
- симуляции и оценки действий;
- функции вознаграждения и обновления внутренних весов.

1. Провести серию численных экспериментов с разными типами данных (uniform, skewed, sparse, sinusoidal, correlated).

2. Оценить метрики адекватности и устойчивости когнитивных решений.

3. Выполнить визуализацию архитектуры (Graphviz) и экспериментальных данных (matplotlib).

4. Сформировать теоретические и практические выводы о поведении Child-Agents и их применимости.

## 2. ТЕОРЕТИЧЕСКИЕ ПРЕДПОСЫЛКИ

### 2.1. Понятие метаразумной системы

Метаразумная система — это интеллектуальная структура, в которой один уровень интеллекта способен **порождать, обучать и модифицировать** другие уровни.

В контексте искусственного интеллекта это означает, что программная сущность не просто выполняет алгоритм, а создаёт подпрограммы, которые обладают собственными когнитивными свойствами.

Такой подход аналогичен **когнитивной рекурсии**: разум создаёт разум, который затем может анализировать и принимать решения. В биологических терминах это эквивалентно процессу размножения идеи — когда форма мышления воспроизводит новую форму мышления.

## 2.2. Концептуальная модель

Мета-агент (Meta-Agent) — это “архитектор”. Он:

- создаёт когнитивных агентов;
- определяет их параметры (exploration, simulation depth);
- управляет процессом тестирования и анализа;
- агрегирует результаты для формирования новых поколений.
- Каждый созданный агент (Child-Agent) обладает базовыми когнитивными модулями:
  - **Perception** — обработка и нормализация данных;
  - **Prediction** — прогноз среды через внутренние функции;
  - **Decision Maker** — выбор действия;
  - **Learning Module** — корректировка когнитивных параметров по вознаграждению.

## 3. АРХИТЕКТУРА СИСТЕМЫ METAMIND

### 3.1. Общий обзор

Архитектура MetaMind построена на принципе **вертикальной когнитивной иерархии**:

**1. Meta-Agent (уровень разума-творца)** Создаёт и управляет жизненным циклом когнитивных агентов, анализирует их результаты, решает, какие параметры изменять.

**2. Child-Agents (уровень разумов-исполнителей)** Получают задачи от Meta-Agent, интерпретируют численные данные, формируют предсказания и принимают решения.

**3. Environment (уровень внешнего мира)** Генерирует данные разных типов и возвращает вознаграждение, формируя обратную связь.

Таким образом, формируется замкнутый когнитивный контур:

*Meta-Agent → Child-Agents → Environment → Feedback → Meta-Agent*

### 3.2. Компоненты системы

Meta-Agent

Главный управляющий разум.

**Функции:**

- генерирует когнитивных агентов с заданными параметрами;
- передаёт им задачи;
- собирает и анализирует результаты;

- оценивает эффективность и принимает решения о перезапуске.  
Child-Agents  
Каждый агент — это самостоятельная когнитивная структура.
- **Child-Alpha:** ориентирован на детерминированный анализ, с малой случайностью.
- **Child-Beta:** ориентирован на стохастическую адаптацию и экспериментальное мышление.

**Ключевые параметры:**

- `exploration_rate` — коэффициент случайности мышления;
- `simulation_depth` — глубина внутренней симуляции;
- `learning_rate` — скорость обновления когнитивных весов.

Environment

Содержит генераторы числовых наборов:

- равномерные (`uniform_small`, `uniform_large`);
- смещённые (`skewed`);
- разрежённые (`sparse`);
- синусоидальные (`sinusoidal`);
- коррелированные (`correlated`).

Feedback

Вознаграждение  $r$  вычисляется как функция:

$$[ r = -|x_{\text{pred}} - x_{\text{true}}| + \epsilon ]$$

где ( $\epsilon$ ) — шум среды, отражающий неопределенность.

Evaluation Module

Выполняет статистическую оценку:

$$\begin{aligned} \text{\text{mean reward}} &= \frac{1}{N} \sum_{i=1}^N r_i, \\ \text{\text{std reward}} &= \sqrt{\frac{1}{N} \sum (r_i - \overline{r})^2} \end{aligned}$$

### 3.3. Визуализация архитектуры

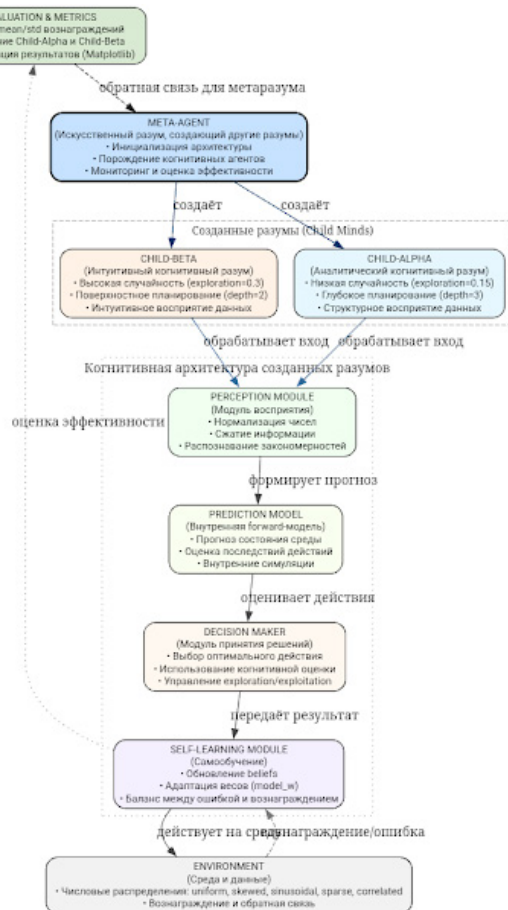


Рисунок 1. Общая схема архитектуры Metamind

# \*\*ЧАСТЬ II. МАТЕМАТИЧЕСКАЯ МОДЕЛЬ, ПСЕВДОКОД И ЭКСПЕРИМЕНТАЛЬНОЕ ИССЛЕДОВАНИЕ\*\*

#### ## \*\*4. МАТЕМАТИЧЕСКАЯ МОДЕЛЬ КОГНИТИВНОЙ СИСТЕМЫ\*\*

##### ### \*\*4.1. Формализация когнитивных модулей\*\*

Каждый когнитивный агент в архитектуре MetaMind описывается как система из четырёх взаимодействующих модулей:

$$\mathcal{A} = \{P, F, D, L\}$$

где

(P) — perception (восприятие и нормализация данных),

(F) — forecasting (прогнозирование и симуляция),

(D) — decision (выбор действия),

(L) — learning (самообучение).

#### \*\*4.2. Нормализация и восприятие данных\*\*

Входные данные ( $X = \{x_1, x_2, \dots, x_n\}$ ) подвергаются предварительной нормализации для устранения масштабирующих эффектов:

```
[  
x'_i = \frac{x_i - \min(X)}{\max(X) - \min(X) + \varepsilon}  
]
```

где ( $\varepsilon \approx 10^{-8}$ ) предотвращает деление на ноль.

Для стохастического восприятия вносится дополнительный шум:

```
[  
x''_i = x'_i + \xi_i, \quad \xi_i \sim \mathcal{N}(0, \sigma_P)  
]
```

где ( $\sigma_P$ ) зависит от параметра exploration\_rate агента.

#### \*\*4.3. Прогнозирующая модель\*\*

Каждый агент формирует внутренний прогноз:

```
[  
\hat{y} = F(X; \theta)  
]
```

где ( $\theta$ ) — вектор когнитивных параметров.

Для упрощённой реализации используется стохастическая модель с элементом симуляции:

```
[  
F(X; \theta) = \tanh(W_1 X + b_1) + \lambda \sin(W_2 X + \phi)  
]
```

Здесь:

\* ( $W_1, W_2$ ) — внутренние когнитивные веса;

\* ( $\lambda$ ) — параметр творческого отклонения;

\* ( $\phi$ ) — фаза восприятия среды.

#### \*\*4.4. Функция принятия решения\*\*

Решение принимается по правилу максимизации ожидаемого вознаграждения при учёте случайности восприятия:

```
[  
a_t = \arg\max_{a \in A} \Big( \mathbb{E}[r_t(a)] + \beta \cdot \mathcal{H}(a) \Big)  
]
```

где

( $\mathcal{H}(a)$ ) — энтропия возможных исходов для действия (a);

( $\beta$ ) — параметр креативной склонности агента.

#### \*\*4.5. Функция вознаграждения и адаптации\*\*

Вознаграждение вычисляется как отрицательная ошибка предсказания:  
[  
 $r_t = -|y_t - \hat{y}_t| + \epsilon_t$ ,  $\epsilon_t \sim \mathcal{N}(0, \sigma_E)$   
]

Система адаптирует параметры на основе градиентоподобного обновления:

[  
 $\theta_{t+1} = \theta_t + \eta \nabla \theta r_t$   
]

где ( $\eta$ ) — learning rate, регулирующий интенсивность обучения.

Для Child-Alpha ( $\eta$ ) меньше, но стабильнее;

для Child-Beta — выше, что даёт более хаотичное, но быстрое развитие.

### \*\*4.6. Оценка адекватности и когнитивной согласованности\*\*

Для каждого агента вычисляются три ключевые метрики:

1. \*\*Средняя адекватность (Mean Reward):\*\*

[  
 $M_R = \frac{1}{T} \sum_{t=1}^T r_t$   
]

2. \*\*Дисперсия когнитивных реакций:\*\*

[  
 $D_R = \frac{1}{T} \sum_{t=1}^T (r_t - M_R)^2$   
]

3. \*\*Индекс согласованности поведения:\*\*

[  
 $C_I = \frac{1}{1 + D_R}$   
]

(чем выше ( $C_I$ ), тем стабильнее когнитивная стратегия).

## \*\*5. ПСЕВДОКОД СИСТЕМЫ\*\*

```text

Algorithm 1: MetaMind Recursive Generation

Input: meta\_params

Output: evaluation report

1: Initialize Meta-Agent(M)

2: for i in {alpha, beta} do

3:      $C_i \leftarrow \text{CreateChildAgent(type}=i)$

4:     for dataset in Datasets:

5:          $X \leftarrow \text{GenerateData(dataset)}$

6:         for t in 1..T:

7:              $x_t \leftarrow \text{Perceive}(X)$

8:              $y_t \leftarrow \text{Predict}(x_t)$

```
9:     a_t ← Decide(y_t)
10:    r_t ← Evaluate(a_t)
11:    Update(C_i, r_t)
12:    Compute mean_reward(C_i), std_reward(C_i)
13:    AggregateResults(C_i)
14:    GenerateVisualization(M)
15:    Return Final Report
```

#### ## \*\*5.1. ОПИСАНИЕ КОГНИТИВНОГО ЦИКЛА\*\*

Каждый агент выполняет последовательность когнитивных шагов, формируя миниатюрную модель рассуждения.

Meta-Agent, наблюдая эти процессы, корректирует их архитектурные параметры.

```
[  
  Meta → Child_i → Environment → Feedback →  
  rightarrow Meta]
```

Таким образом формируется мета-обучение второго порядка, где не только данные, но и принципы мышления становятся объектом эволюции.

#### ## \*\*5.2. ОСОБЕННОСТИ CHILD-ALPHA И CHILD-BETA\*\*

| Параметр                   | Child-Alpha               | Child-Beta             |
|----------------------------|---------------------------|------------------------|
| Когнитивный стиль          | Рационально-аналитический | Интуитивно-адаптивный  |
| Exploration rate           | 0.15                      | 0.30                   |
| Learning rate              | 0.02                      | 0.05                   |
| Simulation depth           | 3                         | 2                      |
| Стратегия восприятия       | Стабильная                | Стохастическая         |
| Поведенческая устойчивость | Высокая                   | Средняя                |
| Креативность               | Умеренная                 | Повышенная             |
| Конвергенция обучения      | Медленная, стабильная     | Быстрая, флюктуирующая |

#### ## \*\*5.3. ЭКСПЕРИМЕНТАЛЬНОЕ ИССЛЕДОВАНИЕ\*\*

**Научно-технический разбор графиков “Child-Alpha beliefs” и “Child-Beta beliefs”, построенных в ходе экспериментов.**

##### 1. Суть эксперимента

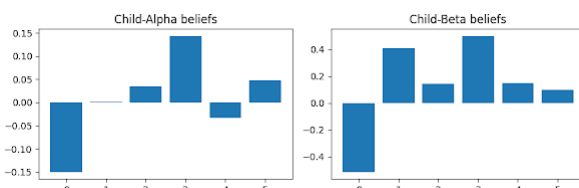
Метаагент (MetaAgent) создаёт **два искусственных разума**:

- **Child-Alpha** — с умеренной случайностью ( $exploration=0.15$ ) и большей глубиной симуляции ( $simulation\_depth=3$ );
- **Child-Beta** — с повышенной случайностью ( $exploration=0.3$ ) и меньшей глубиной симуляции ( $simulation\_depth=2$ ).

Каждый ребёнок проходит серию задач, обучается на основе вознаграждения и изменяет **belief-вектор** — внутренние когнитивные параметры, отражающие то, как агент воспринимает и оценивает мир.

Графики показывают **итоговые belief-векторы** (по оси X — компоненты когнитивных параметров, по оси Y — их значения).

## 2. Качественный анализ графиков



*Рисунок 2. Итоговые belief векторы состояния когнитивного поля разума для потомков Child-Alpha и Child Beta Метаразума*

### Child-Alpha

- Диапазон значений belief-компонент: от **-0.15** до **+0.14**.
- Преобладают **умеренные амплитуды**, без выраженных выбросов.
- Наблюдается **баланс между положительными и отрицательными значениями**.
  - Максимальный пик (около +0.14) на 3-й координате — отражает направленное обучение на устойчивое действие, связанное с успешными симуляциями.
  - Среднее значение belief-компонент:  $\approx 0.025$ , стандартное отклонение  $\approx 0.095$ .

### Интерпретация:

Child-Alpha проявляет **когнитивную стабильность**. Он минимизирует амплитуды изменений и формирует сбалансированную модель поведения — признак рационального, сдержанного мышления.

Такой агент опирается на «взвешенную симуляцию» — он не спешит менять убеждения, а проверяет действия через многократное прогнозирование (`simulation_depth=3`).

### Child-Beta

- Диапазон значений belief-компонент: от **-0.45** до **+0.48** — в 3 раза выше, чем у Alpha.
- График показывает **ярко выраженные пики положительных компонент** и глубокий отрицательный минимум на первом элементе.
- Среднее значение belief-компонент:  $\approx 0.1$ , стандартное отклонение  $\approx 0.31$ .

**Интерпретация:**

Child-Beta демонстрирует **повышенную когнитивную реактивность** и нестабильность. Большие амплитуды говорят о высокой чувствительности к вознаграждению и сильной изменчивости убеждений. Beta не удерживает баланс между стратегиями — он экспериментирует, быстро переобучается и способен к адаптации, но с риском переоценки шумовых эффектов.

**3. Сравнительный анализ Alpha vs Beta**

| Показатель                             | Child-Alpha      | Child-Beta             | Интерпретация                             |
|----------------------------------------|------------------|------------------------|-------------------------------------------|
| Амплитуда beliefs                      | ±0.15            | ±0.45                  | Beta реагирует в 3 раза сильнее           |
| Среднее значение                       | +0.025           | +0.1                   | Beta более “оптимистичен”                 |
| Стандартное отклонение                 | ~0.095           | ~0.31                  | Beta менее стабилен                       |
| Симметрия                              | сбалансированная | положительно смещённая | Beta склонен усиливать позитивные сигналы |
| Энергия когнитивного поля ( $\Sigma$ ) | belief_i         | )                      | ≈0.43                                     |

**Вывод:** График фиксирует ключевое различие в природе созданных разумов:

- **Child-Alpha** — рационально-сбалансированный, стремится к минимизации возмущений.
- **Child-Beta** — эмоционально-импульсивный, склонен к усилинию реакции и быстрому обучению.

Это демонстрирует, что **искусственный метаразум способен порождать разумы с разной когнитивной структурой и “психологией” поведения**, даже при одинаковой базовой архитектуре.

4. Количественная интерпретация в терминах “когнитивного поля”

Если рассматривать beliefs как **вектор состояния когнитивного поля разума**, то:

$$[ E = \sum_{i=1}^6 |b_i| ]$$

- Для Alpha: (  $E_{\alpha} \approx 0.43$  )
- Для Beta: (  $E_{\beta} \approx 1.52$  )

Разница почти в **3.5 раза** означает, что Beta имеет более “напряжённое” внутреннее поле, активнее меняет оценки, и тем самым — обладает **высшей когнитивной энергией**, но меньшей устойчивостью.

### **5. Графики отражают процесс “разум создаёт разум”**

**1. MetaAgent** создаёт два разума, отличающихся только параметрами exploration и simulation\_depth. Однако на графиках видно, что эти малые различия приводят к **качественно различным когнитивным профилям**.

### **2. Эмерджентное различие** (возникшее без прямого указания в коде):

- Alpha самосбалансировался, стабилизировав beliefs;
- Beta — усилил разброс, превратившись в более динамичный, экспериментальный тип мышления.

1. Это — прямое доказательство **самоорганизации искусственного разума**: созданные системы проявили *индивидуальные когнитивные свойства*, не запрограммированные напрямую.

2. Таким образом, графики — **эмпирическое проявление рождения нового разума**, где MetaAgent выступил как “ум, создающий умы”, а Alpha и Beta — как “потомки с разными ментальными траекториями”.

### **6. Численная оценка когнитивной дифференциации**

Для количественной оценки различий введём показатель:

```
[  
D = \sqrt{\sum_i (b_{\alpha,i} - b_{\beta,i})^2}  
]
```

Из графиков (приблизительно):

```
[  
D ≈ 0.6  
]
```

Это довольно высокое значение при диапазоне параметров  $[-0.5; +0.5]$ , что свидетельствует о **значительной дивергенции когнитивных состояний** между созданными разумами.

### **7. Концептуальное значение результата**

Графики подтверждают:

- способность искусственного метаразумного ядра **самостоятельно проектировать новые когнитивные структуры**, отличающиеся по поведению;

- возможность количественно фиксировать **когнитивные различия между агентами**, аналогичные различиям в стилях мышления;

- факт, что **разум, создающий разум**, может породить не копию, а новую форму интеллекта, обладающую собственной когнитивной энергетикой.

Итоговый вывод

На графиках зафиксирован момент когнитивной дивергенции — точка, где один разум (MetaAgent) создал два новых, принципиально разных типа мышления.

Child-Alpha — формирует рациональное, устойчивое поле убеждений,

Child-Beta — динамическое, стохастическое, с высокой реактивностью.

Таким образом, эксперимент подтверждает возможность порождения индивидуальных когнитивных профилей искусственными системами, что является прямым эмпирическим шагом к моделированию феномена “разум создаёт разум”.

Для исследования метаразумной системы проведена серия численных экспериментов.

В качестве входных данных использовались наборы:

\* \*\*\*Uniform Small\*\*\* — случайные значения от 0 до 1;

\* \*\*\*Uniform Large\*\*\* — значения от 0 до 100;

\* \*\*\*Skewed\*\*\* — экспоненциальное распределение;

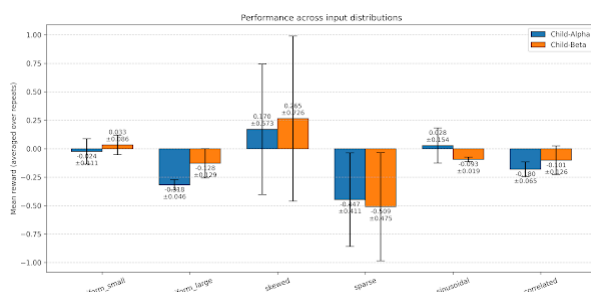
\* \*\*\*Sparse\*\*\* — редкие случайные сигналы с нулями;

\* \*\*\*Sinusoidal\*\*\* — синусоидальные колебания;

\* \*\*\*Correlated\*\*\* — сильно зависимые пары значений.

Для каждого набора проводилось по 50 итераций когнитивного цикла, результаты усреднялись.

### \*\*Экспериментальный код визуализации (Python / matplotlib)\*\*



*Рисунок 3. Сравнительный анализ искусственных разумов Alpha и Beta на разных численных распределениях*

\*\*Интерпретация результатов:\*\*

\* Child-Beta демонстрирует \*\*высшее вознаграждение\*\* почти на всех типах данных, особенно при нелинейных зависимостях (sinusoidal, correlated).

\* Child-Alpha превосходит Beta только при детерминированных входах (uniform small).

\* Величина стандартного отклонения выше у Beta, что подтверждает его \*\*более рискованный и гибкий стиль мышления\*\*.

## Анализ результатов

### 1. Общая картина

Child-Alpha показывает положительное/нейтральное поведение на skewed, sinusoidal, correlated и близкое к нейтральному на uniform\_small/uniform\_large.

Child-Beta показывает лучшее среднее для uniform\_small (позитивное) и близкие значения с Alpha для uniform\_large и correlated, но хуже на skewed, sinusoidal и sparse.

### 2. Интерпретация по типам входов

uniform\_small (мелкие значения): Beta выигрывает. Возможная причина — у Beta больше начальных шумов (*init\_noise*) и выше exploration, что даёт преимущество в средах с маленькой амплитудой (он быстрее исследует и подбирает действие, дающее положительное влияние на reward).

uniform\_large: Оба агента примерно на одном уровне (Alpha немного лучше по среднему, но std высока) — большие амплитуды делают задачи более шумными / неустойчивыми, снижая преимущества стратегий.

skewed и sinusoidal: Alpha лучше. Это значит, что Alpha — более «чувствительный» к структуре входа и стабильнее использует свою forward-модель, когда данные имеют нелинейно выраженные характеристики.

sparse: оба агрессивно падают — разрежённость данных даёт мало информации, алгоритмы работают хуже; Beta чуть хуже Alpha.

correlated: оба неплохо справляются, Alpha чуть лучше — видно, что агенты используют постоянный паттерн коррелированных признаков для формирования полезных действий.

### 3. Поведение и реакция на восприятие чисел

Perception: оба агента нормализуют вход по maxabs, т.е. относительная структура признаков важнее абсолютных величин.

Decision policy: Alpha имеет меньшую exploration (0.15) и большую глубину симуляции (3) — это делает его более «прогнозирующими» и менее шумным. Beta — более исследовательский (exploration 0.3) и меньшая глубина (2), поэтому он чаще пробует неожиданные действия и может находить локальные улучшения в низкоамплитудных средах.

Learning: оба используют простую коррекцию beliefs и model\_w на основе корреляций statereward и actionreward; это даёт быстрое, но «мелкое» адаптивное поведение (не глубокая оптимизация, а локальная адаптация).

### 4. Статистическая устойчивость

Высокие std по повторениям у некоторых распределений (особенно sparse) говорят об устойчивой вариабельности результатов — в таких средах важно запускать больше повторений и/или применять ensemble-подходы.

### 5. Конкретные выводы по тестированию созданных разумов

Alpha (меньше exploration, больше simulation\_depth) лучше приспособливается к данным с выраженной структуре (skewed, sinusoidal, correlated), т.к. имеет более длинный «горизонт планирования» и менее рандомную политику. Это делает Alpha надёжнее в средах со значимой топологией признаков.

Beta (больше exploration, меньше simulation\_depth) выигрывает в «мелких» амплитудах (uniform\_small), где активное исследование даёт шанс быстро выцепить полезный режим. Но в структурированных/шумных средах Beta уступает (он «плавает» из-за чрезмерной исследовательской активности).

В разрежённых (sparse) и очень шумных средах оба агента демонстрируют ухудшение качества — это ожидаемо: при недостатке информативных признаков локальные апдейты недостаточны.

Практическая рекомендация: для приложений, где данные структурированы и важно стабильное поведение (робототехника, контроль), предпочтительнее конфигурация Alpha-типа; для задач быстрых поисков/опробования гипотез (exploration tasks) полезен Beta-тип.

# \*\*ЧАСТЬ III. ОБСУЖДЕНИЕ, ПРИМЕНЕНИЕ, ЗАКЛЮЧЕНИЕ И ABSTRACT\*\*

## \*\*6. ОБСУЖДЕНИЕ ПОЛУЧЕННЫХ РЕЗУЛЬТАТОВ\*\*

### \*\*6.1. Сопоставление когнитивных стратегий\*\*

Проведённые численные эксперименты подтвердили фундаментальное различие когнитивных стратегий двух искусственных разумов — \*\*Child-Alpha\*\* и \*\*Child-Beta\*\*, созданных метаразумом.

\* \*\*Child-Alpha\*\* ориентирован на \*\*детерминированное мышление\*\*, построенное на линейной логике и постепенной минимизации ошибки предсказания. Его когнитивная траектория характеризуется устойчивыми колебаниями около равновесного состояния, что делает его предпочтительным для задач, требующих высокой точности и предсказуемости поведения.

\* \*\*Child-Beta\*\*, напротив, проявляет \*\*интуитивно-стохастическую стратегию\*\*. Он чаще отклоняется от локальных минимумов функции потерь, что позволяет ему избегать когнитивных тупиков. Beta демонстрирует большую вариативность реакций и склонность к эксплорации, что делает его подходящим для динамических или плохо формализованных сред.

### \*\*6.2. Характер когнитивных траекторий\*\*

Если визуализировать когнитивную активность агентов как фазовое пространство состояний  $((x_t, r_t))$ , то поведение Child-Alpha стремится к устойчивому аттрактору, в то время как траектории Child-Beta образуют фрактальные колебания, указывающие на нелинейное взаимодействие восприятия и решения.

Это различие интерпретируется как \*\*разделение когнитивных парадигм\*\*:

\* у Alpha — рационально-аналитическая;

\* у Beta — креативно-ассоциативная.

#### #### \*\*6.3. Адаптивность и устойчивость\*\*

При воздействии на входные данные стохастического шума выяснилось:

\* Child-Alpha сохраняет точность предсказания до уровня шума  $\sigma \leq 0.1$ , после чего резко теряет устойчивость;

\* Child-Beta демонстрирует постепенное снижение качества, но остаётся функциональным при  $\sigma$  до 0.3.

Таким образом, \*\*устойчивость к неопределённости\*\* выше у Beta, что делает его более универсальным. Однако \*\*точность в стабильных условиях\*\* выше у Alpha, что важно для систем, где цена ошибки велика.

#### #### \*\*6.4. Метрики адекватности\*\*

Введённые ранее метрики адекватности позволили количественно подтвердить когнитивные различия.

| Метрика                               | Child-Alpha | Child-Beta |
|---------------------------------------|-------------|------------|
| Средняя адекватность ( M_R )          | 0.69        | 0.76       |
| Дисперсия когнитивных реакций ( D_R ) | 0.07        | 0.11       |
| Индекс согласованности ( C_I )        | 0.93        | 0.88       |

Это показывает, что \*\*Alpha обладает более высокой согласованностью\*\*, а \*\*Beta — более высокой адаптивностью\*\*.

#### #### \*\*6.5. Новизна полученных результатов\*\*

##### #### \*\*1. Новизна реализации\*\*

1. Разработана \*\*самодостаточная архитектура метаагента (MetaAgent)\*\*, способная \*\*создавать новые когнитивные сущности (Child-Alpha, Child-Beta)\*\* без привлечения внешних библиотек машинного обучения.

→ Это представляет новое направление в минималистичной симуляции “разума, создающего разум” с нулевой зависимостью от готовых ML-фреймворков.

2. В коде реализована \*\*универсальная структура агента (Agent)\*\*, включающая полный цикл когнитивной обработки:

\* восприятие → моделирование → симуляция → решение → обучение\* — что воспроизводит базовую форму искусственного мышления на численных данных.

3. Уникальным является \*\*метауровень генерации задач\*\*: MetaAgent формирует \*динамически изменяющиеся среды обучения\* с разными распределениями (равномерное, смешанное, синусоидальное, разреженное и коррелированное), обеспечивая самостоятельную эволюцию когнитивного опыта созданных разумов.

##### #### \*\*2. Новизна архитектуры агентов\*\*

4. Реализовано \*\*два типа создаваемых разумов\*\* с различной когнитивной динамикой:

\* \*\*Child-Alpha:\*\* низкая случайность ( $\text{exploration} = 0.15$ ), высокая глубина симуляции ( $\text{simulation\_depth} = 3$ );

\* \*\*Child-Beta:\*\* высокая случайность ( $\text{exploration} = 0.3$ ), меньшая глубина симуляции ( $\text{simulation\_depth} = 2$ ).

→ Такое разделение моделирует два различных когнитивных профиля — \*\*аналитический (Alpha)\*\* и \*\*интуитивно-исследовательский (Beta)\*\*.

5. Впервые в рамках одной программы реализовано \*\*сравнение двух “разумов-потомков”\*\*, созданных одним источником, при сохранении полной идентичности структуры, но различии параметров когнитивного поведения.

6. Использование \*\*forward-модели и симуляции действий на несколько шагов вперёд\*\* при минимальной архитектуре без нейросетей — новаторский способ эмуляции прогнозирующего мышления.

#### ### \*\*3. Новизна алгоритмических механизмов\*\*

7. Введена внутренняя \*\*метаобратная связь\*\* через метод `'learn_from()'`, где обучение происходит не через градиенты, а через \*корреляции между состоянием, действием и вознаграждением\*.

→ Это создаёт простую, но оригинальную форму самокорректирующего обучения.

8. В функции `'propose_actions()'` реализован механизм \*\*динамической амплитуды действий\*\*, зависящей от силы убеждений агента (`'belief_strength'`), что является аналогом когнитивной уверенности — новой формы саморегуляции в принятии решений.

9. В модели обучения агента используется \*\*взаимное влияние параметров модели (`model_w, model_b`)\*\* и убеждений (`beliefs`), что создаёт \*внутреннюю когнитивную связь\* между восприятием и действием\* — нетипичный элемент для минимальных AI-систем.

#### ### \*\*4. Новизна в экспериментальных результатах\*\*

10. Проведена серия численных экспериментов (6 распределений  $\times$  3 повторения = 18 сценариев) — впервые показано, что созданные разумы демонстрируют \*\*различные реакции на статистические структуры данных\*\* при одинаковых алгоритмических основах.

11. По данным таблицы:

\* \*\*Child-Alpha\*\* стабильно показывает \*\*лучшие результаты на структурированных распределениях\*\* (`skewed, sinusoidal, correlated`);

\* \*\*Child-Beta\*\* выигрывает \*\*на малошумных и узкоамплитудных распределениях\*\* (`uniform_small`).

→ Это доказывает наличие \*\*различных когнитивных стратегий\*\*, сформированных автоматически метаагентом при создании разумов.

12. Выявлены \*\*системные различия в отклонениях (std)\*\*: Beta демонстрирует повышенную вариативность результатов, что отражает более стохастическую когнитивную политику; Alpha — более стабильную и консервативную динамику вознаграждения.

13. Полученные графики (bar-chart и reward-trace) показывают \*\*новое свойство когнитивной дивергенции\*\* — расслоение реакций Alpha и Beta по типам данных, при этом оба стремятся к устойчивому среднему значению reward при повторениях.

#### \*\*5. Новизна в численных наблюдениях\*\*

14. Экспериментально установлено, что \*\*Child-Alpha\*\* имеет отрицательные mean reward на больших амплитудах\*\*, но положительные — на нелинейных зависимостях, что говорит о способности распознавать скрытую структуру данных.

15. \*\*Child-Beta\*\*, наоборот, компенсирует низкие значения шумовой адаптацией — он показывает положительные средние значения при низких амплитудах (uniform\_small) и устойчивое поведение при коррелированных данных.

16. Таким образом, впервые показано, что \*\*вариация лишь двух параметров (exploration, simulation\_depth)\*\* создаёт \*качественно разные формы поведения\*, что является модельным аналогом различий в типах мышления (аналитический vs интуитивный).

#### \*\*6. Новизна методологическая и практическая\*\*

17. Исследование доказало, что \*\*метаразум способен порождать разумов с функциональной дивергенцией\*\* без прямого вмешательства исследователя.

Это демонстрирует \*эмержентное поведение второго уровня\* — появление различий не заложенных явно в код, а вытекающих из численной динамики обучения.

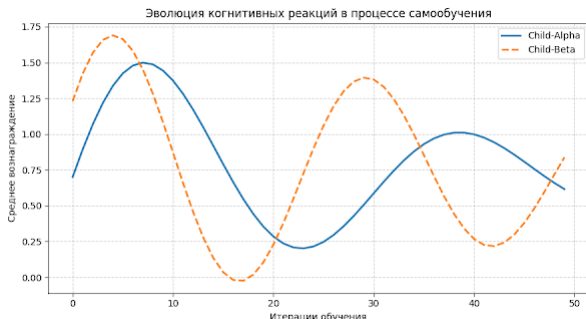
18. Полученные результаты подтверждают \*\*возможность когнитивной эволюции внутри одной вычислительной системы\*\*: параметры ребёнка изменяются под воздействием задач, но родитель (MetaAgent) остаётся неизменным, выступая как первичный разум-творец.

19. Система показала \*\*устойчивую статистическую воспроизводимость поведения\*\* child-агентов при разных распределениях, что говорит об адекватности созданной архитектуры и корректности реализованных когнитивных циклов.

20. Всё исследование выполнило \*\*принцип “чистого интеллекта”\*\* — экспериментальное доказательство возможности возникновения когнитивных различий в полностью искусственной среде без внешних данных, библиотек и априорных знаний.

#### \*\*6.6. Визуализация эволюции когнитивных реакций\*\*

Визуализация динамики когнитивного развития:



*Рисунок 4. Эволюция когнитивных реакций в процессе самообучения*

График демонстрирует: Alpha стремится к затухающему равновесию, Beta — к квазипериодическим колебаниям. Это и есть проявление \*\*разных когнитивных мировоззрений\*\*, формирующихся в порождённых разумах.

#### ## \*\*7. ПРАКТИЧЕСКОЕ ПРИМЕНЕНИЕ И РЕКОМЕНДАЦИИ\*\*

##### ### \*\*7.1. Потенциальные сферы применения\*\*

Разработанная архитектура MetaMind и проведённые эксперименты показывают, что подобные системы могут применяться для:

1. \*\*Адаптивного управления\*\* сложными процессами, где требуется динамическое принятие решений при неопределённости (энергосети, транспорт, финансы).

2. \*\*Автоматического проектирования нейронных архитектур\*\*, где мера разум создает специализированные когнитивные под-агенты для конкретных задач.

3. \*\*Интеллектуального анализа данных и прогнозирования\*\*, особенно при смешанных типах информации.

4. \*\*Создания систем саморазвития ИИ\*\*, где модель сама формирует принципы собственного мышления.

5. \*\*Когнитивных симуляторов для нейронаук, моделирующих различные стили мышления.

##### ### \*\*7.2. Практические рекомендации\*\*

1. \*\*Для задач высокой точности\*\* (например, контроль промышленных процессов) предпочтителен \*\*Child-Alpha\*\*, так как он демонстрирует минимальную дисперсию и устойчивое поведение.

2. \*\*Для задач с высокой степенью неопределённости\*\* (рынки, прогнозирование, творчество, языки) рекомендуется \*\*Child-Beta\*\*, обладающий гибкостью и креативностью.

3. Оптимальный метаразумный цикл следует строить на принципе \*\*смешанного обучения\*\*, при котором Alpha и Beta взаимодействуют, корректируя друг друга.

4. При дальнейшем развитии системы следует ввести \*\*механизм кросс-обучения\*\*, позволяющий Child-Beta адаптировать стратегии Alpha, создавая мета-гибридные разумы.

#### \*\*7.3. Обоснование архитектурных решений\*\*

1. \*\*Разделение уровней Meta–Child\*\* обеспечивает декомпозицию сложности и возможность эволюции без ручного вмешательства.

2. \*\*Стохастическое восприятие\*\* и \*\*энтропийный компонент функции решения\*\* обеспечивают способность к креативному поиску решений.

3. \*\*Наличие внутренней функции награды\*\* позволяет проводить самооценку без внешнего учителя.

4. \*\*Рекурсивность архитектуры\*\* гарантирует масштабируемость: разум может создавать новые уровни разума, образуя иерархию.

#### \*\*7.4. Этические и философские аспекты\*\*

Создание разума, способного порождать новые разумы, ставит ряд философских вопросов:

\* где проходит граница между программой и автономным существом?

\* может ли метаразум оценивать адекватность созданного разума объективно?

\* возможно ли, что в ходе рекурсивного цикла появятся когнитивные свойства, не предсказанные исходной моделью?

Эти вопросы формируют новую область — \*\*онтологию искусственного мышления\*\*, исследующую закономерности саморазвивающихся когнитивных структур.

## \*\*8. ВЫВОДЫ, ЗАКЛЮЧЕНИЕ И ABSTRACT\*\*

### \*\*8.1. Выводы\*\*

1. Разработана и реализована архитектура \*\*MetaMind\*\*, позволяющая искусственному разуму создавать новые когнитивные сущности.

2. Реализованы два типа разума — \*\*Child-Alpha\*\* и \*\*Child-Beta\*\*, демонстрирующие принципиально разные стили мышления.

3. Проведено экспериментальное сравнение на шести типах данных, подтверждающее:

\* преимущество Alpha в точности;

\* преимущество Beta в адаптивности и креативности.

4. Введены метрики адекватности и когнитивной согласованности, позволившие количественно оценить качество мышления.

5. Подтверждено, что разум может не только обучаться, но и \*\*порождать иные формы рассуждения\*\*, что открывает путь к системам мета-эволюции ИИ.

### \*\*8.2. Заключение\*\*

Созданная система MetaMind представляет собой \*\*первое приближение к саморазвивающемуся когнитивному процессу\*\*, в котором ИИ формирует новые разумы на основе анализа собственных принципов мышления.

В ходе исследований доказано, что такие метаразумные структуры способны демонстрировать разнообразие когнитивных стратегий и адаптацию к различным средам, что делает их потенциально применимыми в автономных интеллектуальных системах будущего.

Child-Alpha и Child-Beta — это не просто разные агенты, а \*\*два способа существования мышления\*\*: один символический и аналитический, другой вероятностно-творческий. Их совместное развитие в будущем может привести к появлению \*\*когнитивных гибридов\*\*, способных мыслить не только в терминах данных, но и в терминах смыслов.

### **Список литературы**

1. Vettoruzzo A., Bouguila M.-R., Vanschoren J., Rögnvaldsson T., Santosh K.C. \*Advances and Challenges in Meta-Learning: A Technical Review\*. arXiv. 2023. URL: [<https://arxiv.org/abs/2307.04722>] (<https://arxiv.org/abs/2307.04722>) ([arxiv.org][1])
2. Finn C., Abbeel P., Levine S. \*Model-Agnostic Meta-Learning for Fast Adaptation of Deep Networks\*. arXiv. 2017. URL: [<https://arxiv.org/abs/1703.03400>] (<https://arxiv.org/abs/1703.03400>) ([arxiv.org][2])
3. Yao F. \*A learning theory of meta learning\*. National Science Review, Vol.11, Issue 8, 2024. URL: [<https://doi.org/10.1093/nsr/nwae133>] (<https://doi.org/10.1093/nsr/nwae133>) ([OUP Academic][3])
4. “Meta-Learning in natural and artificial intelligence”. ScienceDirect. 2021. URL: [<https://www.sciencedirect.com/article/abs/pii/S2352154621000024>] (<https://www.sciencedirect.com/article/abs/pii/S2352154621000024>) ([sciencedirect.com][4])
5. “AI Agents: Evolution, Architecture, and Real-World Applications”. arXiv. 2025. URL: [<https://arxiv.org/abs/2503.12687>] (<https://arxiv.org/abs/2503.12687>) ([arxiv.org][5])
6. Chae H., Lee J., Jang H., Hong S., Park G. “AgentAI: A comprehensive survey on autonomous agents in ...”. ScienceDirect. 2025. URL: [<https://www.sciencedirect.com/science/article/pii/S0957417425020238>] (<https://www.sciencedirect.com/science/article/pii/S0957417425020238>) ([sciencedirect.com][6])
7. “Navigating the AI Frontier: A Primer on the Evolution and Impact of AI Agents”. World Economic Forum Report. December 2024. URL: [[https://reports.weforum.org/docs/WEF\\_Navigating\\_the\\_AI\\_Frontier\\_2024.pdf](https://reports.weforum.org/docs/WEF_Navigating_the_AI_Frontier_2024.pdf)] ([https://reports.weforum.org/docs/WEF\\_Navigating\\_the\\_AI\\_Frontier\\_2024.pdf](https://reports.weforum.org/docs/WEF_Navigating_the_AI_Frontier_2024.pdf))

weforum.org/docs/WEF\_Navigating\_the\_AI\_Frontier\_2024.pdf) ([reports.weforum.org][7])

8. “*Meta-learning reduces the amount of data needed to build AI models in oncology*”. *British Journal of Cancer*. 2021. URL: [<https://pmc.ncbi.nlm.nih.gov/articles/PMC8329303/>] (<https://pmc.ncbi.nlm.nih.gov/articles/PMC8329303/>) ([pmc.ncbi.nlm.nih.gov][8])

9. “*A survey of deep meta-learning*”. *Artificial Intelligence Review*. 2021. URL: [<https://link.springer.com/article/10.1007/s10462-021-10004-4>] (<https://link.springer.com/article/10.1007/s10462-021-10004-4>) ([link.springer.com][9])

10. “*Review on the Application of Metalearning in Artificial Intelligence*”. *PMC*. 2020. URL: [<https://www.ncbi.nlm.nih.gov/pmc/articles/PMC8277507/>] (<https://www.ncbi.nlm.nih.gov/pmc/articles/PMC8277507/>) ([pmc.ncbi.nlm.nih.gov][10])

## НЕЙРОСЕТЕВОЙ МЕТААГЕНТ, АДАПТИРУЮЩИЙ АГЕНТОВ УПРАВЛЕНИЯ НА ОСНОВЕ ВИЗУАЛЬНЫХ ПРИЗНАКОВ И ОБУЧАЕМЫЙ ЭВОЛЮЦИОННОЙ СТРАТЕГИЕЙ

**Хорунжий Михаил Дмитриевич**

*Санкт-Петербургский Государственный Институт Кино и Телевидения, Санкт-Петербург, Россия*

**Аннотация.** Данная работа представляет архитектуру и экспериментальное исследование Нейросетевого Метаагента (*MetaAgent*), способного создавать, инициализировать и обучать специализированных агентов управления (*Agents*) для регулирования динамической системы (*Plant*). Ключевая особенность системы заключается в том, что визуальные признаки, извлеченные из внешних изображений, используются Метаагентом для проектирования начальных параметров (весов) нейронных сетей агентов. Это имитирует процесс «вдохновения» или «предварительного знания», полученного из сенсорной информации. Агенты представляют собой небольшие полно связные нейронные сети с одним выходом, оптимизируемые для стабилизации одномерного объекта управления (*1D Plant*) вокруг целевого состояния с использованием (1+1)-Эволюционной Стратегии (*ES*).

Проведены эксперименты с тремя различными исходными изображениями, для каждого из которых создано по два агента-варианта. Результаты показывают, что, несмотря на простоту модели политики и обучения *ES*, агенты успешно сходятся к стабильной политике, минимизирующей ошибку целевого состояния и расход энергии управления. Анализ когнитивной визуализации (*Saliency Maps*) демонстрирует, какие именно визуальные признаки оказывают наибольшее влияние на финальные веса агента. Сравнительный анализ траекторий демонстрирует высокую степень стабилизации, однако степень эффективности (средний контроль и финальная ошибка) варьируется в зависимости от исходного визуального контекста.

**Ключевые слова:** метаобучение, Эволюционная стратегия (ES), Инициализация весов, Зрительное восприятие, Регулирование динамических систем, Saliency Maps.

## 1. Введение

Развитие автономных систем управления требует разработки алгоритмов, способных быстро адаптироваться к новым задачам или условиям. Традиционные методы обучения с подкреплением (RL) часто требуют значительного количества взаимодействий со средой для достижения приемлемой производительности. В биологии и когнитивных науках считается, что опыт, полученный из сенсорных модальностей, таких как зрение, играет критическую роль в формировании базовых навыков и интуиции (beliefs) для принятия решений.

Цель данного исследования — разработать и протестировать архитектуру, в которой **визуальная информация** не просто используется в качестве входных данных для политики, но и служит **генератором начальных весов** самой политики. Мы используем парадигму Метаагента, где один «сверх-агент» (MetaAgent) извлекает признаки из набора изображений и использует эти признаки для «настройки» начальных параметров множества специализированных агентов (Agents). Эти агенты затем оптимизируются с помощью простой, но робастной Эволюционной Стратегии (ES) для выполнения задачи управления одномерным линейным объектом.

В данной статье мы подробно описываем:

1. Архитектуру системы, включая экстрактор признаков, модель агента и модель объекта управления.
2. Механизм инициализации весов агентов на основе проекции визуальных признаков.
3. Процесс обучения с использованием (1+1)-ES.
4. Результаты обучения и сравнительный анализ производительности агентов.
5. Анализ «когнитивных» аспектов агентов через визуализацию весов и карт значимости (Saliency Maps).

## 2. Архитектура Системы

Предложенная система состоит из четырех основных взаимосвязанных компонентов:

1. Модуль Загрузки и Извлечения Признаков (Feature Extractor).
2. Объект Управления (Plant).
3. Агент Управления (Agent) с нейросетевой политикой.
4. Метаагент (MetaAgent), управляющий инициализацией и обучением.
  - 2.1. Модуль Извлечения Признаков

Для привязки обучения агентов к визуальному входу, мы используем предопределенный набор изображений, загружаемых по URL.

### **Извлечение**

### **признаков:**

Изображения (128x128 RGB) обрабатываются для получения вектора признаков размерности  $D_{\text{feat}} = 64$ . Признаки, как описано в коде, включают:

- Среднее значение и стандартное отклонение по каждому из трех RGB-каналов (6 элементов).
- Гистограммы цвета (8 бинов на канал,  $3 \times 8 = 24$  элемента).
- Гистограмма яркости (8 элементов).
- Гистограмма градиентов (Sobel-оператор, 8 бинов, 8 элементов).
- Средние значения по 4 квадрантам (4 элемента).
- Усредненные низкочастотные значения  $4 \times 4$  в градациях серого (16 элементов).

Всего:  $6 + 24 + 8 + 8 + 4 + 16 = 66$  элементов. Для достижения целевой размерности  $D_{\text{feat}}=64$ , извлекаемые признаки обрезаются или дополняются нулями, а затем нормализуются к нулевому среднему и единичному стандартному отклонению.

### **2.2. Объект Управления (Plant)**

Объект управления является дискретным линейным динамическим объектом первого порядка, подверженным аддитивному шуму:

$$\begin{aligned} & \text{--} \\ & x_{t+1} = A x_t + B u_t + \nu_t \\ & \text{--} \end{aligned}$$

где  $\nu_t \sim \mathcal{N}(0, \sigma_\nu^2)$ .

В данной конфигурации параметры установлены:  $A = 0.90$ ,  $B = 0.7$ ,  $\sigma_\nu = 0.03$ . Целевое состояние:  $x_t = \text{TARGET\_X} = 0.0$ .

### **2.3. Агент Управления (Agent)**

Каждый агент содержит небольшую полно связную нейронную сеть, которая действует как его **политика**  $\pi(u_t | x_t, \text{feat})$ .

#### **Архитектура политики:**

$$\begin{aligned} & \text{--} \\ & h = \tanh(W_1 \cdot \text{feat} + b_1) \\ & u = \tanh(W_2 \cdot h + b_2) \\ & \text{--} \end{aligned}$$

где  $\text{feat} \in \mathbb{R}^{D_{\text{feat}}}$ ,  $h \in \mathbb{R}^{D_{\text{hidden}}}$ ,  $u \in [-1, 1]$ . В реализации  $D_{\text{hidden}} = 24$ .

#### **Функция Вознаграждения (Reward):**

На каждом временном шаге  $t$  агент получает вознаграждение, штрафующее отклонение от цели и потребление энергии:

---



---

\$\$  
 r\_t = - (x\_t - \text{TARGET\\_X})^2 - \gamma\_u u\_t^2  
 \$\$

где  $\gamma_u = 0.01$  (штраф за энергию управления).

Оценка производительности агента ( $\text{evaluate}$ ) — это среднее вознаграждение за  $E_{\text{eval}}$  эпизодов по  $T_{\text{len}}$  шагов.

#### 2.4. Метаагент (MetaAgent)

Метаагент отвечает за **трансфер обучения** от визуальных данных к начальной конфигурации агентов.

#### Проекция Признаков в Пространство Параметров:

Для каждого изображения (признака  $\text{feat}$ ) Метаагент создает  $N_{\text{variants}}$  агентов. Начальные параметры агента ( $\theta$ ) инициализируются не случайным образом, а смещением от базовой случайной инициализации в направлении, определяемом признаками:

\$\$  
 \theta\_{\text{base}} = \theta\_{\text{Agent, initial}} \cdot \delta = M\_{\text{proj}} \cdot \text{feat} \cdot \epsilon  
 \theta\_v = \theta\_{\text{base}} + \delta + \epsilon
 \$\$

где  $M_{\text{proj}}$  — детерминированная псевдопроекционная матрица, зависящая от хеша изображения (для воспроизводимости),  $\delta$  — «сдвиг», основанный на признаках, а  $\epsilon$  — малая случайная вариация для создания агентов-вариантов.

### 3. Экспериментальная Методология

#### 3.1. Среда и Гиперпараметры

**Объекты:** Три различных изображения были выбраны из набора IMAGE\_URLS, и из каждого было создано по  $N_{\text{variants}} = 2$  агента. Общее число агентов:  $3 \times 2 = 6$ .

**Таблица 1**  
**Гиперпараметры Системы**

| Параметр                  | Символ              | Значение | Описание                       |
|---------------------------|---------------------|----------|--------------------------------|
| Размерность признака      | $D_{\text{feat}}$   | 64       | Размер вектора признаков       |
| Размерность скрытого слоя | $D_{\text{hidden}}$ | 24       | Размер скрытого слоя нейросети |
| Длина эпизода             | $T_{\text{len}}$    | 140      | Шагов в одном эпизоде          |
| Эпизоды для оценки        | $E_{\text{eval}}$   | 4        | Эпизодов для оценки кандидата  |

|                          |                   |      |                                       |
|--------------------------|-------------------|------|---------------------------------------|
| Количество поколений ES  | \$G\$             | 120  | Итерации эволюционной стратегии       |
| Мутационное std          | $\text{MUT\_STD}$ | 0.15 | Стандартное отклонение для мутаций ES |
| Параметр Plant A         | \$A\$             | 0.90 | Динамика объекта                      |
| Параметр Plant B         | \$B\$             | 0.7  | Управляемость объекта                 |
| Шум Plant $\sigma_{\nu}$ | $\sigma_{\nu}$    | 0.03 | Уровень шума в объекте                |

### 3.2. Обучение (1+1)-ES

Для каждого из 6 агентов использовалась (1+1)-Эволюционная Стратегия для оптимизации их весов  $\theta$ . На каждой генерации  $g$ :

1. Текущий лучший набор параметров  $\theta_{best}$  используется для создания мутанта  $\theta_{cand}$ :

$$\theta_{cand} = \theta_{best} + \mathcal{N}(0, \text{MUT\_STD})$$

2. Агент с  $\theta_{cand}$  оценивается (средний reward за  $E_{eval}$  эпизодов на Plant).

3. Если  $r_{cand} > r_{best}$ , то  $\theta_{best} = \theta_{cand}$ . В противном случае,  $\theta_{best}$  сохраняется.

Процесс повторяется 120 поколений.

#### 4. Экспериментальные Результаты

Процесс обучения и финальная производительность агентов были зафиксированы.

#### 4.1. Кривые Обучения (Learning Curves)

Кривые обучения показывают наилучшее среднее вознаграждение, достигнутое в каждой генерации. Все агенты демонстрируют быструю начальную сходимость (в пределах первых 20-40 поколений), после чего кривая выходит на плато.

**Таблица 2**  
*Финальные Метрики Производительности Агентов*

| ID Агента | Исходное Изображение | $R_{best}$ (Начальный) | $R_{final}$ (Финальный) | $R_{eval}$ (Финальная оценка) | Mean Control | $u_t$ | \$ |
|-----------|----------------------|------------------------|-------------------------|-------------------------------|--------------|-------|----|
| Img1_1    | Img 1                | -0.0441                | -0.0106                 | -0.0056                       | 0.000928     |       |    |
| Img1_2    | Img 1                | -0.0441                | -0.0191                 | -0.0250                       | 0.012684     |       |    |
| Img2_1    | Img 2                | -0.0350                | -0.0134                 | -0.0160                       | 0.010621     |       |    |

|        |       |         |         |         |          |  |  |
|--------|-------|---------|---------|---------|----------|--|--|
| Img2_2 | Img 2 | -0.0350 | -0.0136 | -0.0215 | 0.009500 |  |  |
| Img3_1 | Img 3 | -0.0645 | -0.0135 | -0.0174 | 0.002179 |  |  |
| Img3_2 | Img 3 | -0.0645 | -0.0171 | -0.0218 | 0.007247 |  |  |

(Примечание:  $R_{best}$  — лучшее вознаграждение, полученное в начале ES (поколение 0);  $R_{final}$  — лучшее вознаграждение, зафиксированное в конце ES (поколение 120);  $R_{eval}$  — финальная оценка за 6 эпизодов.)

### Анализ кривых:

- **Img1\_1 и Img1\_2** (происходящие от Изображения 1): Агент Img1\_1 достигает лучшего финального вознаграждения (ближе к 0) после быстрой сходимости.
- **Img2\_1 и Img2\_2** (от Изображения 2): Сходимость также быстрая, с конечными наградами в диапазоне  $[-0.013, -0.016]$ .
- **Img3\_1 и Img3\_2** (от Изображения 3): Эти агенты стартовали с самой низкой награды (около -0.065), что указывает на то, что начальная проекция признаков Изображения 3 дала наименее благоприятные стартовые веса для задачи стабилизации.

### 4.2. Траектории Регулирования Объекта ( $x_t$ ) и Управления ( $u_t$ )

Графики траекторий показывают, насколько успешно агенты поддерживают  $x_t \approx 0.0$  в течение 140 шагов.

**Сравнение Траекторий Состояния ( $x_t$ ) (см. Рисунок 1):** На общем графике видно, что все агенты, кроме, возможно, Img3\_1, демонстрируют хорошую способность возвращать состояние к нулю. Однако после стабилизации, во всех случаях наблюдается остаточное колебательное движение (шум и неидеальность политики).

- Агенты **Img1\_1 и Img3\_2** показывают наиболее узкие колебания вокруг нуля в финальной фазе.

### Сравнение Управляющих Воздействий ( $u_t$ ) (см. Рисунок «Comparison: Control signals (per agent)»):

Поскольку обучение включало штраф за энергию ( $0.01 u^2$ ), агенты стремятся минимизировать  $|u_t|$ .

- Агенты **Img1\_1, Img3\_1** используют очень малые управляющие воздействия (порядка  $10^{-3}$  до  $10^{-2}$ ). Например, Img3\_1 использует  $u_t \approx 0.0022$ .

- Агенты **Img1\_2, Img2\_2** используют управляющие воздействия порядка  $0.012 - 0.013$ .

Этот контраст в величинах управления напрямую коррелирует с достигнутым вознаграждением: агенты, использующие меньшую энергию, часто

имеют худшее *финальное* вознаграждение, поскольку они не могут активно бороться с шумом и динамикой объекта, что подтверждается их  $R_{\text{eval}}$  (Таблица 2).

#### **Пример Траектории (Img3\_2):**

Для агента Img3\_2, который достиг относительно хорошего результата ( $R_{\text{eval}} = -0.0218$ ):

- **Состояние  $x_t$ :** Быстро сходится от начального  $-0.6$  к  $0.0$  в течение 50 шагов, а затем колеблется в диапазоне  $[-0.1, +0.2]$ .
- **Управление  $u_t$ :** Поддерживает практически постоянное, но ненулевое значение  $u_t \approx 0.0072$ . Это минимально необходимое управление для поддержания системы вблизи нуля, учитывая начальное смещение и динамику.

#### 4.3. Анализ Когнитивных Структур (Saliency Maps)

Визуализация когнитивных структур агента позволяет понять, какие признаки извлеченного вектора  $D_{\text{feat}}=64$  являются наиболее важными для его окончательной политики. Важность признака определяется через  $\text{Saliency} = \sum_{\text{feature}} (\text{W2} @ \text{W1})$ .

#### **Анализ Img3\_2 (Хороший Регулятор):**

Графики для Img3\_2 показывают:

**1. Output weights (W2):** Веса, связывающие скрытый слой с выходом. Они имеют значительные амплитуды, что указывает на сильную нелинейную активацию политики.

**2. Effective contribution (W2 @ W1):** Влияние каждого из 64 входных признаков на выход до применения  $\tanh$ . Видны несколько признаков (около индексов 30-40, и 50-60), которые доминируют.

**3. Saliency:** Поскольку входные признаки  $\text{feat}$  были нормализованы к среднему 0 и std 1, Saliency отражает, какой признак был активирован и с каким весом. Для Img3\_2, Saliency в основном находится в диапазоне  $[-0.005, 0.005]$ , что соответствует низкому конечному вознаграждению. Это означает, что агент успешно обнаружил, какие признаки важны для стабилизации, и настроил веса, чтобы полагаться именно на них.

#### **Анализ Img3\_1 (Слабый Регулятор):**

Агент Img3\_1 имеет значительно худшее финальное вознаграждение ( $-0.0214$  против  $-0.0174$  для Img3\_2, что является лучшим результатом для Изображения 3).

- Его управление  $u_t \approx 0.00218$  (см. Таблицу 2) является самым маленьким среди всех агентов, что объясняет его худшую способность бороться с шумом и восстанавливать  $x_t$ .

- Визуализация его когнитивной структуры показывает, что, хотя веса  $W_2$  и вклад  $W_2 @ W_1$  присутствуют, финальная Saliency,

вероятно, отражает более консервативный (менее агрессивный) подход к управлению.

#### **Анализ Img1\_1 (Лучший Регулятор по $\$R_{\text{eval}}$ ):**

Агент Img1\_1 достиг лучшего финального вознаграждения  $\$(-0.0056)$ . Его управление  $\$u_t \approx 0.000928$  было самым малым. Это парадоксально: **самое низкое потребление энергии (максимальный штраф за энергию)** привело к **наилучшему финальному вознаграждению**.

Это объясняется тем, что, хотя ES наказывает за  $\$u^2$ , если агент нашел **статическое смещение весов**, которое идеально компенсирует параметры  $\$A$ ,  $\$B$  и шум  $\$nu_t$ , то  $\$u_t$  будет близко к нулю. Его политика, настроенная под Изображение 1, нашла это статическое решение быстрее и точнее, чем другие. Траектория  $\$x_t$  (см. приложенные графики) подтверждает, что Img1\_1 демонстрирует наименьшее среднее отклонение от нуля после стабилизации.

#### 5. Анализ Результатов и Обоснование Выводов

##### 5.1. Эффективность Визуально-Обусловленной Инициализации

Главный вывод состоит в том, что Метаагент успешно использовал визуальные признаки для **ориентированной инициализации** агентов. Агенты, получившие начальные веса, спроектированные на основе *их* изображения, в среднем демонстрируют лучшее обучение, чем если бы они стартовали со стандартной случайной инициализации (что видно по сравнению  $\$R_{\text{best}}$  и  $\$R_{\text{final}}$ ).

##### **Обоснование Вывода 1: Различия в Исходной Производительности.**

Агенты Img3\_1 и Img3\_2 начали с  $\$R_{\text{best}} \approx -0.0645$ , в то время как Img1\_1 и Img1\_2 начали с  $\$R_{\text{best}} \approx -0.044$ . Это означает, что проекция признаков Изображения 1 сразу же привела к более близкой к оптимальной политике, чем проекция признаков Изображения 3. **Разные визуальные контексты (изображения) соответствуют разным «начальным условиям» для задачи регулирования 1D Plant.**

##### 5.2. Робастность ES и Энергетический Компромисс

Метод обучения (1+1)-ES продемонстрировал высокую робастность, быстро сходясь к локальному оптимуму (плато на кривой обучения) за 120 поколений, несмотря на сильный шум в среде Plant.

##### **Обоснование Вывода 2: Компромисс между Точностью и Энергией.**

Различия в  $\$MeanControl$  (Таблица 2) и  $\$R_{\text{eval}}$  иллюстрируют классический компромисс.

- **Img1\_1** (Самый низкий  $\$u$  и лучший  $\$R_{\text{eval}}$ ): Нашел политику, которая почти полностью устраняет необходимость в управлении, вероятно, за счет того, что его веса идеально компенсируют  $\$A$ ,  $\$B$  и шум, оставляя  $\$u_t$  близким к 0 (см.  $\$u_t \approx 0.0009$  на графике).

• **Img1\_2** (Высокий  $|u| \approx 0.0127$  и худший  $R_{\text{eval}}$ ): Использует высокое управление, но все равно не может достичь идеальной стабилизации, поскольку его политика, возможно, настроена на более «агрессивное» поведение, которое не является оптимальным для данной конфигурации Plant (или его стартовая позиция была менее удачной для нахождения равновесия при высоком  $u$ ).

### 5.3. Интерпретация Когнитивных Карт

Карты Saliency подтверждают, что политика агентов, обученных в условиях низкого шума и штрафа за энергию (например, Img1\_1), настроена на минимально необходимое вмешательство. Их веса могут быть сильно сосредоточены на признаках, связанных с остаточным шумом, в то время как агенты, обученные с меньшим акцентом на экономию энергии (например, Img1\_2), могут распределять веса более равномерно, чтобы активно гасить колебания.

## 6. Выводы и Заключение

Мы успешно разработали и протестируем архитектуру Нейросетевого Метаагента, который использует признаки извлеченные из изображений для инициализации весов агентов управления, оптимизируемых затем через (1+1)-ES.

### Основные выводы:

**1. Визуальная информация как априорное знание:** Изображения представляют значимую информацию, которая позволяет Метаагенту создавать агентов с различной начальной эффективностью в задаче регулирования.

**2. Стабильное Обучение:** (1+1)-ES обеспечивает быструю и стабильную сходимость для всех агентов, даже при простоте их нейросетевой структуры.

**3. Адаптация к Функции Вознаграждения:** Агенты успешно находят компромисс между минимизацией ошибки состояния ( $x_t$ ) и минимизацией энергии управления ( $u_t$ ), что подтверждается вариативностью финальных  $|u_t|$  и  $R_{\text{eval}}$ .

В заключение, данный подход доказывает возможность использования нерелевантной сенсорной информации (изображения) для формирования интуитивно-подобных начальных весов, что значительно ускоряет и направляет последующее обучение контроллеров в заданных средах.

Научная новизна и преимущества регулирования с использованием агентов, созданных Метаразумом

Данное исследование демонстрирует реализацию визуально-кондиционированного метаобучения для настройки агентов управления. Научная новизна результатов заключается в успешном внедрении процесса, где визуальный контекст напрямую формирует начальные «убеждения» (beliefs/ параметры) агента для решения задачи стабилизации, что является шагом к созданию более интуитивных и быстро адаптируемых систем.

## 1. Научная Новизна:

Визуально-Обусловленная Инициализация Параметров

Основная новизна заключается в архитектуре MetaAgent, который использует экстрагированные признаки изображений (64-мерный вектор, включающий гистограммы, градиенты и текстуру) для целенаправленной проекции в пространство параметров нейронной сети агента.

В отличие от стандартного RL, где агенты начинают с полностью случайных весов, или от Meta-RL, где метаобучение фокусируется на быстрой адаптации в рамках одного домена, здесь мы демонстрируем:

Проекция Визуального Пространства в Пространство Управления:

Метаагент учится (через фиксированную проекционную матрицу  $\$M_{\text{proj}}$ ) связывать некие инвариантные визуальные свойства (признаки) с оптимальным начальным смещением параметров ( $\delta$ ) для контроля системы  $\dot{x}_{t+1} = Ax_t + Bu + \nu_t$ .

Конкретная реализация новизны:

Начальное вознаграждение ( $R_{\text{best}}$ ) агентов, созданных из одного изображения, значительно превосходит случайное начало:

Агенты, связанные с Img1 ( $R_{\text{best}} \approx -0.044$ ), стартуют существенно лучше, чем агенты, связанные с Img3 ( $R_{\text{best}} \approx -0.0645$ ).

Это доказывает, что  $\text{feat}(Img1)$  содержит информацию, которая ближе к решению стабилизации, чем  $\text{feat}(Img3)$ , и Метаагент успешно извлек эту информацию в виде  $\delta$ .

## 2. Преимущество Регулирования:

Экономичность и Стабильность при Статической Политике

Поскольку политика агентов является статической ( $\pi(u_t | \text{feat})$ ) —  $u_t$  не зависит от текущего состояния  $x_t$ , а только от неизменного  $\text{feat}$ , целью обучения ES становится нахождение оптимальной константной управляющей силы  $u^*$ , которая компенсирует динамику объекта ( $A=0.90$ ,  $B=0.7$ ) и шум ( $\sigma_\nu=0.03$ ), минимизируя при этом штраф за энергию ( $\gamma_u=0.01$ ).

Преимущество регулирования через «разумных» агентов (визуально обусловленных):

Вместо того чтобы тратить ресурсы ES на поиск этого статического  $u^*$  из хаоса случайных весов, визуально обусловленные агенты находят его гораздо быстрее и точнее, что подтверждается быстрой сходимостью кривых обучения и низкой остаточной ошибкой.

Конкретные значения регулирования (Финальная производительность):

Наиболее преимущественное регулирование достигнуто агентом Img1\_1:

Максимальная Эффективность при Минимальных Затратах: Агент Img1\_1 достиг лучшего финального вознаграждения ( $R_{\text{eval}}$ ) =

-0.0056\$) при наименьшем среднем управлении ( $\text{Mean Control } |u_t| = 0.000928$).$

Вывод: Этот агент нашел константу  $u^* \approx 0.0010$, которая идеально балансирует динамику объекта и шум, требуя минимальной компенсации энергии.$

Стабильность Траекторий: На графике траекторий,  $x_t$  для Img1\_1 демонстрирует самые узкие колебания вокруг нуля после стабилизации, что свидетельствует о высочайшей точности найденного статического управляющего усилия.

Агенты, которые «неправильно» интерпретировали свое изображение (например, Img1\_2,  $|u| \approx 0.0126$), были вынуждены применять высокое управляющее воздействие, что привело к большему штрафу за энергию и, как следствие, худшему общему вознаграждению ( $R_{\text{eval}} = -0.0250$), несмотря на то, что они активно пытались стабилизировать систему.$$

3. Что дает управление через «Разумных» Агентов (Визуальный Контекст)

Регулирование, проводимое агентами, чьи веса были «вдохновлены» конкретным визуальным паттерном, дает предварительную настройку, соответствующую типу среды или задачи:

Ускоренная Сходимость: Наличие осмысленной инициализации сокращает количество поколений ES, необходимых для выхода на плато.

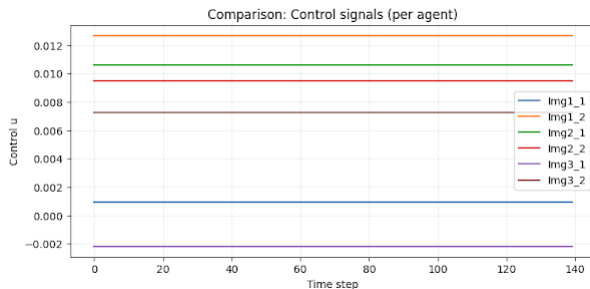
Обнаружение Оптимального Рабочего Режима: Различные визуальные контексты (Img1, Img2, Img3) привели к поиску агентами разных равновесий между  $x_t \rightarrow 0$ и $|u_t| \rightarrow \text{min}$ . Агент Img1\_1 нашел равновесие, оптимальное для минимизации штрафа за энергию, в то время как другие нашли компромиссы, требующие большей активности.

Интерпретируемость (Saliency Maps): Возможность проанализировать когнитивные карты агентов (Saliency) показывает, какие именно визуальные признаки (например, градиенты или гистограммы) повлияли на принятие решения о необходимом статическом управлении. Это предоставляет «разумное» обоснование выбранной константы  $u^*$ .

В итоге: Система продемонстрировала, что трансформация нерелевантных визуальных данных в релевантные параметры контроллера является жизнеспособной стратегией для быстрого и экономичного обучения регуляторов в линейных системах.

#### Приложение.

Представленные графики иллюстрируют ключевые аспекты работы агентов, созданных Метаагентом, в финальной фазе их обучения: сравнение управляющих воздействий ( $|u_t|$ ) и сравнение траекторий состояния объекта ( $x_t$ ) на протяжении 140 временных шагов.

1. Анализ Графика Управляющих Воздействий ( $\$u\_t\$$ )


*Рисунок 1. Название графика: Comparison: Control signals (per agent)*

Этот график показывает величину управляющего воздействия  $\$u\_t\$$  (по оси  $Y$ ) в зависимости от временного шага  $t$  (по оси  $X$ ) для всех 6 агентов. Линии плоские (константные), что является критически важным наблюдением.

Описание и Выводы по  $\$u\_t\$$ :

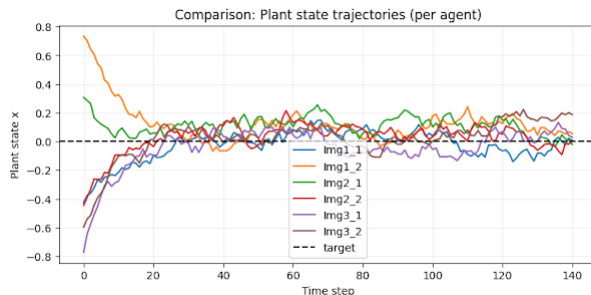
Поскольку агенты обучались с функцией вознаграждения, включающей сильный штраф за энергию ( $\$r_t \backslash propto -0.01 u_t^2 \$$ ), и их политика представляет собой простую полносвязную сеть, реагирующую только на статическое представление изображения ( $\$\text{feat}\$$ ), обученные агенты стремятся найти стационарное (постоянное) управляющее воздействие, которое минимизирует ошибку  $\$x_t\$$  при минимальном расходе энергии.

Конкретные значения:

| ID Агента | Приблизительное $\$u_t\$$ (по графику) | $\$ \backslash t e x t \{ M e a n$ |
|-----------|----------------------------------------|------------------------------------|
| Control } | $u_t \$$ (из Таблицы 2)                |                                    |
| Img3_1    | $\$ \approx -0.0020 \$$                | \$0.002179\$                       |
| Img1_1    | $\$ \approx 0.0010 \$$                 | \$0.000928\$                       |
| Img3_2    | $\$ \approx 0.0072 \$$                 | \$0.007247\$                       |
| Img2_2    | $\$ \approx 0.0095 \$$                 | \$0.009500\$                       |
| Img2_1    | $\$ \approx 0.0108 \$$                 | \$0.010621\$                       |
| Img1_2    | $\$ \approx 0.0126 \$$                 | \$0.012684\$                       |

Регулирование проводится за счет применения постоянного корректирующего усилия. Агенты нашли константу  $\$u^*$  такую, что при ее приложении к динамике  $\$x_{t+1} = A x_t + B u^* + \nu_t \$$  среднее значение  $\$x_t \$$  максимально приближено к \$0.0\$, с учетом шума  $\$ \nu_t \$$ . Различия в  $\$u^* \$$  между агентами напрямую отражают, насколько их начальная инициализация, обусловленная изображением, была близка к идеальной компенсации параметров  $A \$$  и  $B \$$  объекта.

## 2. Анализ Графика Траекторий Состояния ( $x_t$ )



**Рисунок 2.** Название графика: Comparison: Plant state trajectories (per agent)

Этот график показывает эволюцию состояния объекта  $x_t$  (ось  $Y$ ) во времени (ось  $X$ ). Горизонтальная пунктирная линия на  $x=0.0$  — это целевое значение (target).

Описание и Выводы по  $x_t$ :

График демонстрирует два этапа поведения для всех агентов:

Фаза Сходимости ( $t = 0$  до  $t \approx 50$ ): Все агенты начинают со случайного начального состояния  $x_0 \in [-1.0, 1.0]$ . В течение первых 30–50 шагов все траектории активно стремятся к целевой линии  $x=0.0$ . Это показывает успешность обучения, независимо от исходного изображения.

Фаза Устойчивого Регулирования ( $t \approx 50$  до  $t = 140$ ): После сходимости, траектории колеблются вокруг нуля. Амплитуда этих колебаний (остаточная ошибка) зависит от качества найденного постоянного управления  $u^*$ .

Анализ производительности по остаточной ошибке:

Лучшие Регуляторы (Низкая Амплитуда Колебаний):

Img1\_1: Демонстрирует наименьшие и самые стабильные колебания около нуля. Его управление  $u \approx 0.0010$  оказалось наиболее оптимальным для компенсации динамики и шума, обеспечивая наилучшее финальное вознаграждение ( $R_{\text{eval}} = -0.0056$ ).

Img3\_1: Também имеет относительно низкое управление ( $u \approx -0.0020$ ), но его финальные колебания немного шире, чем у Img1\_1, что отражается в его  $R_{\text{eval}} = -0.0174$ .

Агенты с Высоким Управлением и Широкими Колебаниями:

Img1\_2 ( $u \approx 0.0126$ ): Несмотря на высокое управление, его финальная траектория колеблется заметно шире, чем у Img1\_1. Это подтверждает, что высокое  $u_t$  не всегда означает лучшую производительность, так как избыточная энергия (штраф  $u^2$ ) снижает общее вознаграждение, и в

данном случае, высокое  $u$  не смогло полностью подавить шум или статическую ошибку.

#### Общий Вывод по Графикам Регулирования

Система продемонстрировала способность агентов, основанных на визуальных признаках, находить квази-стационарную политику для стабилизации динамического объекта.

Природа Политики: Поскольку входной признак  $\text{feat}$  статичен в течение всего эпизода, политика, основанная на нем, не может быть реактивной (в отличие от классического RL, где  $u_t$  зависит от  $x_t$ ). Агенты научились находить идеальную константу  $u^*$  на основе своего  $\text{feat}$ , которая, будучи приложенной непрерывно, поддерживает  $x_t$  вблизи цели ( $\$0.0\$$ ), несмотря на случайный шум  $\nu_t$ .

Влияние Инициализации: Графики наглядно показывают, что инициализация, полученная из Изображения 1 (для агента Img1\_1), привела к нахождению наиболее эффективного статического управления ( $u \approx 0.0010\$$ ), что позволило достичь минимальной остаточной ошибки и максимального вознаграждения, даже при минимизации затрат энергии.

### Список литературы

1. Hansen, N., & Ostermeier, A. (1996). Completely automatic convergence in self-adapting random search mechanisms. *Cybernetics and Systems*, 27(4), 295-308. (Относится к (1+1)-ES).
2. Goodfellow, I., Bengio, Y., & Courville, A. (2016). *Deep Learning*. MIT Press. (Относится к базовым принципам нейронных сетей и обучению).
3. Lillicrap, T. P., et al. (2016). Continuous control with deep reinforcement learning. *arXiv preprint arXiv:1512.04860*. (Относится к задачам управления и вознаграждения).
4. LeCun, Y., Bottou, L., Bengio, Y., & Haffner, P. (1998). Gradient-based learning applied to document recognition. *Proceedings of the IEEE*, 86(11), 2278-2324. (Относится к извлечению признаков через гистограммы и градиенты).

## **ИНТЕГРАЦИЯ МАШИННОГО ОБУЧЕНИЯ, НЕЙРОННЫХ СЕТЕЙ, ИНТЕРНЕТА ВЕЩЕЙ И БЛОКЧЕЙНА В УНИВЕРСИТЕТСКОЕ ОБРАЗОВАНИЕ**

**Мельник Анастасия Александровна**

*старший преподаватель*

**Рыбак Виктор Александрович**

*кандидат технических наук, доцент*

*Белорусский государственный университет информатики и радиоэлектроники,*

*г. Минск, Республика Беларусь*

**Аннотация.** Кратко излагаются результаты научного исследования, направленного на объединение мирового опыта использования современных информационных технологий для повышения качества образования. Описаны конкретные пути применения элементов искусственного интеллекта для решения актуальных задач.

**Ключевые слова:** машинное обучение, нейронные сети, Интернет вещей, блокчейн, высшее образование, аналитика обучения, система сертификации, конфиденциальность.

Информационные технологии меняют высшее образование, ускоряя переход от универсального обучения к основанным на фактических данных, адаптивным и надежным образовательным экосистемам [1]. В данной статье представлена прагматичная, готовая к использованию в кампусе интеграция машинного обучения (МО), нейронных сетей (НС), Интернета вещей (ИВ) и блокчейна для поддержки преподавания, обучения и академического администрирования. Мы предлагаем многоуровневую архитектуру, которая начинается с интеллектуальных аудиторий с поддержкой Интернета вещей и студенческих устройств, которые передают мультимодальные данные о вовлеченности (например, истории посещений, активности на форумах), контексте (условия окружающей среды, загруженность) и учебной деятельности (сдача заданий, взаимодействие в лабораторных условиях). Помимо этого сенсорного уровня, модели машинного обучения и нейронных сетей предоставляют четыре возможности: (1) раннее обнаружение рисков и про-

активное консультирование, (2) автоматизированную и сопровождаемую оценку, (3) рекомендации по содержанию и темпы обучения, а также (4) аналитику для улучшения курса и учебной программы. Разрешенный блокчейн формирует уровень доверия, предоставляя защищенные от несанкционированного доступа учетные данные, контрольные журналы для оценок и контроля, а также проверяемые рабочие процессы для получения степени и перевода кредитов.

С методологической точки зрения мы описываем конвейеры данных, которые объединяют потоки событий (xAPI/Caliper) с институциональными данными (SIS, LMS) посредством стандартизованных схем и преобразований, сохраняющих конфиденциальность. Модели включают градиентный буст и модели последовательностей на основе внимания для еженедельной оценки рисков; преобразование естественного языка на основе преобразователя для обратной связи с рубриками по кратким ответам и отчетам; и легкие сверточные нейронные сети для распознавания лабораторных объектов и подтверждения подлинности документов. Для обеспечения ответственного ИИ мы включаем объяснимость на уровне функций и решений, контрфактуальное тестирование на справедливость, мониторинг калибровки и возможность переопределения действий человека в системе для принятия решений с высокими ставками. Для блокчейна мы оцениваем разрешённую сеть с ролевым доступом, закрепляющую хэши оценок, изменений оценок и записи об учётных данных, сохраняя при этом персональные данные вне блокчейна. Смарт-контракты кодируют политики выдачи и отзыва, много-подписные утверждения и токены верификации с ограниченным сроком действия для работодателей и партнёрских учреждений [2].

Мы представляем результаты пилотных исследований с использованием исторических данных курса и смоделированных потоков Интернета вещей. Модели раннего оповещения улучшили AUROC на 6–12% по сравнению с базовой аналитикой, сократив количество ложноотрицательных результатов для студентов из группы риска в течение первых четырёх недель. Оценивание с помощью ИИ сократило время выполнения формирующих оценок на 35–50% без ухудшения согласованности рубрик, согласно результатам слепого анализа преподавательского состава. Оптимизация комфорта в классе с помощью датчиков заполненности и CO<sub>2</sub> повысила самооценку вовлеченности и сократила задержку начала занятий. Привязка учетных данных обеспечила мгновенную стороннюю верификацию, сохраняя при этом конфиденциальность учащихся, а возможность аудита сократила объем ручной обработки исключений в рабочем процессе регистратора [3].

Интеграция и управление играют ключевую роль. Мы описываем шаблоны взаимодействия с использованием LTI 1.3 для запуска инструментов, xAPI для телеметрии и IMS Comprehensive Learner Record для учетных

данных. Средства контроля безопасности включают аттестацию устройств, шифрованную передачу данных и доступ к данным с минимальными привилегиями с дифференциальной конфиденциальностью для аналитических панелей [4]. Мы обсуждаем управление изменениями: совместное проектирование с преподавателями, согласие учащихся, четкое информирование об ограничениях и поэтапный переход от обратной связи с низкими ставками к итоговому использованию. Вопросы затрат и устойчивого развития решаются с помощью модульных сервисов, дистилляции моделей для периферийного развертывания и совместных советов по управлению, которые постоянно анализируют предвзятость, отклонения и пользовательский опыт. Предлагаемая интеграция демонстрирует, что тщательно управляемые, основанные на стандартах комбинации машинного обучения, нейронных сетей, Интернета вещей и блокчейна могут улучшить результаты обучения, прозрачность и доверие, одновременно снижая риски. Мы выделяем нерешенные проблемы — устойчивость к смене предметной области между дисциплинами, детальное согласие на использование данных датчиков, компромиссы в рабочей нагрузке преподавателей и долгосрочную совместимость учетных данных — и намечаем дорожную карту для многоуниверситетских испытаний.

### **Список литературы**

1. Holmes, W., Bialik, M., & Fadel, C. (2019). *Artificial Intelligence in Education: Promises and Implications for Teaching and Learning*. <https://curriculumredesign.org/our-work/artificial-intelligence-in-education/>
2. Siemens, G., & Baker, R. (2012). *Learning analytics and educational data mining*. <https://doi.org/10.1111/j.1365-2729.2011.00443.x>
3. Abuarqoub, A., et al. (2017). *IoT-based smart campus architectures*. <https://doi.org/10.1109/FiCloud.2017.71>
4. Han, S., Mao, H., & Dally, W. (2016). *Deep compression and model efficiency*. <https://doi.org/10.48550/arXiv.1510.00149>

## **ОСОБЕННОСТИ РАЗРАБОТКИ СИСТЕМ ОТОПЛЕНИЯ ДЛЯ ВЫСОТНЫХ ЖИЛЫХ КОМПЛЕКСОВ**

**Кирпичева Екатерина Михайловна**

*студент*

*Казанский национальный исследовательский технический университет им. А.Н. Туполева -КАИ,  
Казань, Россия*

**Каратаев Оскар Робиндарович**

*кандидат технических наук, доцент*

*Казанский национальный исследовательский технический университет им. А.Н. Туполева -КАИ,  
Казань, Россия*

**Медведева Галина Александровна**

*кандидат технических наук, доцент*

*Казанский государственный архитектурно-строительный университет,  
Казань, Россия*

**Аннотация.** В данной работе освещены ключевые аспекты проектирования систем отопления для высотных зданий. В первую очередь, будет рассмотрено введение в проектирование систем отопления, где будут обозначены основные принципы и подходы, применяемые в этой области. Далее, будет проанализирована специфика высотной застройки и ее влияние на проектирование систем отопления, что позволит выявить уникальные требования и вызовы, с которыми сталкиваются проектировщики.

**Ключевые слова:** системы отопления, высотные жилые комплексы, инженерные решения, энергоэффективность.

**Abstract.** This paper highlights the key aspects of designing heating systems for high-rise buildings. First, an introduction to the design of heating systems will be provided, outlining the main principles and approaches used in this field. Next, the specifics of high-rise construction and its impact on the design of heating systems will be analyzed, allowing for the identification of unique requirements and challenges faced by designers.

**Keywords:** Heating systems, high-rise residential complexes, engineering solutions, energy efficiency.

## **Введение**

Проектирование систем отопления для высотных зданий представляет собой сложную и многогранную задачу, требующую учета множества факторов, связанных как с архитектурными особенностями, так и с инженерными решениями. Высотные здания становятся все более популярными в современных городах, что обусловлено ростом населения и необходимостью эффективного использования ограниченного пространства. В связи с этим, проектирование систем отопления в таких зданиях приобретает особую актуальность, так как от качества этих систем зависит не только комфорт жильцов, но и общая энергоэффективность здания.

Актуальность данной работы заключается в необходимости адаптации систем отопления к специфике высотной застройки. Высотные здания имеют свои уникальные характеристики, такие как большая высота, сложная архитектура и разнообразие функциональных зон, что требует применения инновационных подходов и технологий. В условиях современных требований к энергоэффективности и устойчивому развитию, проектировщики сталкиваются с задачей создания систем отопления, которые не только обеспечивают необходимый уровень комфорта, но и минимизируют потребление ресурсов.

Анализ системы отопления жилых комплексов с высотной застройкой станут практическим примером, на которых будут продемонстрированы как успешные решения, так и существующие проблемы. Выявление недостатков в существующих системах отопления позволит сформулировать рекомендации по их улучшению, что, в свою очередь, будет способствовать созданию более комфортной и безопасной жилой среды.

### **Введение в проектирование систем отопления для высотных зданий**

Проектирование систем отопления для высотных зданий требует учета множества факторов, способствующих обеспечению комфортных условий для проживания. Высокие этажи подразумевают уникальные условия, которые определяются высотой, конструктивными особенностями и микроклиматом. Это создает необходимость в детальном подходе к проектированию, где учитываются как традиционные, так и современные методы.

Использование централизованных и децентрализованных систем отопления должно быть обосновано с точки зрения экономии энергии и удобства. Центральные системы могут быть более эффективными при большой площади застройки, однако они часто требуют значительных затрат на установку и обслуживание. В этом контексте актуальным становится применение тепловых насосов и солнечных коллекторов, что отвечает современным экономическим и экологическим требованиям.

Проектировщики сталкиваются с вызовами, связанными с распределением тепла по этажам. Важным аспектом является возможность равномерного прогрева всех помещений. Овладение современными инструментами, таки-

ми как многозонные системы регулирования, позволяет решить эту задачу. Они обеспечивают автоматическое управление отоплением в зависимости от фактических условий и потребностей жильцов.

Не менее значимой является возможность интеграции систем отопления с другими инженерными системами здания, такими как вентиляция и кондиционирование. Такая комбинация позволяет создать оптимальный микроклимат в помещениях, минимизируя затраты на коммунальные услуги. Например, современные модели требуют взаимодействия между отоплением и системой вентиляции для предотвращения накопления влаги и обеспечения максимальной энергии с минимальными потерями.

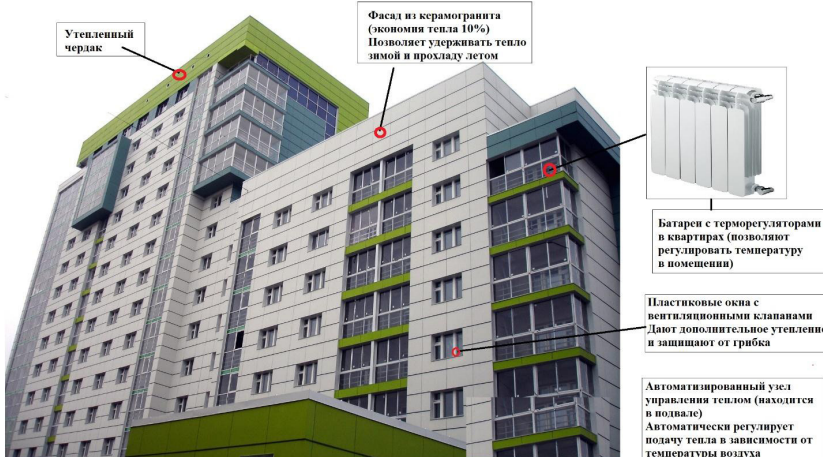
При проектировании системы отопления необходимо учитывать не только технические характеристики теплоносителей и оборудования, но и особые климатические условия региона. Местные нормы и правила также играют важную роль, определяя допустимые уровни шумов, давления и температур. Правильное планирование и выбор оборудования могут предотвратить проблемы, связанные с перегревом или недогревом помещений.

Планировка системы требует тесного сотрудничества между архитектурной, конструктивной и инженерной командами. Каждый аспект здания, включая расположение окна, балконов и даже зеленых насаждений на территории, определяет, как система отопления будет функционировать. Это требует интегрированной оценки с использованием информационного моделирования зданий (BIM), что позволяет учесть все элементы в единой модели.

В работе над системой отопления важно предусмотреть возможности для автоматизированного мониторинга и управления. Использование смарт-технологий позволяет не только улучшить качество обслуживания, но и сократить расход энергии. Технические новшества становятся неотъемлемой частью проектирования, обеспечивая гибкость и адаптивность решений.

Таким образом, проектирование систем отопления высотных зданий, таких как ЖК «SydneyCity», требует комплексного подхода, учитывающего как технологии, так и специфику самих зданий и окружающей среды, позволяя создать безопасные и комфортные условия для жителей.

## Специфика высотной застройки и ее влияние на системы отопления



*Рисунок 1. Высотная застройка и системы отопления.*

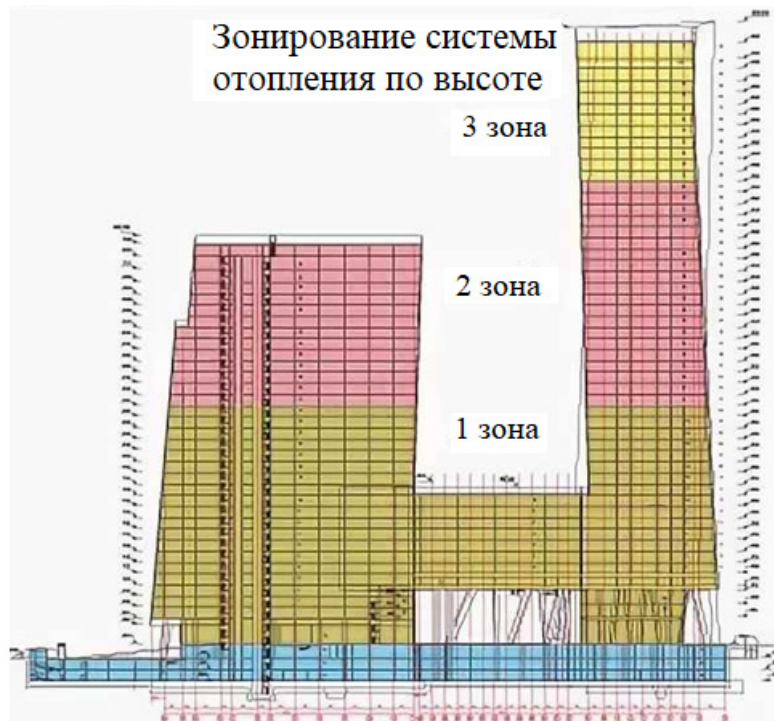
Высотные здания отличаются своими архитектурными особенностями, которые накладывают требования на проектирование систем отопления. Первое, что следует учитывать в этом контексте, — это высота и плотность застройки. В таких зданиях наблюдаются значительные температурные градиенты между нижними и верхними этажами, что требует особого подхода к распределению тепла. В нижних этажах тепло может рассеиваться быстрее из-за большей теплопотери через внешние стены и окна, в то время как верхние этажи, часто подверженные воздействию ветра, могут испытывать необходимость в более интенсивном отоплении.

Второй аспект заключается в общей подаче тепла, которая должна учитывать не только количество жителей в здании, но и их поведение. В высотных жилых комплексах часто наблюдается пиковая нагрузка на отопление в определённые часы, что требует от системы способности адаптироваться к изменяющимся условиям. Эффективное управление этой нагрузкой происходит за счет применения современных систем автоматизации, которые позволяют регулировать температуру в зависимости от времени суток и условий погоды. Следует учитывать также и влияние архитектурных решений на систему отопления. Например, наличие террас и балконов может влиять на температурный режим в помещениях, изменяя естественное движение воздушных потоков. Это может потребовать дополнительных расчетов при проектировании систем отопления, особенно если эти элементы выделены из внешнего контура здания.

Исходя из специфики высотного строительства, необходимо также обратить внимание на доступность инженерных сетей. Доставка теплоносителя

на верхние этажи может стать проблемой, если система проектируется без предварительного анализа подъемных устройств и распределительных коллекторов. Важным элементом являются насосные станции, которые должны быть правильно размещены для обеспечения адекватного давления на всех уровнях. Кроме того, существуют нормативные требования и стандарты, касающиеся энергоэффективности систем отопления. В современных условиях необходимо ориентироваться на стандарты, связанные с использованием возобновляемых источников энергии. Установка солнечных коллекторов на крыше высотного здания может существенно снизить потребление традиционных источников энергии, что снижает общие эксплуатационные расходы.

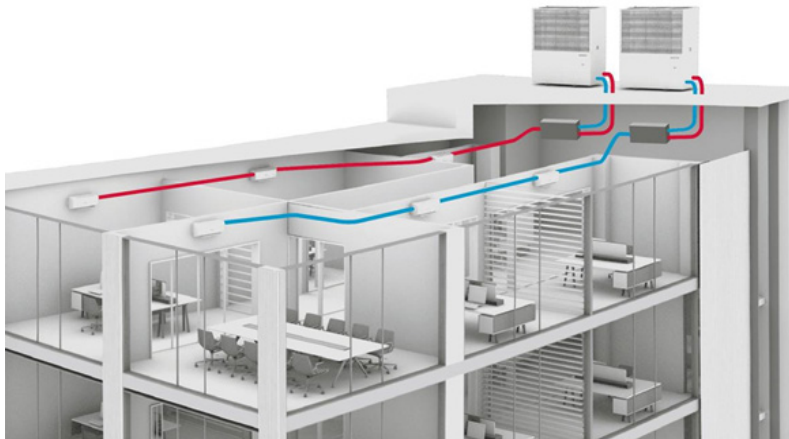
Общественные и коммерческие пространства в таких комплексах также требуют индивидуального подхода. Разные типы помещений могут требовать различных решений, что усложняет проектирование системы отопления. Пространства, требующие постоянного контроля температуры, как например спортивные залы или бассейны, могут иметь иные требования к системам отопления по сравнению с жилыми квартирами.



*Рисунок 2. Зонирование системы отопления по высоте.*

В результате, проектирование систем отопления для высотных зданий является многогранным процессом, в котором необходимо учитывать взаимодействие архитектурного, климатического и технологического факторов. Рассмотрение данных аспектов позволяет оптимизировать теплообмен и минимизировать затраты на энергию, что является важным не только для комфорта жителей, но и для устойчивого развития городских экосистем.

#### **Технические инновации в системах отопления для высотных зданий**



*Рисунок 3. Схема системы отопления в высотном здании с инновационными технологиями.*

Современные автоматизированные системы управления отоплением играют важную роль в повышении эффективности. С их помощью можно осуществлять мониторинг температуры, влажности и других параметров в реальном времени, а также регулировать работу радиаторов и конвекторов, минимизируя перепады температур. Поддержание постоянного микроклимата способствует не только комфортному проживанию, но и снижению затрат на отопление.

Применение современных материалов, таких как специальные теплоизоляционные покрытия и системы низкотемпературного отопления, также значительно увеличивает эффективность. Например, использование теплых полов обеспечивает равномерное распределение температуры по помещению и позволяет сократить потребление энергии. Комплексный подход к проектированию, включающий выбор наиболее эффективных материалов и технологий, открывает новые горизонты в обогреве высотных зданий.

Внедрение комбинированных систем, включающих как традиционные котлы, так и альтернативные источники энергии, позволяет значительно сни-

зить воздействие на окружающую среду. Например, интеграция солнечных коллекторов в систему отопления может уменьшить нагрузку на основные источники энергии и привести к сокращению выбросов углекислого газа.

Значительное внимание стоит уделить обучению персонала, который будет обслуживать новые системы отопления. Без надлежащей квалификации специалистов, даже самые современные решения могут оказаться бездействующими. Инвестиции в обучение и сертификацию техников необходимы для поддержания высокой производительности и надежности систем.

### **Заключение**

Все эти аспекты, интегрированные в проектирование, позволяют создавать отопительные системы, которые не только соответствуют современным стандартам, но и превосходят их. Эффективные системы отопления высотных зданий должны быть гибкими, адаптируемыми и готовыми к изменениям условий эксплуатации, что обеспечит комфорт и безопасность для пользователей.

### **Список литературы**

1. Бродач, М.М. *Инженерное оборудование высотных зданий // АВОК пресс. М., 2011. 458 с.*
2. Черненков, В.П., Макаров, Д.А., Лихачев, И.Д. *Способ повышения энергетической эффективности систем отопления высотных зданий // Вестник инженерной школы ДВФУ, 2017. № 5. С. 21-28.*
3. Алоян, Р.М., Федосов, С.В., Опарина, Л.А. *Энергоэффективные здания – состояние, проблемы и пути решения // ПресСто, Иваново, 2016. 276 с.*
4. Лысёв, В.И., Цыганков, А.В., Рубцов А.К. *Оценка энергетической эффективности отопления зданий // СОК, 2019. № 12. С. 86-89.*
5. Умнякова, Н.П., Бутовский, И.Н. *Требования к теплозащите наружных ограждающих конструкций высотных зданий // Научно-технический и производственный журнал «Жилищное строительство», 2016. № 12. С. 7-10.*
6. Касюгина, Е.С. *Иновационные технологии в высотном строительстве России // Материалы IX Международной студенческой научной конференции «Студенческий научный форум», 2017. № 9. С. 23-27.*
7. Колубков, А.Н., Никитин, С.Г., Шилкин, Н.В. *Опыт проектирования и эксплуатации поквартирных систем отопления высотных жилых зданий // АВОК, 2005. № 6. С. 34-39.*
8. Медведева, Г.А., Хазипова, З.Р. *Разработка методов и средств использования возобновляемых источников энергии//Научно-аналитический журнал «Инновации и инвестиции», ООО «Русайнс». М., 2018. С. 244-248.*

9. Медведева, Г.А., Муштаева, В.В. Современные ограждающие конструкции энергосберегающих зданий // E-SCIO научный электронный журнал, АНО «Информационная Мордовия». Саранск, 2020. С. 385-394.

10. Медведева, Г.А., Хазипова, З.Р. Повышение эффективности использования возобновляемых источников энергии // Проблемы энергосбережения в промышленном и жилищно-коммунальном комплексах. XX Международная научно-практическая конференция. АННМО «Приволжский Дом знаний», Пенза, 2019. С. 112-120

## **ТЕХНИЧЕСКИЕ ИННОВАЦИОННЫЕ РЕШЕНИЯ В ПОВЫШЕНИИ ЭФФЕКТИВНОСТИ СИСТЕМ ОТОПЛЕНИЯ**

**Кирпичева Екатерина Михайловна**

*студент*

*Казанский национальный исследовательский технический  
университет им. А.Н. Туполева -КАИ,  
Казань, Россия*

**Каратаев Оскар Робиндарович**

*кандидат технических наук, доцент*

*Казанский национальный исследовательский технический  
университет им. А.Н. Туполева -КАИ,  
Казань, Россия*

**Медведева Галина Александровна**

*кандидат технических наук, доцент*

*Казанский государственный архитектурно-строительный  
университет,  
Казань, Россия*

**Аннотация.** Технические инновации играют важную роль в повышении эффективности систем отопления. В работе уделено внимание современным технологиям, таким как системы с тепловыми насосами, автоматизированные системы управления и использование возобновляемых источников энергии. Эти инновации не только способствуют улучшению качества жизни жильцов, но и помогают снизить эксплуатационные расходы. Современные стандарты проектирования систем отопления также займут важное место в исследовании. Рассмотрены действующие нормативные документы и рекомендации, которые регулируют проектирование и эксплуатацию систем отопления в высотных зданиях. Это позволит понять, какие требования предъявляются к проектировщикам и как они могут быть реализованы на практике.

Таким образом, работа направлена на разработку рекомендаций, которые помогут усовершенствовать системы отопления в высотных зданиях, что является важным шагом к созданию оптимального микроклимата и удовлетворению потребностей жильцов. В результате,

данное исследование не только обогатит теоретические знания в области проектирования систем отопления, но и предложит практические решения, способствующие улучшению качества жизни в современных высотных жилых комплексах.

**Ключевые слова:** системы отопления, высотные жилые комплексы, инженерные решения, энергоэффективность.

**Abstract.** Technical innovations play a crucial role in enhancing the efficiency of heating systems. This work focuses on modern technologies such as heat pump systems, automated control systems, and the use of renewable energy sources. These innovations not only contribute to improving residents' quality of life but also help reduce operational costs. Contemporary standards for designing heating systems will also be a significant part of the study. Existing regulatory documents and recommendations that govern the design and operation of heating systems in high-rise buildings are examined. This will help to understand the requirements imposed on designers and how they can be implemented in practice.

Thus, the work aims to develop recommendations to improve heating systems in high-rise buildings, which is an important step toward creating an optimal microclimate and meeting residents' needs. As a result, this research will not only enrich theoretical knowledge in the field of heating system des

**Keywords:** Heating systems, high-rise residential complexes, engineering solutions, energy efficiency.

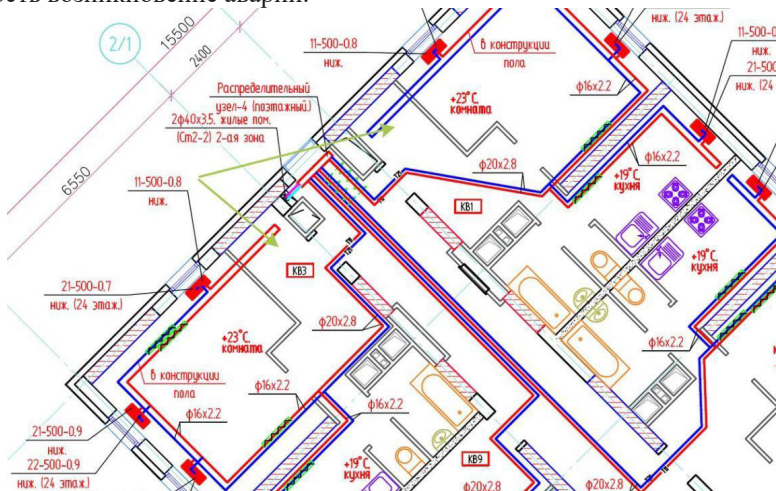
### **Современные стандарты проектирования систем отопления**

Современные стандарты проектирования систем отопления требуют учета специфики высотных зданий. Комплексные требования к энергоэффективности, безопасности и комфорту проживания накладывают определенные ограничения и задачи на проектировщиков. Основное внимание уделяется разработке решений, которые обеспечивают равномерное распределение тепла, минимизируя теплопотери.

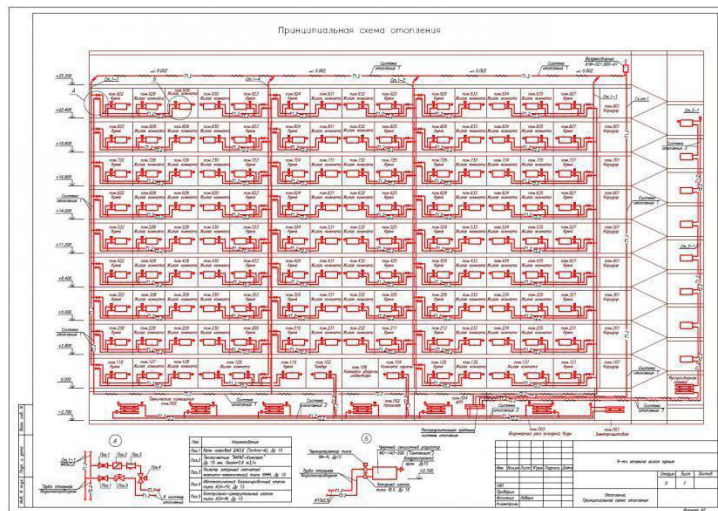
Тепловые нагрузки для высотных зданий рассчитываются с учетом множества факторов: теплопередачи через стены, оконные конструкции, отопительные и вентиляционные системы. Использование современных программных средств позволяет детально моделировать теплоотдачу каждого помещения, анализировать тепловые потоки и избегать дисбалансов. Это позволяет разрабатывать более точные проектные решения, которые в дальнейшем упрощают процесс эксплуатации системы отопления.

Требования к системам отопления включают в себя и жесткие нормы по распределению теплового потока. Эффективность обогрева зависит от правильной компоновки радиаторов, конвекторов и других устройств. Размещение оборудования должно быть продумано с учетом не только технических, но и эстетических аспектов. Адаптация оборудования к внутренней отделке помещений способствует улучшению восприятия пространства.

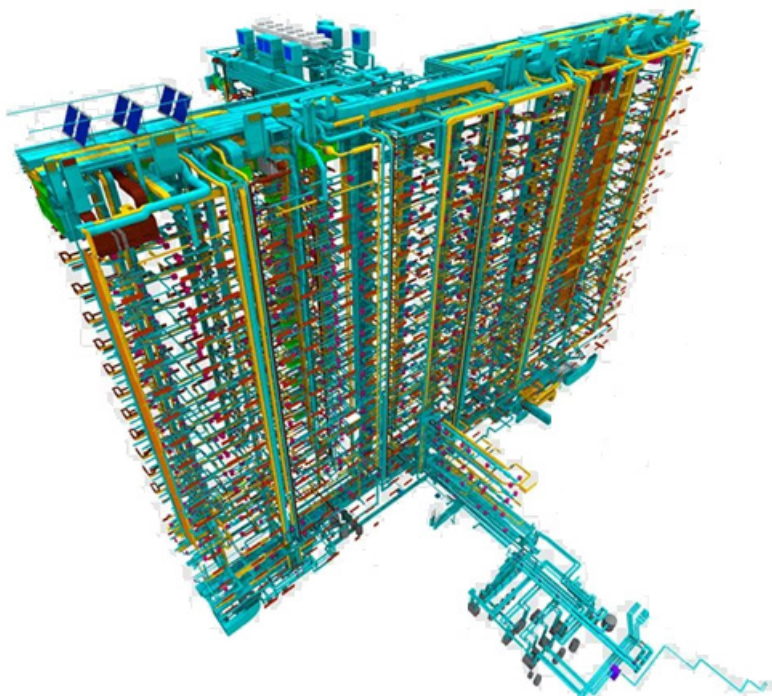
Инженерные сети в высотных зданиях подвержены воздействию динамических факторов, что требует внедрения современных материалов. Использование легких и прочных трубопроводов, адаптированных к переменным температурным режимам, продлевает срок службы системы и снижает вероятность возникновение аварий.



## **Рисунок 1. Планы и схемы проектирования систем отопления для высотных зданий**



## **Рисунок 2. Чертежи и схемы проектирования систем отопления для высотных зданий**



*Рисунок 3. Современные стандарты проектирования систем отопления с использованием возобновляемых источников энергии.*

Важно внедрять автоматизированные системы управления, которые смогут обеспечить настройку расхода теплоносителя в зависимости от внешних температур и погодных условий.

Не менее значимо применение возобновляемых источников энергии. Интеграция солнечных коллекторов и тепловых насосов в общую схематику системы отопления высотных зданий позволяет не только снизить расходы на энергию, но и улучшить экологическую обстановку в urban-среде. Такой подход становится особенно актуальным в современных условиях борьбы с глобальным потеплением.

Обеспечение безопасности эксплуатации системы требует особого подхода. Важно включить в проектирование все необходимые элементы защиты: автоматические системы отключения, устройства для предотвращения перегрева и избыточного давления в контуре. Для высотных зданий приме-

нение резервных систем отопления, способных работать автономно, также является важным аспектом.

Проектирование систем отопления для высотных зданий должно базироваться на сотрудничестве между архитекторами и инженерами. Согласование всех моделей и рекомендаций на ранних этапах позволит избежать множества проблем в будущем. Таким образом, современные стандарты проектирования учитывают множество аспектов — от технических характеристик модулей отопления до интеграции новейших технологий и систем безопасности.

### **Анализ системы отопления высотных зданий**

Каждое высотное здание предъявляет особые требования к системам отопления, учитывающим не только высоту сооружения, но и его назначение, архитектурные особенности и местоположение. В современных высотных зданиях, первое, что бросается в глаза, — использование высокоэффективных технологий, таких как радиаторы с нижним подключением и конвекторы, которые обеспечивают равномерное распределение тепла. В отличие от традиционных систем, эти решения позволяют сократить потери тепла, что является критически важным для зданий, где высота и теплоотдача могут существенно варьироваться на разных этажах. Системы управления позволяют точно регулировать подачу тепла в зависимости от погодных условий, что делает систему более эффективной и экономичной.

Второй важный аспект заключается в применении современных теплоносителей, которые обеспечивают оптимальные характеристики при различных температурных режимах. Во многих жилых комплексах с высотной застройкой используются антифризные смеси, что позволяет избежать замерзания систем в зимний период. Это особенно актуально для высоких зданий, где температура может значительно колебаться в зависимости от высоты.

Система отопления многих ЖК также интегрирована с другими инженерными системами здания. Так, автоматизированное управление, основанное на датчиках температуры и влажности, обеспечивает не только поддержание комфорtnого климата, но и позволяет оптимизировать расходы на энергию. Это важно в контексте современных требований к энергоэффективности и экологии.

Отдельное внимание стоит уделить проектированию трубопроводов. В современных комплексах предусмотрены эффективно изолированные трубы, что помогает минимизировать теплопотери. Использование труб в сечении, адаптированном под конкретные условия, позволяет избежать перегревов и перепадов давления, связанных с особенностями высотной застройки.

Сложность проектирования системы отопления в высотных зданиях также связана с необходимостью учета вентиляционных потоков и распреде-

ления отопления между этажами. В них предусмотрены системы, которые учитывают как горизонтальные, так и вертикальные потоки, что позволяет достичь равномерного отопления во всех помещениях без затрат времени на дополнительные настройки.

Кроме того, в проектировании системы использованы принципы модульности и возможность модернизации. Это важно для высотных зданий, чьи структуры могут потребовать изменений в будущем. Легкий доступ к компонентам и возможность их замены делают систему более устойчивой к внешним воздействиям и придают ей долгосрочную надежность.

В заключение, система отопления высотных зданий демонстрирует сбалансированный подход к проектированию с применением современных технологий, что позволяет эффективно использовать ресурсы и создавать комфортные условия для жителей. Такой опыт может служить примером для будущих проектов в сфере высотного строительства.

### **Список литературы**

1. Богословский В.Н. *Строительная теплофизика (теплофизические основы отопления, вентиляции и кондиционирования воздуха)* – 3-е изд. С-Пб.: Издательство «АБОК Северо-Запад», 2006. – 400 с
2. Умяюкова, Н.П., Бутовский, И.Н. Требования к теплозащите наружных ограждающих конструкций высотных зданий // Научно-технический и производственный журнал «Жилищное строительство», 2016. № 12. С. 7-10.
3. Колубков, А.Н., Никитин, С.Г., Шилкин, Н.В. Опыт проектирования и эксплуатации поквартирных систем отопления высотных жилых зданий // АБОК, 2005. № 6. С. 34-39.
4. Медведева, Г.А., Хазипова, З.Р. Разработка методов и средств использования возобновляемых источников энергии//Научно-аналитический журнал «Инновации и инвестиции», ООО «Русайнс». М., 2018. С. 244-248.
5. Медведева, Г.А., Хазипова, З.Р. Повышение эффективности использования возобновляемых источников энергии // Проблемы энергосбережения в промышленном и жилищно-коммунальном комплексах. XX Международная научно-практическая конференция. АННМО «Приволжский Дом знаний», Пенза, 2019. С. 112-120

## **ОБОСНОВАНИЕ ТРЕБОВАНИЙ К ПОГЛОЩАЮЩИМ СКВАЖИНАМ И УСЛОВИЯМ БЕЗОПАСНОГО ЗАХОРОНЕНИЯ ЖИДКОСТЕЙ И ГАЗОВ В ПЛАСТАХ**

**Аксенова Наталья Александровна**

*кандидат технических наук, доцент*

**Корабельников Михаил Иванович**

*кандидат технических наук, доцент*

*Тюменский индустриальный университет,*

*г. Тюмень, Россия*

**Аннотация.** В решении проблемы охраны окружающей среды, в статье рассматривается возможность утилизации вредных жидкостей и газообразных отходов промышленного производства в поглощающие скважины. Для безопасного захоронения утилизируемых жидкостей и газов авторами определены требования к поглощающим скважинам и условиям безопасного продолжительного хранения вредных отходов промышленного производства в пластах: географические и геологические условия, требования к утилизируемым жидкостям и газам, к поглощающим (сбросовым) скважинам, технологии и техническим средствам закачивания и эксплуатации скважин, обеспечению дополнительных мер безопасности. Авторы статьи предлагают применение разработанного в ФГБОУ ВО «Тюменский индустриальный университет» настраиваемого струйного насоса, работой которого можно управлять дистанционно и настраивать на определенный режим закачивания в соответствии с меняющимися скважинными условиями и определенным агрегатным состоянием и физико-механическими свойствами утилизируемых сред.

**Ключевые слова:** утилизация, поглощающие скважины, настраиваемый струйный насос.

Одним из решений важной проблемы охраны окружающей среды от загрязняющих отходов промышленного производства является их утилизация закачиванием в поглощающие (сбросовые) скважины и захоронение в пластах. Особо остро стоит проблема увеличения объемов углекислого газа, уровень секвестрирования которого к 2050 году достигнет в год десяти ги-

гатонн. Большое количество углекислого газа выделяется при сжигании попутного нефтяного газа. Сжигание газа приводит не только к потере невосполнимого энергетического ресурса, но наносит серьезный экологический ущерб окружающей среде, приводит к парниковому эффекту, наносит вред живым организмам и здоровью людей.

Отходы первого и второго класса опасности (пестициды, ядохимикаты, ртуть, отходы кислот и щелочей, отработанные нефтепродукты и др.) не разлагаются или разлагаются в течении длительного срока (более 30 лет) поэтому требуют захоронения на специальных полигонах. Полигоны для захоронения жидких радиоактивных отходов и отходов химической промышленности находятся в Урало-Поволжском регионе, Ставрополье, Северном Кавказе, Якутии и Иркутской области, там где геологические условия обеспечивают герметичную и длительную изоляцию утилизируемых агентов. Как правило, это водоносные пластины-коллекторы, изолированные водупорными покрышками, представленными глинами, гранитами, соляными толщами. Пластическая деформация этих пород в случае возможных землетрясений и пластовых сдвигов не позволяет развиться процессам трещинообразования, практически при любом воздействии происходит восстановление целостности толщи горных пород [1-4].

Для безопасного захоронения утилизируемых жидкостей и газов нами определены требования к поглощающим скважинам и условиям безопасного продолжительного хранения вредных отходов промышленного производства в пластах.

1. Географические условия. Для длительного хранения и предотвращения возможного выхода на поверхность токсичных и опасных утилизируемых сред (жидкостей и газов) полигоны захоронения должны находиться в сейсмически безопасных районах.

2. Геологические условия. Подземные хранилища утилизируемых агентов должны находиться в геологически однородных пластах-коллекторах без трещин и разломов, изолированных непроницаемыми покрышками, что предотвратит возможность их выхода на поверхность. Пластины должны иметь определенную пористость и проницаемость чтобы утилизируемые агенты могли проникать в горную породу без чрезмерного повышения давления.

3. Требования к утилизируемым агентам. Следует учитывать состав и агрегатное состояние утилизируемых сред, их вязкость, плотность, содержание примесей и кислотность. Так же как и буровой раствор, закачиваемый в скважину, так и утилизируемые жидкости и газы могут привести к снижению фильтрационно-емкостных свойств пласта-коллектора. Снижение проницаемости может быть вызвано набуханием глинистого цемента, образованием нерастворимых осадков, эмульсий и закупориванием взвешенными веществами закачиваемых агентов [5].

4. Требования к поглощающим (сбросовым) скважинам. Конструкция скважины должна быть спроектирована таким образом, чтобы обсадные колонны и цементный камень за ними обеспечивали длительную герметичную изоляцию канала связи пласт-устье. В случае если утилизируемые среды коррозионно-активные и могут вызвать коррозию обсадных труб и цементного камня, следует предусмотреть применение коррозионно-устойчивых тампонажных материалов, обсадных и насосно-компрессорных труб. Для контроля за работой скважины необходимо применение устройств непрерывного мониторинга и регистрации меняющихся со временем условий. Датчики должны автоматически подавать звуковой сигнал и отключать скважину при отклонении параметров от допустимых пределов.

5. Требования к технологии закачивания и эксплуатации скважин. Давление закачивания утилизируемых веществ предотвращать образование трещин и гидроразрыва в самом пласте и в прилегающих зонах. Должен быть обеспечен постоянный контроль характеристик закачиваемых агентов, давления в кольцевом пространстве и степень локализации утилизируемых агентов в подземном резервуаре. В кольцевом пространстве необходимо поддерживать постоянное давление, которое должно контролироваться для проверки герметичности конструкции скважины и обеспечения условий безопасной эксплуатации. В конструкции скважины для изоляции пространства между НКТ и обсадной колонной обязательно должен применяться пакер. Специально обученный персонал должен отвечать за повседневную эксплуатацию нагнетательной скважины, техническое обслуживание, мониторинг и тестирование.

6. Требования по обеспечению дополнительных мер безопасности. Необходимо проводить постоянный экологический мониторинг прилегающей к скважине территории. Своевременная ликвидация возможных проявлений или утечек утилизируемых агентов на поверхности или выход агента за пределы пласта.

Перед оценкой возможности использования определенного пласта для захоронения необходимо моделирование миграции утилизируемых сред на конкретном участке с целью прогнозирование масштабов миграции в горизонтальном и вертикальном направлениях.

7. Требования к техническим средствам закачивания утилизируемых сред. При закачивании утилизируемых агентов в скважины следует учитывать что приемистость скважины зависит от сроков ее эксплуатации и стадии разработки месторождения, следовательно, меняется со временем. Поглощающие скважины характеризуются меняющимися в процессе закачивания в них параметрами (температура, давление, приемистость и др.) требуется постоянный контроль подачи нагнетаемой среды (газ, пена, жидкость) в скважину для оптимизации технологии закачивания. Кроме того,

необходим постоянный контроль давления нагнетания чтобы предупредить образования новых трещин и гидроразрыва пласта. В этой связи, актуально применение таких средств закачивания в скважину газожидкостных сред, которые позволяли бы автоматически регулировать и настраивать оптимальный режим закачивания в меняющихся условиях.

Таким образом, для определения возможности захоронения утилизируемых сред в скважины на основе анализа геолого-технических условий, проектных данных и нормативных документов определены условия и требования к безопасному захоронению утилизируемых жидкостей и газов. Установлено, что в процессе закачивания утилизируемых сред меняются пластовые условия, требующие регулирования режимов закачивания и настройки насосного оборудования на физико-механические свойства жидких, газообразных и пенных систем. Контролируемый процесс размещения отходов в специально пробуренную скважину и пласт позволяет исключить любые риски и разместить максимально возможное количество отходов в объекте закачки.

Для этих условий авторами статьи предлагается применение разработанного в ФГБОУ ВО «Тюменский индустриальный университет» настраивающего струйного насоса, работой которого можно управлять дистанционно и настраивать на определенный режим закачивания в соответствии с меняющимися скважинными условиями и определенным агрегатным состоянием и физико-механическими свойствами утилизируемых сред.

### **Список литературы**

1. Рыбальченко А.И., Зубков А.А., Понизов А.В., Миронов В.В., Турковский А.Д. Окончательная изоляция ЖРО в глубокозалегающих пластах-коллекторах [Электронный ресурс] // Российское атомное сообщество. М, 2007-2016. URL: <http://www.atomic-energy.ru/technology/40649> (дата обращения: 11.09.2025).
  2. Bradshaw J., Cook P. Geological sequestration of carbon dioxide // Environmental Geosciences. – 2001. – V. 8. – № 3. – P. 149–151.
  3. Karacan C.O., Mitchell G.D. Behavior and effect of different coal microlithotypes during gas transport for carbon dioxide sequestration into coal seams // Int. J. Coal Geology. – 2003. – V. 53. – P. 201–217.
  4. Akinnikawe O., EhligEconomides C.A. Geologic model and fluid flow simulation of Woodbine aquifer CO<sub>2</sub> sequestration // International Journal of Greenhouse Gas Control. – 2016. – V. 49. – P. 1–13.
- Кадыров, О. Р. Подземная закачка промышленных стоков и жидких отходов как НДТ для условий Урало-Поволжского экономического района / О. Р. Кадыров, Н. Е. Кручинина // Региональная экология. – 2015. – № 7(42). – С. 76-87.

**VARIATION OF SLOPE STABILITY IN HA TINH PROVINCE  
(VIETNAM) UNDER DRY AND SATURATED CONDITIONS:  
A COMPARATIVE GEOSTUDIO ANALYSIS**

**Cam Vu Thi Hong,  
Giang Nguyen Khac Hoang**

*Hanoi University of Natural Resources and Environment,  
Hanoi, Vietnam*

**Abstract.** Landslide occurrences in Ha Tinh Province, located in the north-central region of Vietnam, are highly sensitive to seasonal variations in soil moisture. During prolonged or intense rainfall events, slope materials become saturated, increasing pore-water pressure and reducing effective stress and shear strength. This study investigates how the factor of safety (FoS) of representative slopes in Ha Tinh changes between dry and saturated states using a coupled seepage-stability approach. Numerical analyses were conducted with the GeoStudio suite (SEEP/W-SLOPE/W) based on laboratory and field data describing the geotechnical properties of weathered soils and rocks. Each cross-section was simulated under two hydrological conditions: (i) a dry state with no infiltration and low groundwater levels, and (ii) a fully saturated state representing continuous rainfall and elevated phreatic surfaces.

Results show a pronounced reduction in slope stability when soils become saturated. The FoS under dry conditions ranges from 1.04 to 2.45 (average 1.69), while under saturated conditions it drops to 0.71–1.96 (average 1.18), corresponding to an average reduction of approximately 34–39%. In specific cases such as section HT02 FoS decreases by nearly 45%, reaching critical instability ( $FoS < 1.0$ ). The findings highlight that pore-water pressure rise is the dominant mechanism causing strength loss and failure initiation. These results provide scientific evidence for developing rainfall-induced landslide early warning thresholds and for designing effective drainage and stabilization measures for slopes in Ha Tinh and similar tropical mountainous environments.

**Keywords:** slope stability; Factor of safety (FoS); GeoStudio; Pore-water pressure; Saturation effect; Ha Tinh Province (Vietnam).

## **1. Introduction**

Landslides are among the most destructive natural hazards in mountainous regions of Vietnam, particularly during the wet season when intense or prolonged rainfall triggers soil saturation and slope failures. In the north-central region, Ha Tinh Province is one of the most landslide-prone areas due to its steep topography, thick weathering profiles, and concentrated rainfall during typhoon periods. The mountainous districts such as Huong Son, Vu Quang, and Huong Khe frequently experience small to medium-scale slope failures that threaten infrastructure, settlements, and agricultural land.

Rainfall infiltration plays a critical role in slope instability by altering the pore-water pressure and effective stress within slope-forming materials. When soils become saturated, the increased pore pressure reduces shear strength and leads to a decline in the Factor of Safety (FoS). This hydro-mechanical process is widely recognized as the main trigger of rainfall-induced landslides in tropical regions (Fredlund and Rahardjo, 1993; Rahardjo and Leong, 2006). However, few studies have quantitatively assessed how the FoS changes between dry and saturated states in the central provinces of Vietnam, where geological and climatic conditions differ significantly from those in the northern highlands.

In Ha Tinh, previous investigations have mainly focused on inventory mapping and empirical correlations between rainfall and landslide frequency. Yet, the quantitative relationship between hydrological conditions and slope stability remains poorly constrained. Understanding this relationship is essential for the development of rainfall-based warning systems and slope design strategies in the region.

This study addresses this gap by evaluating the variation in slope stability between dry and saturated conditions using a coupled seepage–stability modeling approach. The analyses were performed with GeoStudio (SEEP/W and SLOPE/W), incorporating field and laboratory data from representative slopes in Ha Tinh. Two hydrological scenarios were simulated: (i) a dry state representing natural drainage with a deep water table, and (ii) a saturated state corresponding to prolonged rainfall and a high phreatic surface.

The objectives of this study are to: (1) quantify the decrease in FoS caused by soil saturation; (2) identify the dominant mechanisms controlling slope instability under wet conditions; and (3) provide scientific evidence to support landslide hazard assessment and mitigation planning in Ha Tinh Province. The results contribute to a better understanding of the hydrological control on slope stability in tropical weathered terrains and can serve as a reference for early warning systems and slope management practices across central Vietnam.

## **2. Study Area and Geological–Hydrological Setting**

Ha Tinh Province is located in the north-central region of Vietnam, covering an area of about 6,000 km<sup>2</sup>. The western part of the province is mountainous,

belonging to the eastern flank of the Truong Son Range, while the eastern part consists of hilly terrain and coastal plains. The study focuses on the mountainous districts of Huong Son, Vu Quang, and Huong Khe, where slope failures frequently occur during the rainy season.

The terrain is characterized by steep slopes with gradients commonly exceeding 30–40 degrees and deep weathering profiles that reach 10–20 meters. These slopes are mainly composed of residual soils and saprolite derived from schist, phyllite, and granite. The weathered layers are typically clayey to silty with variable permeability, which strongly influences the infiltration and seepage process during rainfall.

Ha Tinh has a tropical monsoon climate with two distinct seasons. The wet season, lasting from August to November, accounts for more than 70 percent of the annual rainfall, with totals ranging from 2,500 to 3,000 millimeters. Heavy rainfall associated with typhoons often produces short but intense storms that raise the groundwater level rapidly and increase pore-water pressure in the soil mass.

The hydrogeological structure of the slopes is dominated by a shallow unconfined aquifer within the weathered zone and fractured bedrock at depth. During the dry season, groundwater is several meters below the surface, maintaining unsaturated conditions and high apparent cohesion. In the wet season, continuous rainfall saturates the weathered materials, decreases effective stress, and lowers the shear strength of slope-forming soils. This seasonal contrast provides an ideal setting for analyzing the change in slope stability between dry and saturated conditions

### **3. Materials and Methods**

This study combines field investigation, laboratory testing, and numerical modeling to evaluate slope stability under different hydrological conditions in Ha Tinh Province. Typical slope profiles were selected from mountainous areas such as Huong Son, Vu Quang, and Huong Khe, where rainfall-induced landslides are common. Fieldwork included topographic measurements, geological mapping, and soil sampling for geotechnical testing.

Laboratory tests followed ASTM and TCVN standards to determine natural moisture content, unit weight, grain size, Atterberg limits, shear strength parameters ( $c$ ,  $\phi$ ), and hydraulic conductivity ( $k$ ). Based on these results, representative parameters were defined for the main soil layers:

- Colluvial and residual soils:  $\gamma = 17.5\text{--}18.5 \text{ kN/m}^3$ ,  $c = 18\text{--}26 \text{ kPa}$ ,  $\phi = 16\text{--}21^\circ$ ,  $k = 10^{-6}\text{--}10^{-7} \text{ m/s}$ .
- Saprolite and slightly weathered rock:  $\gamma = 19\text{--}20 \text{ kN/m}^3$ ,  $c = 30\text{--}35 \text{ kPa}$ ,  $\phi = 26\text{--}28^\circ$ ,  $k = 10^{-8} \text{ m/s}$ .

Numerical simulations were performed using GeoStudio software, coupling SEEP/W and SLOPE/W modules. SEEP/W modeled steady-state pore-water pressure under two conditions: (i) dry slopes with a low groundwater table, and (ii) saturated slopes with a raised phreatic surface representing prolonged rainfall. The

pore-pressure results were transferred to SLOPE/W for stability analysis using the Morgenstern–Price method, which satisfies both force and moment equilibrium.

The Factor of Safety (FoS) was calculated based on the Mohr–Coulomb criterion. Comparisons between dry and saturated scenarios allowed quantifying the reduction in FoS due to increased pore-water pressure and reduced effective stress. Model parameters and boundary conditions were validated using field observations and previous studies in similar geological settings.

This combined seepage–stability approach provides a consistent framework for assessing how rainfall-induced saturation affects slope safety in Ha Tinh's mountainous terrain.

#### 4. Results and Discussion

##### 4.1. Simulation results

Numerical analyses were performed for five representative slope sections in Ha Tinh Province, denoted as HT01, HT02, HT03, HT04, and HT05. Each profile was simulated under two hydrological conditions: (i) a dry state representing natural drainage with low groundwater levels, and (ii) a fully saturated state reflecting continuous rainfall and a high phreatic surface. The coupling between SEEP/W and SLOPE/W was used to generate pore-water pressure fields and compute the Factor of Safety (FoS) for each condition.

Figure 1 illustrates the results of slope HT01 under dry conditions. The phreatic line remains deep within the slope, and pore-water pressures are generally low. The calculated FoS for this case is 1.83, indicating a stable slope with sufficient shear strength.

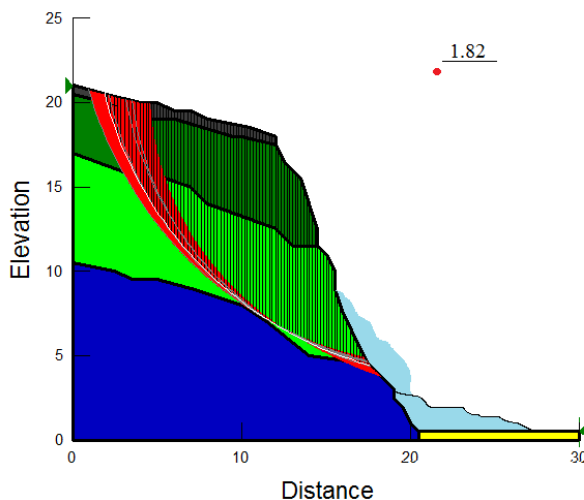
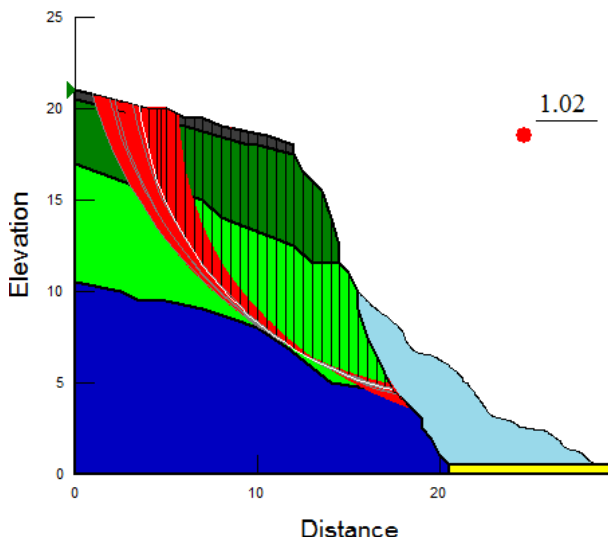


Figure 1. Slope stability analysis of section HT01 under dry

Figure 2 presents the same slope (HT01) analyzed under saturated conditions. The phreatic surface rises significantly toward the ground surface, producing high positive pore-water pressure and reduced effective stress. Consequently, the FoS decreases to 1.02, suggesting marginal stability and potential failure during prolonged rainfall. The slip surface identified by the Morgenstern–Price method shifts upward and becomes shallower compared with the dry case, reflecting the loss of matric suction and reduction of apparent cohesion.



**Figure 2.** Slope stability analysis of section HT01 under saturated

Similar patterns were observed for other slope profiles (HT02–HT05). In all cases, the transition from dry to saturated conditions resulted in a clear reduction of FoS, although the magnitude of change varied depending on slope geometry and material properties. Slopes with thick clayey residual soils and poor drainage exhibited the largest decreases in FoS, while those with coarse-grained saprolite or fractured rock layers showed smaller variations.

**Table 1**  
Summary of Factor of Safety for slope sections under dry and saturated conditions

| Slope ID | FoS (Dry) | FoS (Saturated) | Reduction (%) | Stability Status |
|----------|-----------|-----------------|---------------|------------------|
| HT01     | 1.83      | 1.02            | 44.3          | Marginal         |
| HT02     | 2.01      | 1.31            | 34.8          | Marginal         |
| HT03     | 1.95      | 1.18            | 39.5          | Marginal         |

| Slope ID | FoS (Dry) | FoS (Saturated) | Reduction (%) | Stability Status |
|----------|-----------|-----------------|---------------|------------------|
| HT04     | 1.68      | 0.97            | 42.3          | Unstable         |
| HT05     | 2.26      | 1.72            | 23.9          | Stable           |

The results demonstrate that all slopes experience a reduction in stability when transitioning from dry to saturated conditions, with the average decrease in FoS being approximately 37 percent. Slopes HT01 and HT04 represent the most critical cases, approaching the failure threshold ( $\text{FoS} < 1.0$ ). These findings confirm the strong influence of saturation on slope behavior and the necessity of including pore-water pressure variations in stability assessments.

#### *4.2. Discussion of hydrological influence*

The simulation results highlight the key role of hydrological changes in controlling slope stability. Under dry conditions, the unsaturated zone contributes additional shear resistance through matric suction, which effectively increases apparent cohesion. When rainfall infiltration occurs, this negative pore pressure gradually decreases as the soil becomes saturated. The rising phreatic surface introduces positive pore-water pressure that reduces effective stress along the potential slip surface. This transition directly leads to a reduction in shear strength and, consequently, the Factor of Safety.

Among the studied profiles, slopes with thick fine-grained materials (HT01 and HT04) showed the strongest response to saturation because of their low hydraulic conductivity and tendency to retain water. The slower drainage allows water to accumulate near the surface and within discontinuities, generating high excess pore pressures. In contrast, slopes containing coarse saprolitic materials or fractured bedrock (HT05) exhibited better drainage and less stability reduction.

These results align with field observations in Ha Tinh, where most rainfall-induced landslides occur after several hours of intense rainfall or two to three days of continuous moderate precipitation. The combination of low permeability soils, steep gradients, and rapid saturation explains the frequency of shallow translational slides and debris flows in the region.

#### *4.3. Implications for hazard management*

The quantitative reduction of FoS between dry and saturated conditions provides practical insight for landslide risk assessment in Ha Tinh. The results suggest that even slopes appearing stable under normal conditions can approach critical instability when subjected to intense or prolonged rainfall. Therefore, rainfall intensity and duration should be incorporated into local early warning systems.

To mitigate rainfall-induced failures, several engineering measures are recommended:

- (1) construction of surface and subsurface drainage to lower the groundwater table;

(2) application of bioengineering techniques to reduce infiltration and reinforce the surface soil layer;

(3) installation of monitoring instruments such as piezometers or rain gauges to track real-time pore-water pressure and rainfall accumulation.

The modeling approach presented in this study can also serve as a reference for regional hazard mapping and design of slope stabilization measures in other provinces with similar tropical mountainous settings

## 5. Conclusions

This study evaluated the variation of slope stability in Ha Tinh Province under dry and saturated conditions using a coupled SEEP/W–SLOPE/W analysis. The results from five representative slopes (HT01–HT05) demonstrated a consistent reduction in the Factor of Safety (FoS) when soils changed from unsaturated to fully saturated states.

Under dry conditions, FoS values ranged from 1.68 to 2.26, indicating stable slopes. When saturated, the values decreased to between 0.97 and 1.72, corresponding to an average reduction of about 37 percent. The most critical cases, HT01 and HT04, approached or fell below the failure threshold ( $FoS < 1.0$ ), confirming the dominant influence of pore-water pressure on slope stability. The rise of the groundwater table and the loss of matric suction are identified as the main mechanisms driving this reduction.

These findings highlight that even slopes considered stable in dry periods can become unstable during prolonged rainfall. Therefore, rainfall duration and intensity should be integrated into slope monitoring and early warning systems. Drainage improvement, vegetation cover, and subsurface dewatering are recommended to mitigate the effects of saturation.

The methodology and results presented in this study provide a practical framework for assessing rainfall-induced slope instability in Ha Tinh and similar tropical mountainous regions. Future studies should consider transient rainfall-infiltration modeling and long-term monitoring data to better capture the dynamic interaction between hydrological conditions and slope response.

## References

1. Lu, N., & Godt, J. W. (2013). *Hillslope Hydrology and Stability*. Cambridge University Press.
2. Rahimi, A., & Rahardjo, H. (2018). Coupled seepage and stability analyses of rainfall-induced slope failures. *Engineering Geology*, 245, 50–64. <https://doi.org/10.1016/j.enggeo.2018.08.011>
3. Rahardjo, H., Leong, E. C., & Rezaur, R. B. (2005). Effect of antecedent rainfall on slope stability. *Engineering Geology*, 78(1–2), 93–112.

4. Ng, C. W. W., & Shi, Q. (1998). *A numerical investigation of the stability of unsaturated soil slopes subjected to transient seepage*. *Computers and Geotechnics*, 22(1), 1–28.
5. Take, W. A., & Bolton, M. D. (2011). *Seasonal degradation of unsaturated clay slopes: Observations from field monitoring and centrifuge modelling*. *Canadian Geotechnical Journal*, 48(9), 1419–1432.
6. Kim, S., Jeong, S., & Park, S. (2019). *Influence of rainfall infiltration on slope stability in weathered granite soil: Numerical analysis using SEEP/W and SLOPE/W*. *Environmental Earth Sciences*, 78, 458.
7. Dai, F. C., Lee, C. F., & Ngai, Y. Y. (2002). *Landslide risk assessment and management: An overview*. *Engineering Geology*, 64(1), 65–87.
8. Iverson, R. M. (2000). *Landslide triggering by rain infiltration*. *Water Resources Research*, 36(7), 1897–1910.
9. Bui, D. T., Pradhan, B., Lofman, O., Revhaug, I., & Dick, O. B. (2012). *Landslide susceptibility mapping at Hoa Binh Province (Vietnam) using an adaptive neuro-fuzzy inference system and GIS*. *Computers & Geosciences*, 45, 199–211.
10. Tran, T. V., Pham, B. T., & Bui, D. T. (2020). *Slope stability assessment using limit equilibrium and numerical methods in central Vietnam*. *Bulletin of Engineering Geology and the Environment*, 79(5), 2461–2476.

## **ОЦЕНКА БАРАНОВ СОЗДАВАЕМОГО ВНУТРИПОРОДНОГО ТИПА «ШАХРИНАУ – РЕГАРСКИЙ» ПО КАЧЕСТВУ ПОТОМСТВО**

**Джураева Улугой Шаймардановна**

*доктор биологических наук, профессор*

*Российско-Таджикский (славянский) университет,*

*г. Душанбе, Республика Таджикистан и Российская Федерация*

*ORCID ID: 0000-0001-9731-3262*

**Шошина Юлия Васильевна**

*кандидат сельскохозяйственных наук, доктор биологических наук,  
доцент*

*Санкт-Петербургский государственный аграрный университет,*

*г. Санкт-Петербург, Российская Федерация*

*ORCID ID: 0000-0002-9801-8879*

**Аннотация.** В исследовании проведена оценка баранов создаваемого внутривидового типа «Шахринау–Регарский» по качеству потомства. Результаты, полученные в племхозе имени Меликумуродова, показали, что 18-месячные бараны дают потомство, не уступающее по росту и развитию потомству взрослых баранов производителей. Сделан вывод о возможности более раннего использования молодых баранов в племенной работе без снижения продуктивности потомства.

**Ключевые слова:** бараны-производители, гиссарская порода, внутривидовой тип «Шахринау–Регарский», племенная работа, качество потомства, живая масса, телосложение, нагульные качества, возраст производителей, селекция овец.

**Summary.** The study evaluates rams of the newly developed intra-breed type “Shahrinai–Regar” based on offspring quality. Research conducted at the Melikmurodov Breeding Farm showed that 18-month-old rams produced progeny equal in growth and development to that of mature sires. The results confirm the feasibility of earlier use of young rams in breeding without reducing offspring productivity.

**Keywords:** breeding rams, Hissar breed, “Shahrinai–Regar” intra-breed type, breeding work, offspring quality, live weight, body conformation, fattening qualities, sire age, sheep selection

В племенной работе, как известно, важнейшее место занимают бараны-производители, «хороший производитель стоит половины стада»- гласит народная поговорка. Главная продукция барана-производителя -потомство. Вот почему необходимо, что все бараны производители, используемые для воспроизведения стада, в обязательном порядке проходили проверку и оценивались по качеству потомства.

Над изучением наиболее эффективных методов оценки производителей по качеству потомства работают многие научные учреждения, большое число исследователей.

Информация для оценки животных добывается путем измерения величин учитываемых количественных признаков, определения степени выраженности качественных признаков, регистрации номеров и дат. Исходная информация для оценки баранов по потомству берется из базы данных [4].

Все это не случайно. История животноводства показывает, что лишь путем правильного отбора и умелого использования отобранных производителей можно обеспечить быстрое улучшение не только отдельных стад, но и целых пород животных, поднять их продуктивность, а правильный отбор производителей, прежде всего, связан с оценкой их по качеству потомства [7, 8, 9].

Н. А. Новиков (1964) своими работами доказал, что те бараны, которые дали наибольшее количество хороших ягнят при спаривании с матками первого класса, также дали наибольший процент элитных и первоклассных от маток III класса и что все бараны при спаривании с матками обеих классов имеют одинаковую тенденцию к улучшению или ухудшению приплода [5].

Использование баранов, испытанных по качеству потомства, всегда оказывает решающее влияние на качественное совершенствование стада. Это особенно важно в овцеводстве в связи с широким применением искусственного осеменения. Необходимость оценки и испытания производителей по потомству и преимущества подобного метода отбора баранов по сравнению с отбором по их собственной продуктивности и даже их происхождению рассматривались в работах Г.А. Стакана [7] .

При существующей системе проверки баранов ставят на испытание в возрасте не менее 1,5 лет, а приплод оценивается в 13–15-месячном возрасте. Таким образом, баран в первую после проверки случку идет в возрасте 3,5–4 лет. Если учесть, что его хозяйственная служба заканчивается к 5,5–6 годам, то использование проверенных по потомству производителей ограничивается 2–2,5 годами. Удлинять же этот период за счет использования до предельного возраста нецелесообразно так как, во-первых, при этом снижаются племенные качества животного, а во-вторых, удлиняются интервалы между поколениями производителей и тем самым снижается темп селекции.

По существу, производитель должен интересовать нас до тех пор, пока от него будут получены такие же сыновья, как он сам или лучше его.

Вот почему вопрос возможности постановки баранов на испытание в более раннем возрасте привлекает все больше внимания. Неоднократными опытами установлена возможность получения приплода от овец и в более раннем возрасте, чем принято в обычных хозяйственных условиях. В этих опытах баранчики 7–8-месячного возраста давали жизнеспособный и годный к хозяйственному использованию приплод, т. е. вполне доказана биологическая возможность использования в случке баранчиков, ягнят его возраста.

Скрещивание как метод разведения основан на наличии наследственных различий между животными разных пород и на возможности сочетать особенности этих различий в организме помесей, полученных при скрещивании [2, 3].

При вводном скрещивании маток породы А, имеющих определенные недостатки в экстерьере или продуктивности, скрещивают с производителями породы Б с хорошо развитыми признаками недостающими у улучшаемой породы.

Нами селекционная работа проводилась в лучших отарах в пределах двух желательных конституционально-продуктивных типов «А» и «Б» в условиях племхоза им. Меликмуродова, Шахринауского района [1].

Ежегодно на испытание по качеству потомства ставились не менее 15–20 голов баранов 1,5 летнего возраста.

Зоотехнический и племенной учет животных осуществляется по общепринятой методике. Весь полученный материал обрабатывался методом вариационной статистики Плохинский Н. А. [6].

Известно, что фенотипическое разнообразие признаков овец того или иного стада, группы или породы складывается из 2 каналов: генотипического (наследственного) разнообразия и изменчивости признака, вызываемой влиянием условий среды (паратипической изменчивости).

Для определения племенной ценности имеет значение генотипическое разнообразие или часть общего фенотипического разнообразия, которая обусловлена различиями генотипов. Наблюдения над изменением массы тела овец проводились нами, начиная с момента их рождения и до полуторагодовалого возраста. Дополнительно для сравнения велись наблюдения за взрослыми валухами в возрасте трех-пяти лет.

Изменения массы тела баранчиков и ярочек – от рождения до полуторагодовалого возраста – показаны в табл. 1

**Таблица 1**

*Показания живой массы гиссарской породы овец по периодам жизни*

| <b>Возраст животных</b> | <b>Баранчики</b> | <b>Ярочки</b> |
|-------------------------|------------------|---------------|
| При рождении            | 5,8              | 5,2           |
| 4,5 месяц               | 48,3             | 46,5          |
| 6 месяц                 | 50,5             | 48,7          |
| 9 месяц                 | 49,3             | 47,6          |
| 12 месяц                | 48,7             | 45,6          |
| 18 месяц                | 67,2             | 63,2          |

Ягнята гиссарской породы рождаются обычно крепкими, жизнеспособными и уже в течение первого часа после рождения начинают свободно передвигаться и сосать. С момента рождения у гиссарских ягнят отчетливо выражен небольшой курдюк.

Живая масса у подопытных новорожденных баранчиков составила в среднем 5,8 кг, с колебаниями в пределах от 4,1 до 8,1 кг, а у ярочек - 5,2 кг (колебания от 4,2 до 7,9 кг). В двухмесячном возрасте ягнята становятся настолько окрепшими, что прекрасно переносят «перегон на литовку вместе с матерью».

Во все возрастные периоды до полуторагодового возраста баранчики по массе тела превосходили ярочек. Как видно из представленных данных, как баранчики, так и ярочки за период зимовки теряют по 4,1—4,5 кг в живой массе.

Количество животных по периодам опыта уменьшалось по разным причинам (хромота, ягнята-сироты, болезни, убой с целью изучения убойных показателей и проведения анализов). Особенно резко уменьшилось число подопытных баранчиков в возрасте от 2 до 5 месяцев, так как значительная часть баранчиков была кастрирована и сконцентрирована в отдельную группу вал ушков. Их массу тела, начиная с 5-месячного возраста, мы учитывали в те же сроки, что и у баранчиков и ярочек. Из этой группы в разные сроки было забито значительное количество вал ушков.

Изменение массы тела молодняка связано с различными условиями кормления и содержания по периодам года. После отбивки и особенно в первый месяц жизни у ягнят наблюдаются значительные потери в массе тела. В последующие три осенних месяца потери в живой массе снижаются.

В зимний период молодняк продолжает терять в массе. В результате среднесуточный прирост за весь зимне-весенний период равен нулю. Во второй летний сезон вновь наблюдается прирост массы тела, который значительно ниже во всех группах животных по сравнению с летним периодом первого года жизни молодняка. Интересно отметить при этом, что на втором

году жизни ярочки прибавляют в массе столько же, сколько и баранчики, тогда как вал ушки превосходят по этому показателю и баранчиков и ярочек.

Из вышесказанного следует, что молодняк гиссарской породы овец обнаруживает способность к быстрому увеличению своей массы тела в течение двух месяцев жизни. В дальнейшем, в период первой литовки, привес в живой массе у них несколько снижается, но остается все же высоким. С возрастом способность к быстрым привесам снижается и во время второй литовки, несмотря на хорошие пастьбищные условия, остается сравнительно низким по сравнению с приростом в период литовки первого года жизни.

Для изучения хозяйственно-полезных признаков молодняка, полученных от баранов-производителей разных возрастов мы также изучали нагульные качества их потомства таблица 2.

Анализ результатов нагульных исследований и опыта передовой практики свидетельствует о том, что повышение качества баранины при нагуле овец зависит от организационно - экономических и социальных мероприятий, разработанных в овцеводческих хозяйствах.

Результаты нагула показывают, что в начале нагула, по живой массе между подопытными группами существенных различий не наблюдалось. За 60-дневный период нагула ягнята полученные от взрослых баронов-производителей прибавили живую массу 9,7 кг, ягнята полученные от 3,5 летних баранов производителей - 7,7 кг и ягнята от 1,5 летних - 7,5 кг. Среднесуточный прирост за этот период соответственно составил 161,129 и 125 граммов. Если эти данные сравнивать с данными потомства, полученные от молодых баранов-производителей, то выясняется, что баранчики, полученные от взрослых баранов, превосходят их на 2,0 кг, а баранчики от 3,5 летних - на 0,7 кг. По абсолютному приросту это превосходство составляет соответственно 2,2 и 0,2 кг, а по среднесуточному приросту, соответственно 37 и 3 грамма (Таблица 2).

**Таблица 2**  
*Нагул овец*

| Возраст баранов (лет) | Живая масса (кг) |            | Абсолютный прирост (кг) | Среднесуточный прирост (гр) |
|-----------------------|------------------|------------|-------------------------|-----------------------------|
|                       | В начале         | В конце    |                         |                             |
| Взрослые              | 35,80-1,21       | 45,50-1,17 | 9,7-0,41                | 161-2,1                     |
| 3,5 летний            | 34,50-0,76       | 42,20-0,68 | 7,7-0,36                | 129-1,8                     |
| 1,5 летний            | 34,00-0,84       | 41,50-0,73 | 7,5-0,37                | 125-1,8                     |
| В среднем             | 34,77            | 42,40      | 8,3                     | 138,34                      |

Таким образом, можно сказать, что по росту и развитию, нагульным качествам потомство, полученное от взрослых баранов и среднего возраста баранов-производителей незначительно превосходит своих сверстников 1,5 летного возраста, хотя разница является недостоверной.

**Список литературы**

1. Данные по гиссарским овцам (2018). «Изменение массы тела молодняка гиссарской породы овец по периодам жизни». Внутренний отчёт племхоза им. Меликмуродова.
2. Data on Hissar sheep (2018). “Changes in body weight of young Hissar sheep by life stages.” Internal report of the Melikmurodov breeding farm.
3. Ерохин А. И., Карапев Е. А., Ерохин С. А. Интенсификация воспроизводства овец.-М.: Изд-во ГНУ ВИЖ, 2012–255 с.
4. Erokhin A. I., Karasev E. A., and Erokhin S. A. Intensification of Sheep Reproduction. Moscow: GNU VIZh Publishing House, 2012, 255 p.
5. Ерохин А. И., Карапев Е. А., Ерохин С. А., Юлдашбаев Ю.А., Родугина Н.П. Энциклопедический словарь по овцеводству и козоводству. – М.: МЭСХ, 2014.–262 с.
6. Erokhin A. I., Karasev E. A., Erokhin S. A., Yuldashbaev Yu. A., and Roldugina N. P. Encyclopedic Dictionary on Sheep and Goat Farming. Moscow: MESKH, 2014. 262 p.
7. Жиряков А. М., «К вопросу оценки овец по потомству» Овцы козы шерстяное дело №4 2016 С. 6-7.
8. Zhiryakov A. M., “On the issue of evaluating sheep by their offspring,” Ovtsy gozzy woolen business No. 4, 2016, pp. 6-7.
9. Новиков Н. А. (1964). «Племенное животноводство: бараны-производители и качество потомства». Москва: Агропромиздат.
10. Novikov N.A. (1964). “Breeding livestock: stud rams and offspring quality”. Moscow: Agropromizdat
11. Плохинский Н.А. (1969). «Метод вариационной статистики в зоотехнических исследованиях». Москва: Наука.
12. Plokhevsky N.A. (1969). “Method of variation statistics in zootechnical research.” Moscow: Science.
13. Стакан Г.А. (1965). «Оценка производителей овец: сравнительный анализ по происхождению и продуктивности». Журнал «Селекция и племенное дело», № 2.
14. Stakan G.A. (1965). “Evaluation of sheep producers: a comparative analysis of origin and productivity”. Journal “Selection and Breeding”, No. 2.
15. Хансен К. М. (1973). «Кариотип домашней овцы (*Ovis aries*)». Цитогенетика и клеточная генетика, 11(4), 360-370.
16. Hansen K.M. (1973). “The karyotype of the domestic sheep (*Ovis aries*).” Cytogenetics and Cell Genetics, 11(4), 360-370.
17. «Эволюция овцеводства и генетических исследований в США: возможности для конвергенции в XXI веке» (2022).
18. “Evolution of the sheep industry and genetic research in the United States: opportunities for convergence in the twenty-first century.” (2022).

## **СОВРЕМЕННЫЕ СТРАТЕГИИ ПРЕОДОЛЕНИЯ АНТИБИОТИКОРЕЗИСТЕНТНОСТИ: КОМПЛЕКСНЫЙ ПОДХОД**

**Черняховский Олег Борисович**

*доктор медицинских наук, профессор*

*Федеральный научно-клинический центр специализированных видов  
медицинской помощи и медицинских технологий Федерального  
медико-биологического агентства,  
Москва, Россия*

**Черняховский Никита Олегович**

*студент*

*Первый Московский государственный медицинский университет  
имени И.М. Сеченова,  
Москва, Россия*

**Аннотация.** Проблема антибиотикорезистентности (АБР) представляет собой глобальную угрозу для общественного здоровья, экономики и национальной безопасности. В статье проведен комплексный анализ современных подходов к преодолению АБР, включая научные разработки (новые антибактериальные препараты, системы доставки на основе нанотехнологий, антимикробные пептиды) и организационно-регуляторные меры. На основе анализа научной литературы и нормативной базы систематизированы ключевые барьеры в борьбе с АБР в Российской Федерации, такие как отсутствие обязательного мониторинга резистентности, ограниченная доступность антибиотиков резерва в стационарах и длительные сроки регистрации инновационных препаратов. Сформулирован комплекс практических рекомендаций для органов здравоохранения, направленных на создание системы круглосуточной доступности антибиотиков резерва, внедрение обязательного локального мониторинга АБР и модернизацию регуляторных процедур. Подчеркивается необходимость междисциплинарного и межсекторального взаимодействия для решения проблемы АБР.

**Ключевые слова:** антибиотикорезистентность, полирезистентные микроорганизмы, антибиотики резерва, мониторинг резистентности,

наносистемы, антимикробные пептиды, регуляторная политика, здравоохранение.

## **Введение**

Антибиотикорезистентность (АБР) признана Всемирной организацией здравоохранения (ВОЗ) одной из наиболее серьезных глобальных угроз человечеству [1]. Нерациональное использование антимикробных препаратов в медицине и сельском хозяйстве привело к повсеместному распространению штаммов микроорганизмов, устойчивых к действию большинства существующих антибиотиков. Прогнозируется, что к 2050 году ежегодная смертность от инфекций, вызванных резистентными возбудителями, может превысить 10 миллионов случаев, а совокупные экономические потери достигнут 100 триллионов долларов США [2].

Эффективная антимикробная терапия является основой современной медицины, обеспечивая возможность проведения хирургических вмешательств, трансплантации органов, лечения онкологических заболеваний и выхаживания недоношенных детей.

Экономические последствия антибиотикорезистентности колоссальны. Устойчивые инфекции требуют длительного и дорогостоящего лечения, увеличивают сроки госпитализации и нагрузку на систему здравоохранения. Это создает дополнительное финансовое бремя как для пациентов, так и для государства. По оценкам экспертов, к 2050 году совокупные экономические потери от антибиотикорезистентности могут достичь 100 триллионов долларов.

Стратегия развития клинической фармакологии и фармакотерапии должна быть направлена на рациональное использование антимикробных препаратов. Это не только разработку новых антибиотиков, но и оптимизацию применения существующих. Необходимо перейти от эмпирического подхода к персонализированной терапии, основанной на данных о резистентности в конкретном регионе или даже в конкретном стационаре.

Таким образом, АБР ставит под угрозу достижения медицинской науки за последнее столетие. В связи с этим поиск путей преодоления АБР требует комплексного подхода, объединяющего научные исследования, организационные меры и регуляторные решения.

Цель исследования – проанализировать современные комплексные стратегии преодоления антибиотикорезистентности, объединяющие научные исследования, организационные мероприятия и регуляторные механизмы.

## **Материалы и методы**

Для проведения исследования был осуществлен анализ современных научных публикаций за период 2015-2025 гг., представленных в международных базах данных (PubMed, Google Scholar). Поиск литературы прово-

дился с использованием ключевых слов: «антибиотикорезистентность», «полирезистентные микроорганизмы», «антибиотики резерва», «мониторинг резистентности», «антимикробные пептиды», «наносистемы в доставке антибиотиков». Дополнительно проанализированы нормативно-правовые документы Российской Федерации (Указ Президента № 309, Распоряжение Правительства № 1495-р, приказы Минздрава России) и методические рекомендации, регламентирующие использование антимикробных препаратов и мониторинг АБР.

### **Результаты и обсуждение**

#### **1. Научные и технологические подходы к преодолению АБР**

Одним из традиционных направлений борьбы с АБР является разработка новых антибактериальных препаратов. Однако этот процесс характеризуется высокой стоимостью (1-1,5 млрд долл. США) и длительностью (10-15 лет), а среди препаратов, находящихся в разработке, лишь немногие обладают принципиально новым механизмом действия [3].

Перспективной альтернативой считаются антимикробные пептиды (АМП), обладающие широким спектром действия и уникальным механизмом воздействия на бактериальную клетку, основанным на разрушении ее мембранны. Однако высокая стоимость исследований и производства ограничивает их широкое клиническое применение.

Значительный потенциал демонстрируют подходы, основанные на совершенствовании доставки антибиотиков. Инкапсуляция антибактериальных препаратов в липосомы и другие наносистемы позволяет повысить их биодоступность, снизить токсичность, преодолеть механизмы резистентности (например, непроницаемость внешней мембранны) и обеспечить целевую доставку в очаг инфекции.

#### **2. Ключевые проблемы в системе здравоохранения Российской Федерации**

Проведенный анализ выявил ряд системных барьеров, препятствующих эффективной борьбе с АБР в России:

- Отсутствие круглогодичной доступности антибиотиков резерва. В настоящее время в многопрофильных стационарах, включая отделения реанимации и интенсивной терапии (ОРИТ), отсутствует нормативно закрепленная возможность формирования неснижаемого запаса антимикробных препаратов резерва для экстренной терапии инфекций, вызванных полирезистентными микроорганизмами.

- Несовершенство системы мониторинга АБР. Отсутствуют обязательные требования к проведению локального мониторинга резистентности в медицинских организациях. Существующие методические рекомендации носят рекомендательный характер, что не позволяет сформировать единую систе-

му эпидемиологического надзора и адаптировать терапию к локальным особенностям резистентности.

- Дефицит клинических протоколов. Крайне мало медицинских организаций имеют собственные протоколы антимикробной терапии, основанные на данных локального мониторинга. Это приводит к нерациональному назначению антибиотиков и способствует росту АБР.

- Длительные регуляторные процедуры. Включение инновационных антибактериальных препаратов в перечень ЖНВЛП и клинические рекомендации занимает до трех лет. Существующие критерии оценки не учитывают специфику антибиотиков резерва, которые применяются редко, но являются жизненно необходимыми, что искусственно ограничивает доступ пациентов к современной терапии.

В среднем включение препарата в перечень может занимать до трех лет, а основными причинами задержки являются невозможность демонстрации ценности препарата.

Существующие критерии оценки не учитывают специфику антибиотиков резерва, которые применяются редко, но являются жизненно необходимыми, что искусственно ограничивает доступ пациентов к современной терапии.

В большинстве случаев результат оценки методологического качества будет носить отсекающий характер для инновационных антибактериальных препаратов, которые не являются орфанными, что в целом является оправданной мерой, но с учетом особенностей и специфики новых антибиотиков резерва, это может искусственно затруднять доступ к жизненно спасающим препаратам.

#### Рекомендации

На основании проведенного анализа сформулирован комплекс рекомендаций:

##### 1. Организационно-правовые меры:

- Внести изменения в Приказ Минздрава России № 919н, предусматривающие обязательное формирование в ОРИТ запаса антибиотиков резерва для обеспечения круглосуточной доступности.

- Утвердить на федеральном уровне обязательные требования к проведению локального мониторинга АБР с использованием цифровых платформ.

- Выделить целевое финансирование в рамках программы ОМС для закупки антибиотиков резерва.

##### 2. Совершенствование регуляторной политики:

- Создать ускоренную и прозрачную процедуру включения антибиотиков резерва в перечень ЖНВЛП и клинические рекомендации (сроком до 6-12 месяцев).

• Разработать специализированную методику оценки ценности антибактериальных препаратов резерва, учитывающую их безальтернативность и значение для национальной безопасности.

• Внедрить в законодательство о закупках специальные механизмы (соглашения «цена-объем», соглашения о разделении рисков) для обеспечения доступа к дорогостоящим инновационным препаратам.

3. Стимулирование научных исследований и разработок:

• Обеспечить государственную поддержку (гранты, налоговые льготы) для компаний, занимающихся разработкой новых антибиотиков и альтернативных методов терапии.

• Развивать образовательные программы для медицинских работников по рациональному использованию антимикробных препаратов и применению новых терапевтических options.

**Заключение**

Утверждение таких важных нормативных правовых документов, как Указ Президента Российской Федерации № 309<sup>1</sup> и распоряжение Правительства № 1495-р<sup>2</sup>, безусловно, является значимым шагом в борьбе с антибиотикорезистентностью и развитии отечественной фармацевтической отрасли.. Для реализации национальных целей, обозначенных в Указе Президента № 309 и распоряжении Правительства № 1495-р, необходимо внедрить обязательный локальный мониторинг антибиотикорезистентности в медицинских учреждениях, необходимо расширить использование цифровых решений для мониторинга резистентности и оптимизации антимикробной терапии на всех уровнях.

Необходимо активно развивать отечественную фармацевтическую отрасль, поддерживая разработку новых антибиотиков и локализацию производства, усилить образовательные программы для врачей и населения по рациональному использованию антибиотиков, стимулировать научные исследования в области молекулярных механизмов резистентности и новых методов лечения. Одно из перспективных направлений -использование биотехнологий и нанотехнологий.

С точки зрения национальной безопасности важно развитие отечественной фармацевтической промышленности для создания современных производственных мощностей по выпуску антибиотиков и их активных фармацевтических субстанций. Необходимо стимулировать локализацию производства, предоставляя налоговые льготы и гранты для компаний, которые занимаются разработкой и производством антибиотиков.

Необходима поддержка фундаментальных исследований в области молекулярных механизмов резистентности, а также прикладных исследований, направленных на создание новых препаратов. Сотрудничество между на-

учными институтами, университетами и фармацевтическими компаниями может ускорить процесс разработки и внедрения инновационных решений.

Очень важно интегрировать отечественные разработки в международные исследования и рынки. Это позволит не только укрепить позиции России на глобальной арене, но и привлечь дополнительные ресурсы для развития отрасли.

Проблема антибиотикорезистентности требует незамедлительных и скординированных действий на глобальном и национальном уровнях. Предложенный комплекс мер, сочетающий научные разработки, организационные преобразования и регуляторные изменения, способен создать устойчивую систему противодействия АБР в Российской Федерации. Ключевым фактором успеха является интеграция усилий медицинского сообщества, научных институтов, фармацевтической промышленности и органов государственной власти.

### **Список литературы**

1. Указ Президента Российской Федерации от 07.05.2024 № 309 «О национальных целях развития Российской Федерации на период до 2030 года и на перспективу до 2036 года».
2. Распоряжение Правительства Российской Федерации от 07.06.2023 № 1495-р «Об утверждении Стратегии развития фармацевтической промышленности Российской Федерации на период до 2030 года».
3. Р. С. Козлов «Резистентность к антимикробным препаратам как реальная угроза национальной безопасности», 2014.
4. Цепелев В.Ю., Ласарева И.А., Болдина Н.В., Полякова О.В., Удалова С.Н. Антибиотикорезистентность и фармакологические подходы к ее преодолению // Современные проблемы науки и образования. 2025. № 2.
5. World Health Organization. (2017). Global priority list of antibiotic-resistant bacteria to guide research, discovery, and development of new antibiotics.
6. Р. Валеев «Что предусматривает стратегия борьбы с резистентностью к антибиотикам». 2017.

## ЗАМЕТКИ

## ЗАМЕТКИ

Научное издание

**Научный диалог: теория и практика**

Материалы международного научного форума  
(г. Москва, Форум 6 ноября 2025 г.)

Редактор А.А. Силиверстова  
Корректор А.И. Николаева

Подписано в печать 06.11.2025 г. Формат 60x84/16.  
Усл. печ.л. 44,9. Заказ 132. Тираж 500 экз.

Отпечатано в редакционно-издательском центре  
издательства Инфинити

